

GSM 1800-ში გამოყენებული ელექტრომაგნიტური ველების ცალკეულ ნეირონზე ზეგავლენის გამოკვლევა

არა იონიზებადი ელექტრომაგნიტური ველების (ემ) დიაპაზონი მოიცავს სიხშირეებს 0 ჰერციდან 300 გეგაჰერცამდე. ცოცხალი ორგანიზმები და მათ შორის ადამიანიც ძლიერად ექვემდებარება ასეთი სახის ემფ-ბის ზემოქმედებას, თუმცა, სამწუხაროდ, ადამიანს არ გააჩნია რეცეპტორები ამ დიაპაზონის ემფ-ბის აღსაქმელად, რაც განსაკუთრებით საშიშს ხდის მათ ზემოქმედებას. სხვადასხვა სიხშირის ემფ-ბის ორგანიზმზე ზემოქმედებას სხვადასხვა მექანიზმი გააჩნია. უაღრესად დაბალი და დაბალი სიხშირის ემფ-ბის მიმართ ექსპონიციისას ცოცხალ ქსოვილში აღიძვრება იონური დენები. თუ ემფ სიხშირე რადიოსიხშირის დიაპაზონისაა ზემოქმედება გამოიხატება ბიოლოგიური ქსოვილის მიერ ემფ-ს ენერგიის შთანთქმით, რაც მის გახურებას იწვევს, ეს ბიოლოგიური ქსოვილის ეპიერატურის აწევით გამოიხატება, და აშეარაა რომ მავნე ჯანმრთელობისათვის - ე.წ. სითბური ზემოქმედება. თუმცა უკანასკნელ წლებში დადგინდა, რომ რადიოსიხშირის ემფ-ბის გართა სითბური ზემოქმედებისა ასევე გააჩნია არასითბური უფასებელიც. მაგალითად რადიოსიხშირის ემფ-ბი იწვევენ ადამიანის აღნებადობის გაზრდას, თავის ტკიფილებს, მეხსიერების დაქვითებას და სხვა. ამ სიხშირეების ემფ-ბის უარყოფით ზემოქმედებათაგან უნდა აღინიშნოს აგრეთვე კიბოს გაჩნიას რისკების არსებობა.

სიხშირეზე დამოკიდებული აგრეთვე ემფ-ს ქსოვილში შეღწევის უნარი. ასე მაგალითად, რადიოსიხშირის ემფ მთლიანად განჭოლავს ცოცხალ ქსოვილებს, მაშინ როცა 300 გეგაჰერცი სიხშირის დიაპაზონის ემფ მხოლოდ რამოდენიმე მილიმეტრით შედის ბიოლოგიურ ქსოვილში.

არაიონიზებადი რადიაციის ზემოქმედება ადამიანზე დიდ ხანია მეცნიერთა კურადღების ცენტრშია. შექმნილია რამოდენიმე საერთაშორისო ორგანიზაცია, მათ შორის აღიარებულია ელექტრული და ელექტრონული საინუირო ინსტიტუტი (აშშ) ე.წ IEEE, არაიონოზებადი რადიაციისაგან დაცვის საერთაშორისო კომისია (ICNIRP) და სხვა. ამ უკანასკნელის მიერ შექმნილია სახელმძღვანელოები (რეკომენდაციები) ემფ უსაფრთხოების დონეების შესახებ, რომლებიც აღიარებულია როგორც სახელმძღვანელო მრავალი ქვეყნის მთავრობების მიერ. ცხადია ეს რეკომენდაციები მოიცავს ასევე ემფ იმ სიხშირეებსაც რომლებიც გამოყენებულია მობილურ კავშირგაბმულობაში. უნდა აღინიშნოს, რომ ICNIRP –ის რეკომენდაციები ეფუძნება გასაშუალოების პრინციპს. გასაშუალოება ხდება როგორც სივრცითი ასევე დროის მიხედვით. გასაშუალოების დროდ აღებულია მხოლოდ 6 წუთი, მაშინ როცა მობილური ტელეფონის გამოყენება გაცილებით ხანგრძლივია დღევანდელ პირობებში. რაც შეეხება სივრცით გასაშუალოებას- როგორც საქმე ეხება მობილური ტელეფონის გამოსხივების გავლენას თავის ტვინზე- ხდება ტვინის ქსოვილების მიერ შთანთქმული ენერგიის გასაშუალოება და მიღებული შედეგი აიღება როგორც დაკვირვების დონე. მეორეს მხრივ აშეარაა რომ ტვინის განსაზღვრული არეები შთანთქმვენ იმზე მეტ ემფ ენერგიებს, ვიდრე ეს დაშვებულია ნორმებით. უცნობია თუ როგორ ფუნქციონირებენ ნეირონები ამ პიკური შთანთქმის არეებში. აქვს თუ არა ადგილი აკუმულაციის ეფექტებს განმეორებადი დასხივებების პირობებში. აღსანიშნავია ის გარემოებაც, რომ ძალიან სწრაფად ხდება მობილური აპარატების მოდერნიზირება, მაგალითად გადამტანი სიხშირები თავდაპირველად იყო 800 მეგაჰერცი, ამჟამად 1800 მეგაჰერცია, ხოლო ახლო მომავალში 2,4 გეგაჰერცი იქნება.

მრავალ პასუხისმგებელ კითხვებს შორის მნიშვნელოვანი იყო შემდეგი კითხვები: რა ზემოქმედება გააჩნია თანამედროვე მობილურ კავშირგაბმულობაში გამოყენებულ რადიოსისშირის ელექტრომაგნიტურ ველებს ცალკეულ ნეირონზე? გააჩნია თუ არა ნეირონზე ზემოქმედება იმ დაბალ სიხშირეებს რომლებიც მობილური კავშირგაბმულობის მოდულაციაში გამოიყებენა? აქვს თუ არა გავლენა ნეირონზე მოდულაციაში გამოყენებულთან მახლობელ სხვა დაბალ სიხშირეების ემ ველებს? რა ეფექტი ექნება განმეორებით დასხივებებს ანუ აქვს თუ არა ადგილი ემ ზემოქმედებათა დარგოვებას? აქვს თუ არა ადგილი არათერმულ ეფექტებს?

ამ კითხვების დასმა ბუნებრივად აღიძრა, რადგან ნეირონი წარმოადგენს ტვინის ძირითად ელემენტს და მასზე ემვ-ს ზემოქმედების ცოდნის გარეშე რთულია გაერკვე მთელ ტვინზე ემვ-ს ზემოქმედებათა მექანიზმებში.

გამომდინარე თქმულიადან მოცემული პროექტის მიზანი იყო შეგვესწავლა მობილური კავშირგაბმულობაში გამოყენებული ელექტრომაგნიტური ველების ზეგავლენა ცალკეულ ნეირონზე. დასხულ იქნა ამოცანები, რომლებიც მოიცავდნენ:

- ექსპერიმენტის ბაზის მომზადებას:

ე.წ. განივი ელექტრომაგნიტური უჯრედის დამუშავება 1800 მგჰ-სათვის (ინგლისური აბრავიატურა Transverse electromagnetic cell TEM Cell). შემდეგში გამოვიყენებო ამ ტერმინს - TEM Cell. TEM Cell-ის შექმნა და პარამეტრების დადგენა; დაბალი სიხშირეებით მოდულირებული 1800 მგც გენერატორის დამუშავება და შექმნა; ჰელმინტის კოჭების დამუშავება და შექმნა;
- 1800 მგჰ-ს სიხშირის უწყვეტი ელექტრომაგნიტური ტალღის ნეირონის უჯრედშიგა და სინაფსურ სტიმულაციაზე მიჩვევის პროცესზე გავლენის გამოყენება;
- 1-20 ჰერცი (განცალკევებულად) სიხშირით მოდულირებული 1800 მგც გენერატორის გამოსხივებული ემვ-ის ნეირონის უჯრედშიგა და სინაფსურ სტიმულაციის მიმართ მიჩვევის პროცესზე გავლენის გამოყენება
- 1-20 ჰერცი დაბალი სიხშირის ემვ-ის ნეირონის უჯრედშიგა და სინაფსურ სტიმულაციაზე მიჩვევის პროცესზე გავლენის
- სანგრძლივი განმეორებითი ექსპონიციის ნეირონზე ზემოქმედების კვლევა აკუმულირების ეფექტების გამოვლენის მიზნით

იმისათვის რომ შესწავლილ იქნას ემვ-ს გავლენა ბიოლოგიურ ქსოვილზე და კერძოდ ნეირონებზე საჭიროა, რათა დადგენილ იქნა ემვ-ს ის რაოდენობა რომელისაც შთანთქავს ბიოლოგიური ქსოვილი. ამ ამოცანის გადასაწყვეტად დამუშავებულ იქნა TEM Cell-ი. თავდაპირველად მოხდა TEM Cell -ის კომპიუტერული მოდელირება და მასში ემვ-ს გავრცელების აღწერა.

განივი ელექტრომაგნიტური უჯრედის (TEM Cell-ის) მოდელირება და პატრამეტრების დადგენა

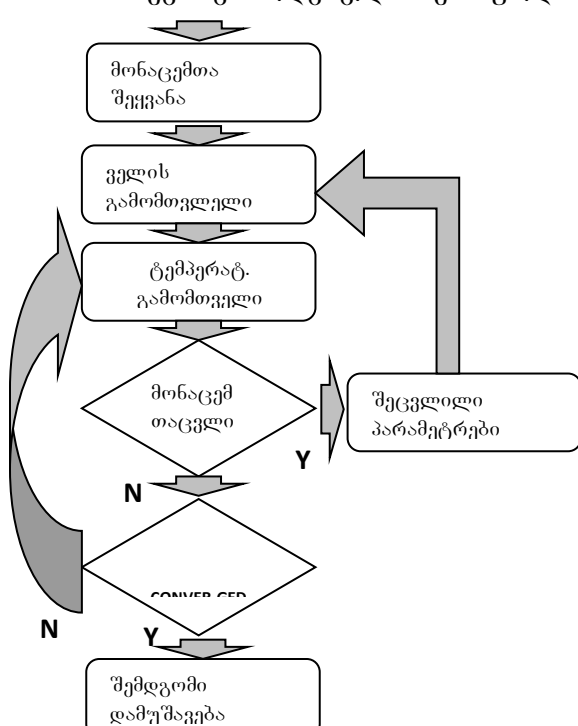
განივი ელექტრომაგნიტური უჯრედი -TEM Cell წარმოადგენს ელექტრომაგნიტური ტალების გამტარს, რომელშიც საკვლევი ბიოლოგიური ობიექტის მოთავსების შემთხვევაში მოხდება ამ ობიექტის დასხივება გამავალი ელექტრომაგნიტური ტალღებით. დღზიმეტრიის ამოცანებიდან გამომდინარე, ასეთ ექსპერიმენტში აუცილებელია, რომ იმ არეში სადაც მოთავსებული იქნება ბიოლოგიური ობიექტი, ელექტრომაგნიტური ველი იყოს ერთგვაროვანი. ეს იმას ნიშნავს, რომ ველი უნდა იყოს ანალოგიური ე.წ. შორი ველისა, სადაც ტალღის ფრონტი არის ბრტყელი. ასეთი ამოცანის გადასაჭრელად საჭროა დადგენილ იქნას TEM Cell-ის როგორც ოპტიმალური ფორმა ასევე ზომები.

იმის გამო, რომ TEM Cell-მა უნდა გაიმეოროს ტალღის გამტარი კაბელის ფუნქცია, გადავწყვიტეთ შეგვექმნა TEM Cell რომელსაც ექნებოდა მართკუთხა გამტარის ფორმა. ამასთანავე გადავწყვიტეთ რომ ბოლოები წაწვეტებული ყოფილიყო. წაწვეტებული ბოლოები საშუალებას იძლევა არეკვლებისა და დანაკარგების გარეშე მოხდეს ელექტრომაგნიტური ტალღის გატარება ტალღგამტარში. წინააღმდეგ შემთხვევაში ველი TEM Cell -ში საერთოდ არ იქნებოდა ერთგვაროვანი, ე.ი შეუძლებელი იქნებოდა დოზიმეტრირება. ამას გარდა TEM Cell -ის შუა ნაწილი ე.წ. septum წამოადგენს განსაზღვრული ფორმის გამტარს, რომლის ბილოები მირჩილულია შესავალ და გამოსავალ ბუდეებთან და იზოლორებული არიან TEM Cell -ის კორპუსისაგან.

პროგრამული პაკეტის დამუშავება

TEM Cell -ის მოდელირებისა და ცოცხალ ობიექტზე ელექტრომაგნიტური ველის ზემოქმედების მოდელირებისათვის გამოყენებულ იქნა სასრულო სხვაობების მქონე დროითი დომენების Finite-Difference Time-Domain (FDTD) მეთოდი, ასევე თერმული ანალიზის მეთოდი. დამუშავებულ პროგრამაში გეომეტრიისა და ზომების პრობლემა წყდება საყოველთაოდ აღიარებულ ფორმულების, როგორიცაა STL, NASTRAN გამოყენებით, ან ხდებოდა ხელით გენერირება. ამასთანავე შესაძლებელია ვიზუალიზირდეს წარმოებული ბაზის გეომეტრია და

მოხდეს მისი რედაქტირება. ამის გამო საშუალება გვეძლევა კონსტრუირებულ იქნას რთული ფორმის სხეულები. შესაძლებელია ბრუნვა ზომების შეცვლა დეფორმირება როგორც ნაწილობრივ ასევე სრულად. სხეულზე ზემოქმედებები ხდება მაუსის გამოყენებით და კეიბორდის გამოყენებით ან ბრძანებათა გამოყენებით console or script არეში.



ელექტრომაგნიტური ველის ცენტრალური გამომთვლელი პროგრამა არის ძირითადი ინსტრუმენტი ელექტრომაგნიტური ველის ანალიზისათვის, რომელიც დაფუძნებულია Yee ალგორითმზე.

დამუშავებული ველის გამომთვლელი საშუალებას იძლევა აღებულ იქნას ყვლა შესაძლო გამოსხივების წყარო, ნებისმიერი გეომეტრიის მქონე სტრუქტურა და ამასთანავე განისაზღვროს ნივთიერების თვისებები. ამ გზით წამოდგენილ იქნას სიხშირეები და ტემპერატურული ეფექტები. შეიძლება გამოყენებულ იქნას სხვადასხვა სასაზღვრო პირობა, რაც უპირატესობას ანიჭებს აღებულ ქსელს. ამრიგად, შესაძლებელია შესრულდეს ყველ ველის გამოთვლა. ამასთანავე შესაძლებელია MAS –ის გამოყენება სათანადო გეომეტრიისათვის (ნაწილობრივი გეომეტრიული პრობლემები), როგორც უფრო ეფექტურისა (ე.ი ნაკლები რესურსების მომთხოვნისა და უფრო სწრაფისა). როგორც კი მოხდება ველის ამოხსნა ყველა წერტილის მიმართ, ხდება ინტეგრალური სიდიდეების გამოთვლა. კერძოდ გამოითვლება შთანთქმის კუთრი თანრიგის (SAR) გამოთვლა. ველის გამომთვლელის გამოსავალი, რომელიც SAR-ის მნიშვნელობებს შეიცავს წარმოადგენს ტემპერატურის გამომთვლელის შესავალს. იმიტაციის მოძრაობა ნაჩვენებია სურათ 1-ზე.

ტემპერატურის ზრდის გამოთვლა ეფუძნება Bioheat –ის განტოლებას (Pennes მოდელი - რომელსაც აქვს ცვლადი სასაზღვრო პირობები. თავდაპირველად ხდება ტემპერატურის საწყისი განაწილების განსაზღვრა. შემდგომ, წონასწორობიდან გამომდინარე ტემპერატურულ გამაწილებაზე დაყრდნობით, ხდება მიღებული SAR –ით ტემპერატურის ნაზრის გამოთვლა. თუ ტემპერატურის გამოთვლისას აღმოჩნდება, რომ ნივთიერების დიელექტრიკული მახასიათებელები მნიშვნელოვნად იცვლება, ხდება პარამეტრების განახლება. ველი გამოითვლება ახალი პარამეტრებით, ვიდრე არ მოხდება ტემპერატურის მდგრადობა.

TEM Cell -ს მოდელირება

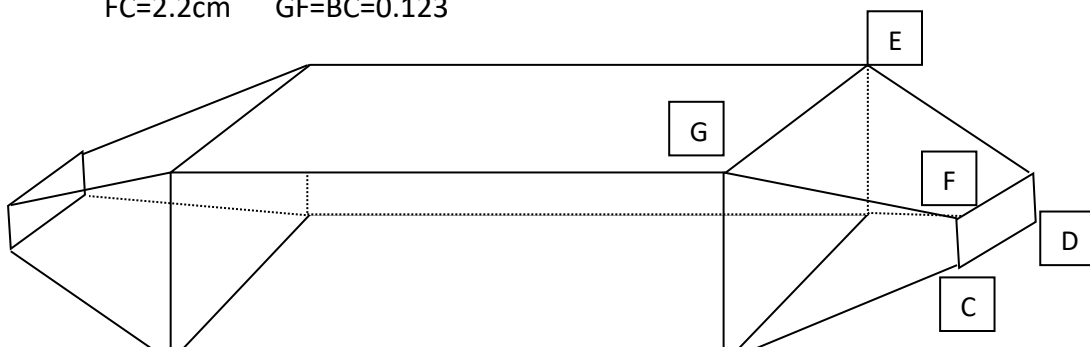
დიდი ზომის ოთკუთხა გამტარები ფართოდ გამოიყენება განივი ელექტრომაგნიტური ველებისათვის. ისინი ხასიათდებიან ჰაერის დიელექტრიკობით და თხელი ცენტრალური გამტარით (septum), რომელიც გარშემორტყმულია ოთხკუთხა გამტარით. მთავარი მიზანია არსებობდეს ერთგვაროვანი განივი ელექტრომაგნიტური ველი. პირველად ასეთი გამტარები აღწერილ იქნა კლაუდეს Claudio მიერ. ჩვენს მიერ დამუშავეული TEM cell –ის ზომები მოცემულია სურ. 2 ზე.

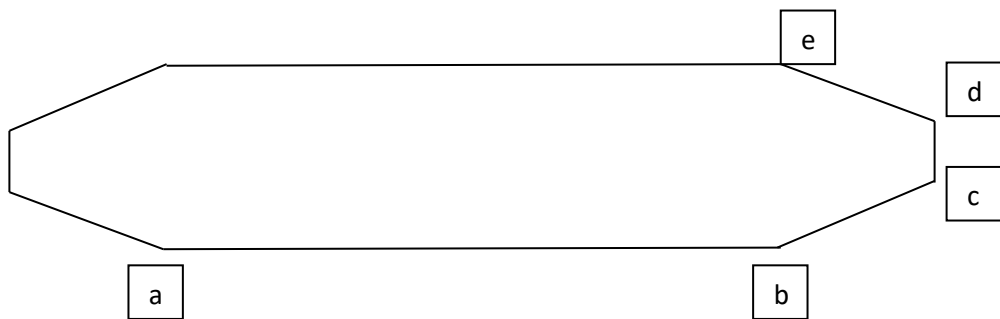
TEM Cell

$$|GE|=8.2\text{cm} \quad GB=8.3\text{cm}$$

$$CD=3.6\text{cm} \quad AB=30.6\text{cm}$$

$$FC=2.2\text{cm} \quad GF=BC=0.123$$





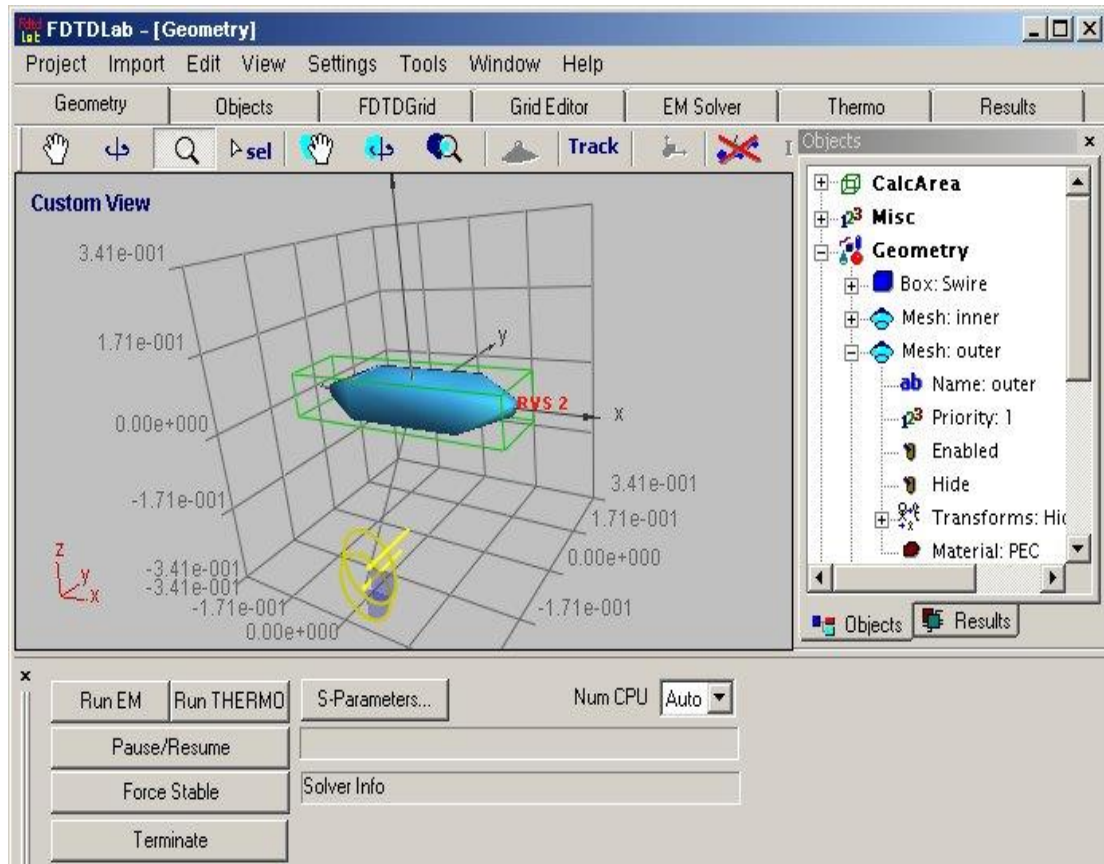
$$eb = 7.9 \text{ cm} \quad bc = 0.115$$

$$ab = 27.6$$

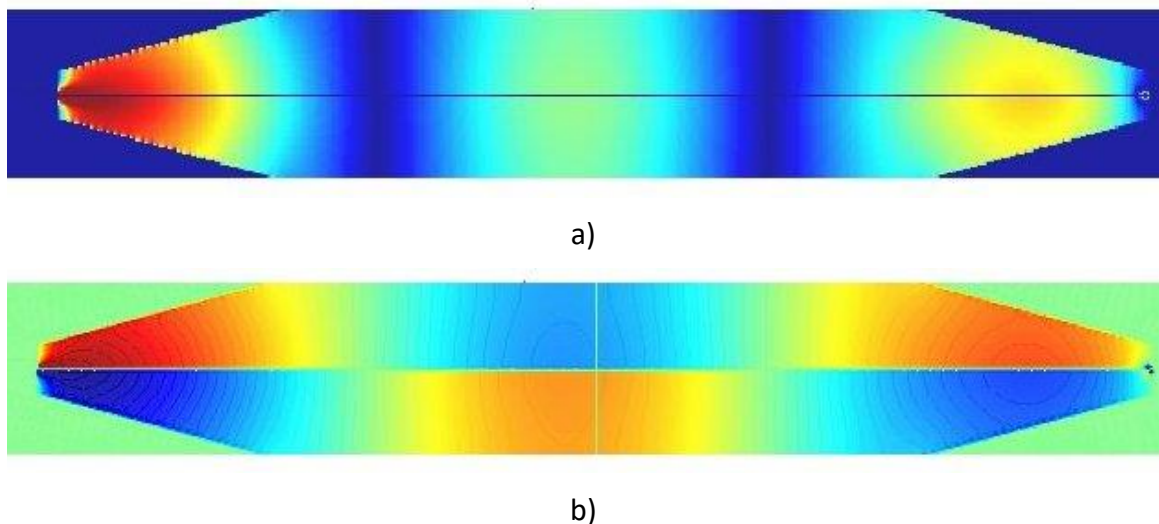
$$cd = 2.8 \text{ sm}$$

სურ. 2

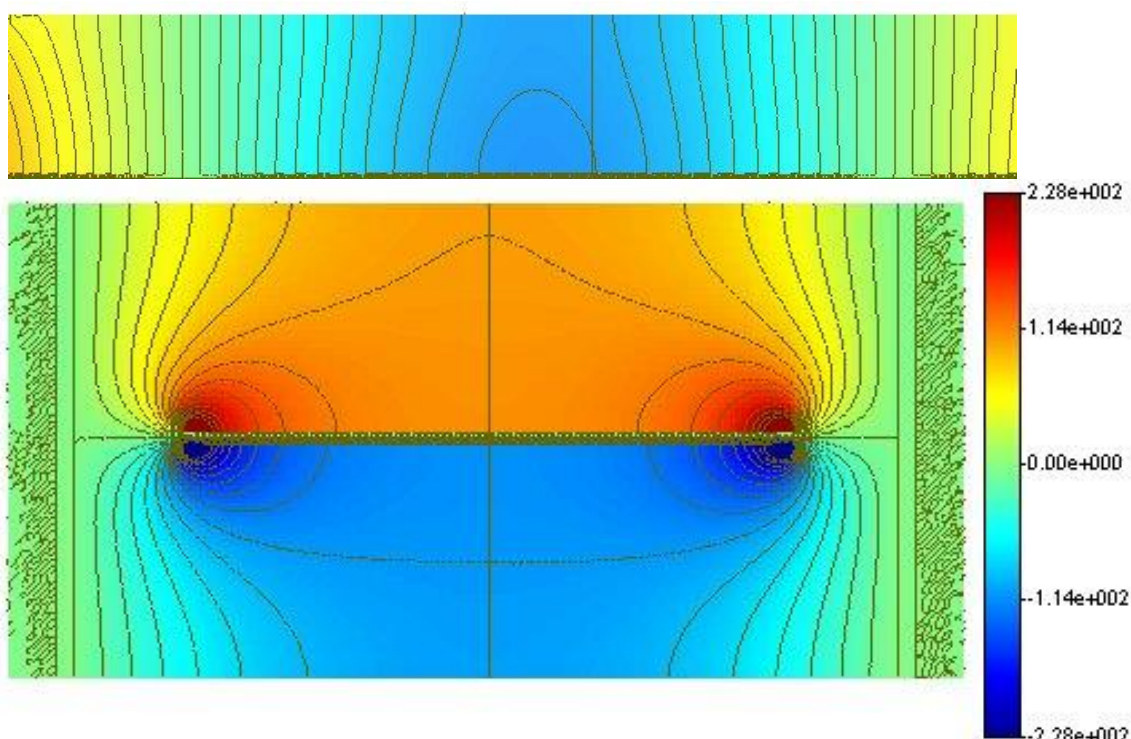
septum -ის სისქე $t=1\text{mm}$. septum -ის სიგანის ცვალებადობით მიღწეულ იქნა 1800 მგპც-სათვის septum -ის ოპტიმალური ზომა. მოდელში შესავალზე მოდებულ იქნა 1 კოლტი ძაბვა, 50 ომ წინააღმდეგობით, TEM cell მეორე მხარე ბოლოვდება ასევე 50 ომიანი წინააღმდეგობით, რათა მოხდეს წინაფობათა შეთანხმება. სურ. 3-ზე ნაჩვენებია მოდელირებული TEM cell.



ველის E_z სიმულირებიული კომპონენტი მოცემულია სურ 4-ზე. აქ თითეული ელემენტისათვის გამოთვლილია იმპედანსი, სიმძლავრე და S11. ასეთი ველისათვის ეწვე მდგარი ტალღების კოეფიციენტი ტოლია 1,1-სა ხოლო გადატანილი სიმძლავრე 99,5%-ს შეადგენს. როგორც სურ.5 -ზე ვხედავთ ერთგვაროვანი ველი მიიღება TEM Cell -ის ცენტრალურ ნაწილში და იგი გაცილებით მეტია ვიდრე საკვლევი ბიოლოგიური ობიექტი- მოლუსკის ნერგული სისტემა.



სურ. 4 E_z ველის გავრცელება TEM cell -ში
ნაჩვევნებია სხვადასხვა ფარის ქარგაში.



სურ 5. ველის ერთვგაროვანი ნაწილი TEM Cell-ში.

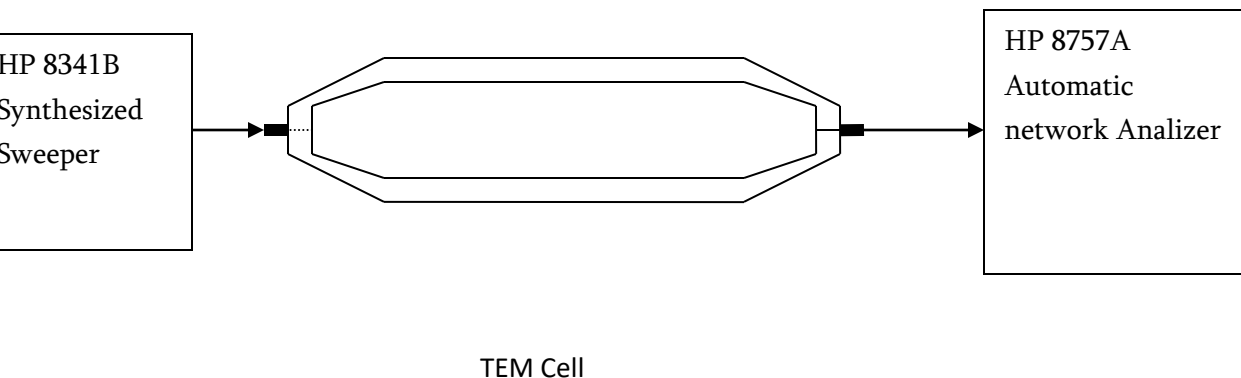
TEM Cell-ის ელექტრომაგნიტური მახასიათებლების გაზომვა



სურ. 6 შექმნილი TEM Cell -ის ფოტო მობილურ ტელეფონთან ერთად.

გაზომვები ჩატარდა HP 8757A Automatic network Analyzer და HP 8341B Synthesized Sweeper – ის გამოყენებით.

გაზომვების სქემატური გამოსახულება მოცემულია სურ. 7-ზე



სურ. 7 TEM Cell -ის გამოკვლევის სქემა

P_{in}/P_{out} გამოითვლბა ფორმულით

$$P_{in}/P_{out} = 1 - [(KSW-1)/(KSW+1)]^2 =$$

$$4KSW/(KSW+1)^2$$

სადაც KSW არის მდგარი ტალღების კოეფიციენტი,

P_{in} არის TEM Cell-ში შესული ელექტრომაგნიტური გელის სიმძლავრე.

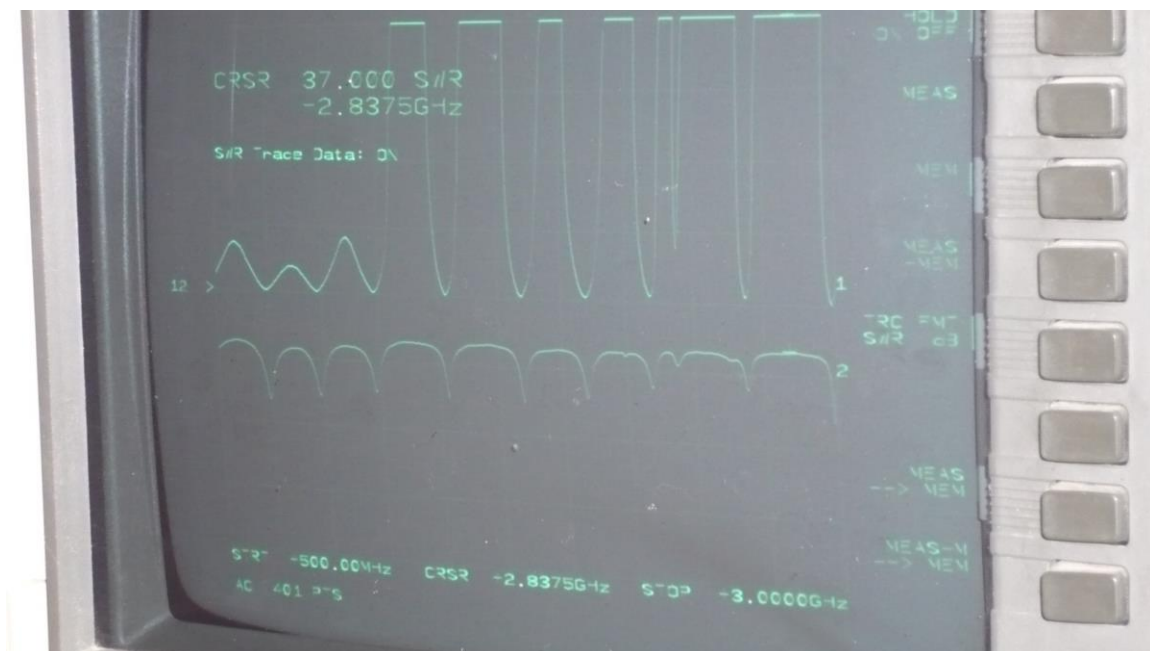
P_{out} არის –ის გამოსავალი ელექტრომაგნიტური გელის სიმძლავრე.

სურ-8 ზე ნაჩვენებია HP 8757A Automatic network Analyzer-ის ეკრანიდან გადაღებული ჩვენება, რომელიც ასახავს დამუშავებული TEM Cell-ის KSW –ბს 1700 მჰ-1900 მჰც სიხშირეების დიაპაზონში.



სურ. 8 TEM Cell-ის მდგარი ტალღის კოეფიციენტები 1700 მგჟბ-1900 მგჟც დიაპაზონში.

სურ 9 – ზე ნაჩვენებია TEM Cell -ის KSW – ბი 500 მგჟც-დან 3 გჟერც სიხშირეების დიაპაზონში.



სურ. 9. TEM Cell-ის მდგარი ტალღის კოეფიციენტები 500 მგვტ-3 გვც დიაპაზონში.

ქვემოთ მოცემულია TEM Cell-ის KSW –ბი და გამოსავალ სიმძლავრეების ფარდობები შესავალ სიმძლავრეებთან სიხშირეთა იმ დიაპაზონებში, რომლებიც შეესაბამებიან მობილური ტელეფონების გამოსხივების სიხშირეებს.

1,77-1,92 Ghz ინტერვალი.

f=1,847 Ghz

SW=1,154

Pout/Pin=99,5%

2,27- 2,38 Ghz ინტერვალი.

f=2,3441 Ghz

KSW=1,36

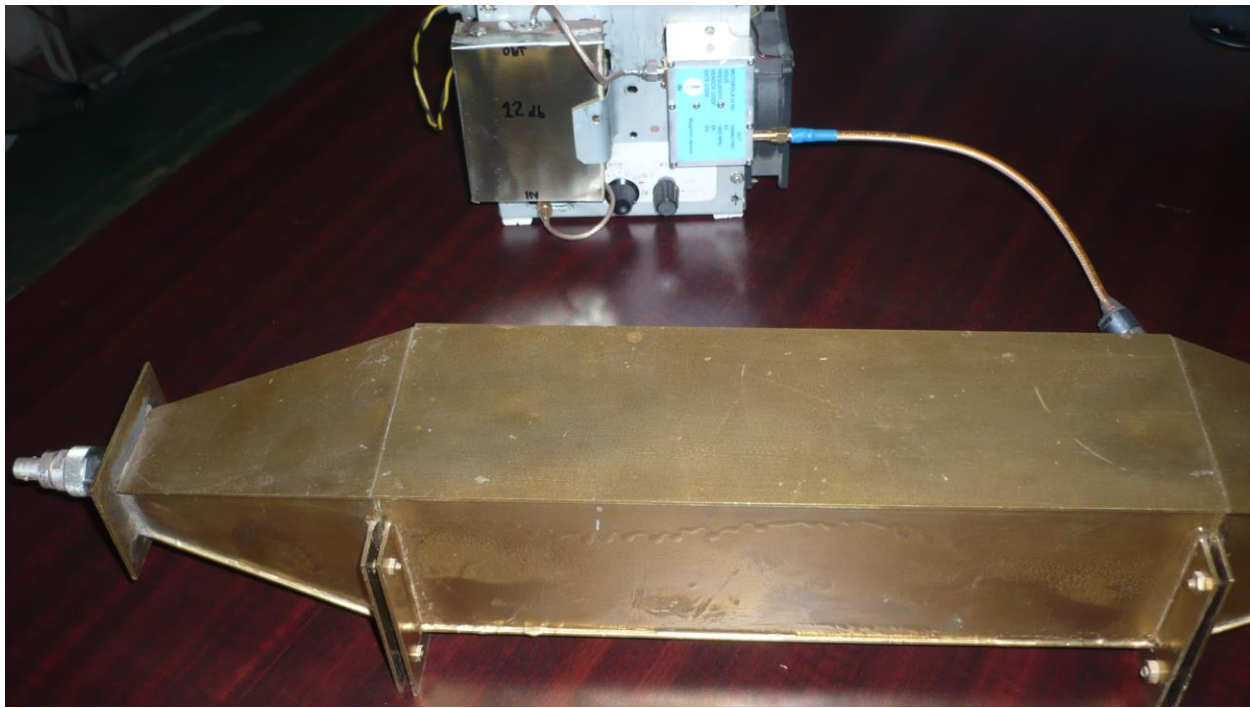
Pout/Pin=97,7%

980 MHz ინტერვალი.

KSW= 1,14

Pout/Pin=99,5%

ექსპერიმენტული ბაზის მომზადება მოიცავდა აგრეთვე 1800 მგც გენერატორის დამუშავებასა და შექმნას. გენერატორის მოდულაციის სიხშირები უნდა ყოფილიყო 1-20 ჰც. აღნიშნული გენერატორი იქნა დამუშავებული და რეალიზებული. იხ სურ.10



სურ. 10 გენერატორი და TEM Cell.

პელმოლცის კოჭები

1-20 პერცი დაბალი სიხშირის მქონე ელექტრომაგნიტური ველების ნეირონის აქტივობაზე ზემოქმედების შესწავლის მიზნით დამუშავდა პელმოლცის კოჭები. კოჭების წყვილის ცენტრში მაგნიტური ველის მნიშვნელობა გამოითვლება ფორმულით:

$$B = \mu H \approx 0.899 \mu \frac{NI}{R}$$

სადაც:

B არის მაგნიტური ნაკადი გამოსახული გაუსებში,

: არის გარემოს მაგნიტური შეღწევადობა,

N არის ხვიათა რიცხვი

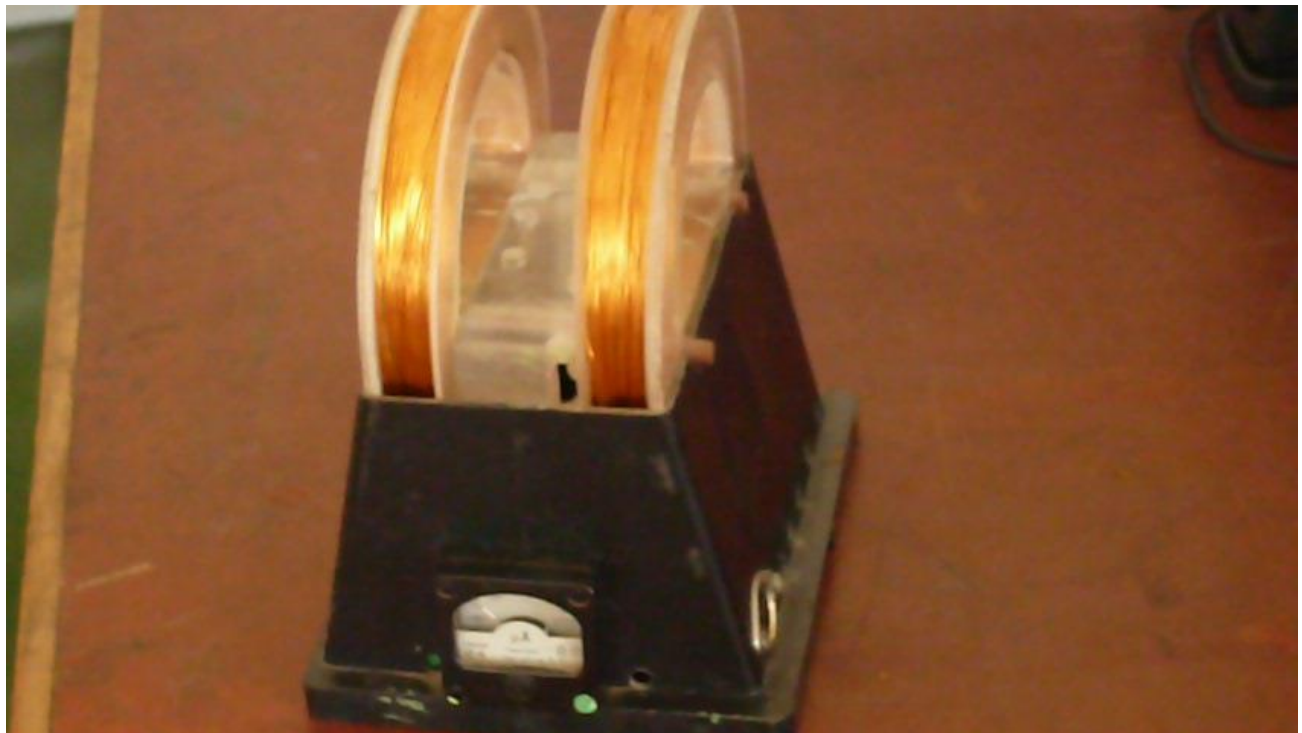
I არის დენის ძალა მავთულში.

R არის კოჭის დიამეტრი მეტრებში.

ჩვენს შემთხვევაში N=523, I_{max}=1 ამპერს. R=0,1 მ. ამრიგად მაქსიმალური მაგნიტური ველი ცენტრში 6 მილი ტესლაა.

SpectranNF-5035- ით კოჭებსშუა არეში სხვადასხვა წერტილებში ველის გაზომვის შედეგად დადგინდა, რომ კოჭებს შუა, ცენტრში, ველი ერთგავროვანია და მისი ზომებია $2 \times 2 \times 2$ სმ. ეს მოცულობა ბევრად მეტია საკვლევი ბიოლოგიური ობიექტის – მოლუსკის ნერვული სისტემის ზომებზე. ერთგაროვნება ინახება დენის ყველა მნიშვნელობისათვის.

სურათზე ქვემოთ მოცემულია შექმნილი პელმჰოლცის კოჭების სურათი.



სურ. 11 პელმჰოლცის კოჭები

პელმჰოლცის კოჭების კვება ხდება დაბალი სიხშირის გენერატორიდან. იმის გამო, რომ გენერატორ იძლევა უაღრესად სუსტ დენებს (მილიამპერის რიგისა) ხოლო მაქსიმალური ძაბვა 15 ვოლტის ფარგლებშია, შეიქმნა სიმძლავრის გამაძლიერებელი, რომელიც ამ დენების პიკურ მნიშვნელობას აძლიერებს 1 ამპერამდე.

ცხრილი გვიჩვენებს დენის მნიშვნელობებს შესავალ წრედსა და პელმჰლცის კოჭების ხვიებში (გაძლიერებულს) და ასევე მაგნიტური ველის ინდუქციის მნიშვნელობას კოჭის შუა არეში.

ცხრილი

დენის მნიშვნელობა შესავალ წრედში მილიამპერებში	დენის მნიშვნელობა პელმჰლცის კოჭების ხვიებში მილიამპერებში	მაგნიტური ველის ინდუქცია მილი ტესლებში
--	---	--

1	100	0.6
2	200	1.14
3	300	1.68
4	400	2.22
5	500	2.76
6	600	3.3
7	700	3.84
8	800	4.38
9	900	4.83
10	1000	6

ემპ-ბის ცალკეულ ნეირონზე გავლენა

ტელეფონების გამოსავალი მაქსიმალური სიმძლავრე 1 ვატის ტოლია. თუმცა ეფექტური სიმძლავრე რომელსაც რეალურად გამოასხივებს ტელეფონი არ აღმატება 0,125 ვატს. ლიტერატურიდან ცნობილია, რომ თავის ტვინის ის ნეირონები, რომლებიც უშუალო სიახლოვეში არიან ტელეფონის გამომსხივებელ ანტენასთან შთანთქავენ დაახლოებით 5ვატი/კგ პიკურ სიმძლავრეს. ეს შეესაბამება 5 ვატ მაქსიმალურ გამოსავალ სიმძლავრეს. გამომდინარე აქედან შესასწავლ შესავალ სიმძლავრეებად აღებულ იქნა 0,125 ვატი და 5 ვატი.

საკვლევი განგლია თავსდება პენოპლასტის მცირე კამერაში. კამერის მოცულობა 1 სმ³ –ია. კამერა ივსება რინგერის სსნარით. პენოპლასტის ელექტრული მახასიათებლები თითქმის იდენტურია ჰაერის ელექტრული მახასიათებლებისა, ამიტომ გამოთვლებში პენოპლასტის პარამეტრები აღებულ იქნა ჰაერის პარამეტრების ტოლად. თითქულ ექსპერიმენტში განისაზღვრებოდა ექსპოზიციაში მყოფი პრეპარატის კოორდინატები, რაც საჭიროა განგლიისა და ცალკეული ნეირონის მიერ შთანთქმული კუთრი სიმძლავრის ე.წ. SAR გამოსათვლებოდ. ასევე გამოითვლებოდა ტემპერატურის ნაზრით, რომელიც ელექტრომაგნიტური ველის მიმართ ნეირონის ექსპოზიციის შედეგია. SAR-სა და ტემპერატურის ნაზრით გამოთვლა ხდება FTDT მეთოდის გამოყენებით კომპიუტერში.

ექსპერიმენტების სერიაში ადგილი ჰქონდა ნეირონის სტიმულაციას უჯრედსშიგა მასტიმულირებელი იმპულსებით და უწყვეტი ელექტრომაგნიტური ველის ზეგავლენის შესწავლას ნეირონის რეაქციებზე აღნიშნული სახის სტიმულირების მიმართ. ნეირონის უჯრედშიგა დენით სტიმულირებისათვის გამოყენებულ იქნა სელსაწყო Picoampere source K 261. დამუშავდა სპეციალური მწყვეტარა, რომელიც განაპირობებს მასტიმულირებელი დენის იმპულსებად გადაქმნას. მწყვეტარას აქვს წყვეტის დროის რეგულირების საშუალება, რაც განაპირობებს მასტიმულირებელ უჯრედშიგა იმპულსთა ხანგრძლივობის რეგულირების საშუალებას. იმპულსების ხანგრძლივობა

იცვლებოდა 4 მილიწამიდან 20 მილიწამამდე. უმეტეს შემთხვევაში აიღებოდა 4 მილიწამი. ეს დრო ბევრად ნაკლებია ქმედების პოტენციალის წინმსწრებ ლატენტურ დროსთან შედარებით და ამრიგად ნებისმიერი რეაქცია მხოლოდ ნეირონში მიმდინარე პროცესებზე არის დამოკიდებული.

ნეირონის სტიმულზე რეაქციების რეგისტრაციისა და უჯრედშიგა სტიმულაციისათვის ხდებოდა ნეირონში ორი მიკროელექტროდის შეყვანა. ერთერთ მათგანზე მიეწოდება დენის იმპულსები, ხოლო მეორე მათგანით ხდება რეგისტრაცია. მიკროელექტროდების ნეირონში შევანისას ნეირონის დაზიანების თავიდან ასაცილებლად გამოიყენება ორი პიეზო მიკრომანიპულატორი PM-20, რომელიც განაპირობებს მიკროელექტროდების მყისიერ და დაუზიანებელ შესვლას ნეირონში. გამაძლიერებლის გამოსავალი მიერთებულია მონაცემთა აღების სიტემა Powerlab Data acquisition System-თან "Powerlab 4-30", რომელიც აღჭურვილია "Chart 5" პროგრამით.

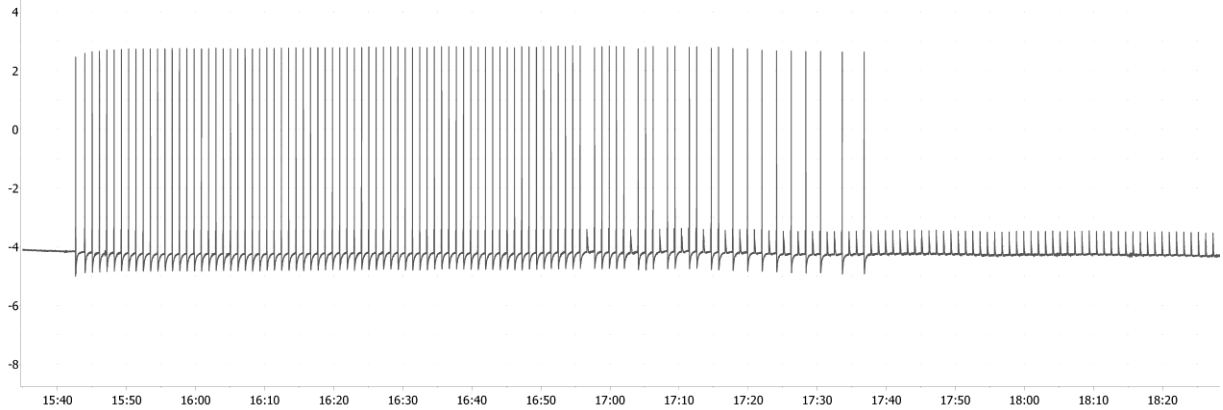
მოლუსკის ნერვული სისტემის აღება კვლევის ობიექტად იმითად საინტერესო რომ, ჯერ ერთი ამ ნეირონების ყველა ძირითადი ბიოფიზიკური და ელექტროფიზიოლოგიური პროცესი და მახასიათებელი იდენტურია უმაღლესი განვითარების ცხოველთა ანალოგიურ პროცესებსა და პარამატრებითან. მეორე და მთავარი ისაა, რომ მოლუსკის ცენტრალურ ნერვულ სისტემაში არიან იდენტიფიცირებადი ნეირონები. მათი ზომა 150-200 მიკრონს აღწევს. ამასთანავე მათი მდებარეობა შეფერილობა და სხვა ყველა მახასითებელი განმეორებადია პრეპარატიდან პრეპარატამდე. ეს საშუალებას იძლევა ექსპერიმენტის პირობები იყოს იდენტურნი.

მიჩვევა (ჰაბიტუაცია) ადებულ იქნა როგორც ცალკეული ნეირონის დონეზე ინფორმაციის შენახვის (დასწავლის) მოდელი.

საკონტროლო ნეირონების უჯრედშიგა სტიმულაცია და შესაბამისი რეაქციები.

ექსპერიმენტის დასაწყისში ნეირონის გაღიზიანება ხდებოდა 0,01 ნა ამპლიტუდის მქონე უჯრედშიგა იმპულსებით. ცდებით დადგინდა, რომ ასეთი ამპლიტუდის მქონე მასტიმულირებელი იმპულსები ვერ იწვევენ ნეირონის ისეთ აღგზებას, რომ ნეირონმა სტიმულს უპასუხოს ქმედების პოტენციალის გენერირებით. შემდეგ ხდებოდა მასტიმულირებელი იმპულსების ამპლიტუდის თანადაონობითი მომატება მანამდე, ვიდრე ნეირონი მათ არ უპასუხდა ქმედების პოტენციალის გენერირებით. ასეთი სტიმულაცია განაპირობებდა ერთ მატიმულირებელ უჯრედშიგა იმპულსზე ერთი ქმედების პოტენციალის გენერირებას. სტიმულირების ასეთი წესი შეიძლება განხილულ იქნას როგორც ნეირონისათვის ინფორმაციის გადაცემის მოდელი. ნეირონის რეაგირებს სტიმულზე გარკვეული დროის განმავლობაში, შემდეგ იწყება ზოგიერთი სტიმულის უპასუხდ გამოტოვება, ხოლო ბოლოს დგება სტიმულისადმი სრული მიჩვევა, რაც იმაში გამოიხატება, რომ ნეირონი აღარ პასუხობს სტიმულებს ქმედების პოტენციალის გენერირებით.

სურ 12-ზე საილუსტრაციოდ ნაჩვენებია ერთერთი იდენტიფიცირებული ნეირონის სტუმულის მიმართ მიჩვევის დინამიკა.

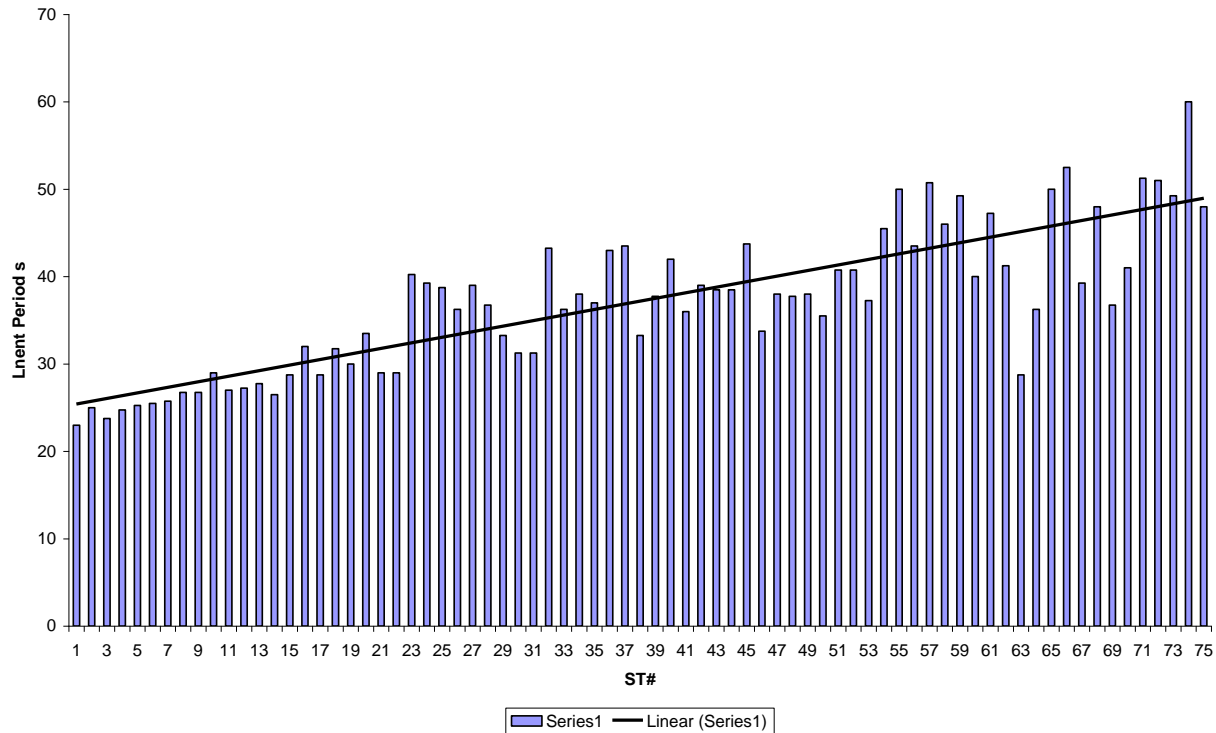


სურ. 12 RPG#3 ნეირონის მიჩვევა 0,1 ნა ამპლიტუდის მქონე უჯრედშიგა იმპულსებით ხტიმულაციაზე. სრული მიჩვევა განხორციელდა 2 წუთის განმავლობაში ხტიმულაციის შემდეგ. მასტიმულირებელი იმპულსთა ხანგრძლივობა 4 მილიწამია. თითეული უჯრედს შიგა მასტიმულირებელი იმპულსი იწვევს ან ქმედების პოტენციალების აღმოცენებას, ან ატრეფაქტს (მცირე კბილანებს) ჩანაწერზე. ამიტომ მასტიმულირებელი იმპულსები უშუალოდ არაა ნაჩვენები. აბცისათა დერძზე გადაზომილია დრო წმ; ორდინატთა დერძზე პოტენციალთა სხვაობა ვოლტებში. გამაძლიერებლის გაძლიერების კუჯიციენტი 100-ის ტოლია. გამომდინარე აქციანტების პოტენციალთა ამპლიტუდა 70 მილივოლტის ტოლია.

ნეირონის მიერ სტიმულზე ქმედების პოტენციალით პასუხის ხანგრძლივობა დამოკიდებულია სტიმულის ამპლიტუდაზე, უჯრედშიგა იმპულსების მიწოდების სიხშირეზე და თითეული იმპულსის ხანგრძლივობაზე. რაც მეტია ეს ამპლიტუდა მით გვიან დგება მიჩვევა. თუ ამპლიტუდა ძალიან მაღალია, (რამოდენიმე ნა) მაშინ მიჩვევა შეიძლება არ დაგეხს. უჯრედშიგა იმპულსების ხანგრძლივობის გაზრდა ადიდებს მიჩვევისათვის საჭირო დროს, თუმცა მიჩვევა ყოველთვის დგება, მაშინაც კი, თუ ამ იმპულსთა ხანგრძლივობა უსასრულოა, ე.ი. ნეირონს ვაღიზიანებთ არა იმპულსებით არამედ მუდმივი დენით. მიჩვევისათვის საჭირო დრო უკუპროპორციულია ზემოთ აღნიშნული სიხშირისა- რაც ნაკლებია ეს სიხშირე, მით გვიან დგება მიჩვევა. მიჩვევის დადგომისას სტიმულაციას ვწყვეტთ. სტიმულაციის განახლება რამოდენიმე წუთის შემდეგ არ იწვევს ამ სტუმულზე ნეირონის მიერ ქმედების პოტენციალებით პასუხს, ე.ი. ადგილი აქვს ინფორმაციის შენახვას. დრო, რომელშიც ხდება აღნიშნული ინფორმაციის შენახვა ვარირებს ნეირონიდან ნეირონამდე, ასევე დამოკიდებულია მატიმულირებელ უჯრედს შიგა იმპულსების ამპლიტუდაზე პირდაპირ პროპორციულად. სტიმულზე ქმედების პოტენციალებით რეაქციის უნარის აღდგენას საშუალოდ სჭირდება 20-30 წუთი. ხელმეორედ იგივე უჯრედს შიგა იმპულსებით სტიმულირების შემთხვევაში სრული მიჩვევის დადგომისათვის საჭირო დრო მცირდება. სტიმულაციის სერიების მრავალჯერადი განმეორების შემთხვევაში შეიძლება მიღწეულ იქნას მდგომარეობა, როდესაც ნეირონა არ გენერირებს ქმედების პოტენციალებს მოცემული ამპლიტუდის მქონე უჯრედს შიგა დენის იმპულსებზე. ი.ე. ხდება ინფორმაციის სრული დასწავლა.

მიჩვევის დროის გარდა ნეირონის უჯრედს შიგა იმპულსებით სტიმულაციაზე მიჩვევა შეიძლება დახასიათდეს ქმედების პოტენციალების წინმსწრები ლატენტური დროით და მათი აღმოცენების ზღურბლით. აღნიშნული ლატენტური დრო არ არის მუდმივი და განიცდის არარეგულარულ ცვალებადობას, თუმცა შეიმჩნევა ზრდის ტენდენცია. სურ

13-ზე მოცემულია ერთერთი ნეირონის ქმდების პოტენციალთა ლატენციური დროები მისი უჯრედშიგა იმპულსებით სტიმულაციის დროს.

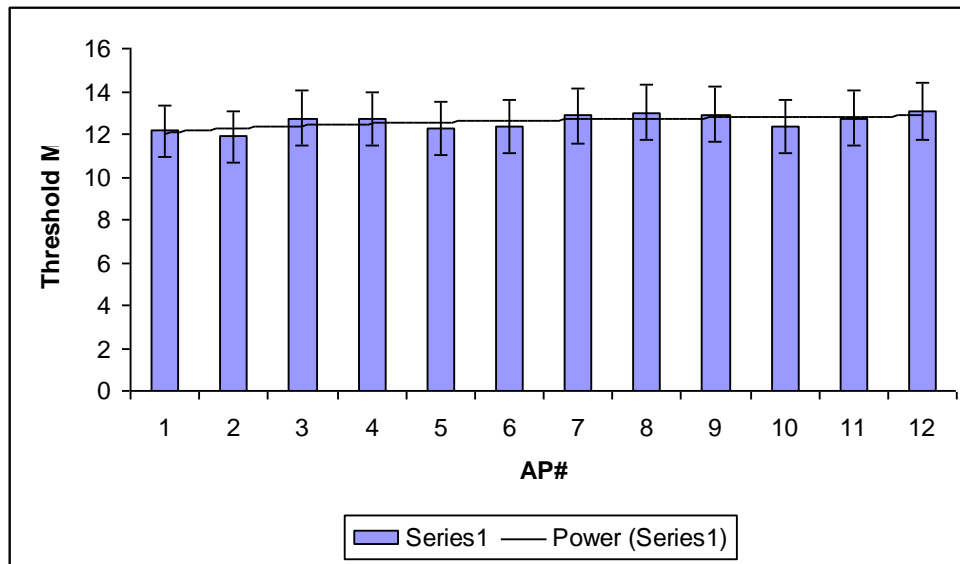


სურ. 13 ლატენციური დროების დამოკიდებულება უჯრედშიგა დენის იმპულსის (b_0 იმპულს = ST) ნომერზე, სტიმულის ნომერი ემთხვევა ქმედების პოტენციალის ნომერს.

აბსცისათვის დერძხე გადაზომილია სტიმულის ნომერი.

ორდინატთა დერძხე გადაზომილია ლატენციური პერიოდის დრო მიღიწამებში. ტენდენცია გამოსახულია შევივრები ხაზით. ზრდის ტენდენცია აშკარაა.

ზღურბლის მნიშვნელობა, მსგავად ლატენციური პერიოდისა, განიცდის არარეგულარულ ცვალებადობას, მაგრამ ზრდის ტენდენცია არ შეინიშნება. სურ. 14-ზე ნაჩვენებია ზღურბლის მნიშვნელობის დამოკიდებულება ქმედების პოტენციალის ნომრისაგან.

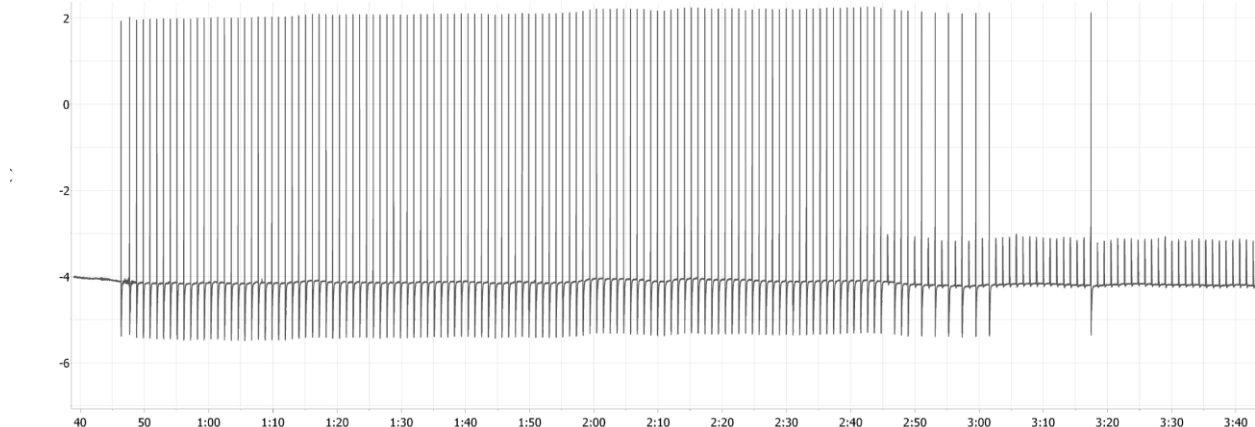


სურ. 14 ზღურბლის მნიშვნელობის დამოკიდებულება ქმედების პოტენციალის ნომრისაგან. ზღურბლის ვარაიაციები არაა დიდი. ტენდენცია გამოსახულია უწყვეტი შავი ხაზით. ვხედავთ რომ ტენდენცია მუდმივობის კენაც.

უწყვეტი ელექტრომაგნიტური გელის მიმართ ექსპოზირებულ ნეირონების უჯრედშიგა სტიმულაცია და შესაბამისი რეაქციები.

როგორც ზემოთ ნაჩვენები იქნა, სტიმულაციის სერიების განმეორების შემთხვევაში სტიმულაციის ყოველ მიმდევნო სერიის მიმართ ნეირონის რეაქციები კლებულობს. გამომდინარე აქედან დასხივებული ნეირონების სტიმულაცია უჯრედშიგა დენის იმპულსებით ხდებოდა მხოლოდ ერთხელ. შედარება ხდებოდა დასხივებული ნეირონების მიჩვევის დინამიკასა და საკონტროლო ნეირონის მიჩვევის დინამიკას შორის სტიმულაციის მხოლოდ პირველი სერიებისათვის.

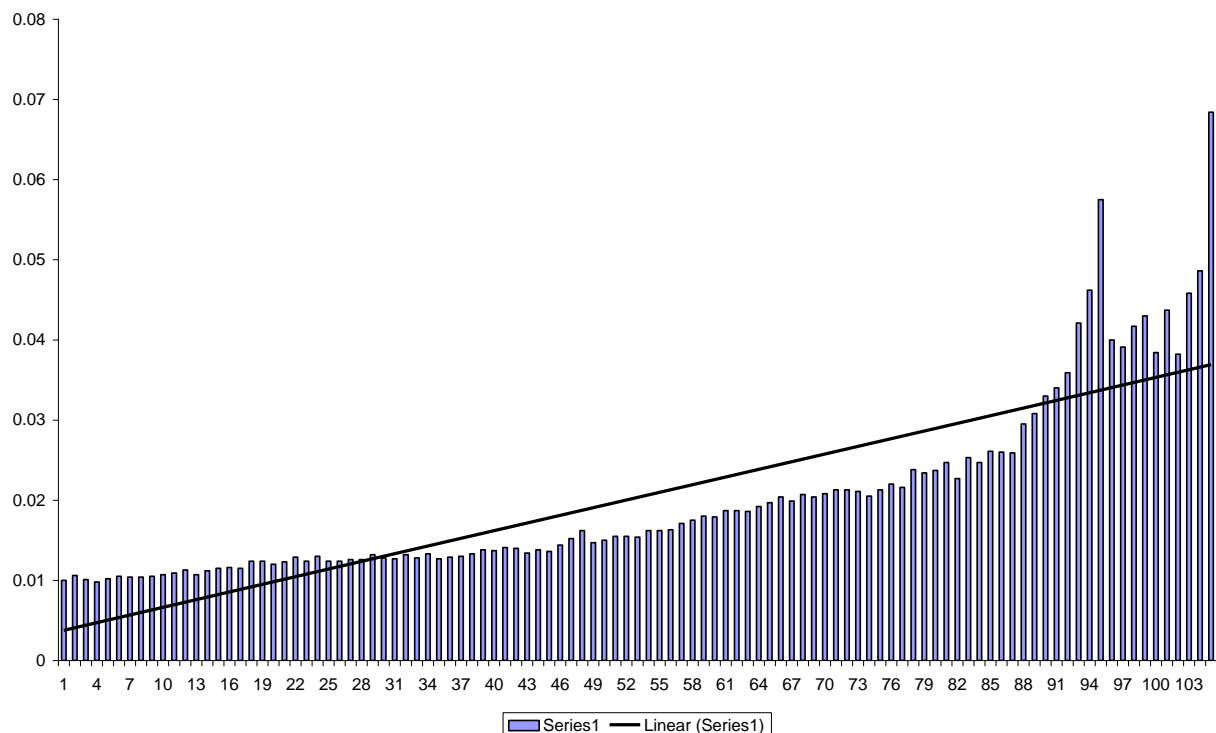
სურ 15-ზე ნაჩვენებია ერთეული ნეირონის, რომელიც დაქვემდებარებულია TEM Cell-ში ექსპოზიციას, უჯრედშიგა დენის იმპულსების მიმართ მიჩვევის დინამიკა.



სურ. 15. დასხივებულ ნეირონის მიჩვევა უჯრედშიგა დენის იმპულსებით სტიმულირების მიმართ. ელექტრომაგნიტური გელის მიმართ ექსპოზიცია მოხდა TEM Cell-ში. დასხივების რეჟიმი-არამოდულირებადი (უწყვეტი) ელექტრომაგნიტური გელი. შესავალი ხიმულავრე - 0,125 ვატი. ექსპოზიციის დრო 60 წუთია. შთანთქმის აუთორი თანრიგი-SAR= 0,9 ვატი/კგ. ტენდენცია განვითარდა.

ნაზრდი = 0,1° C. თითვეული მახტიმულირებელი იმპულსის ხანგრძლივობა 4 მილიწამის ტოლია. ხრული პაბიტუაცის დადგა 2 წელია და 30 წამში, რაც ოდნავ მეტია ვიდრე სურ 1-ზე აღწილ შემთხვევაში.

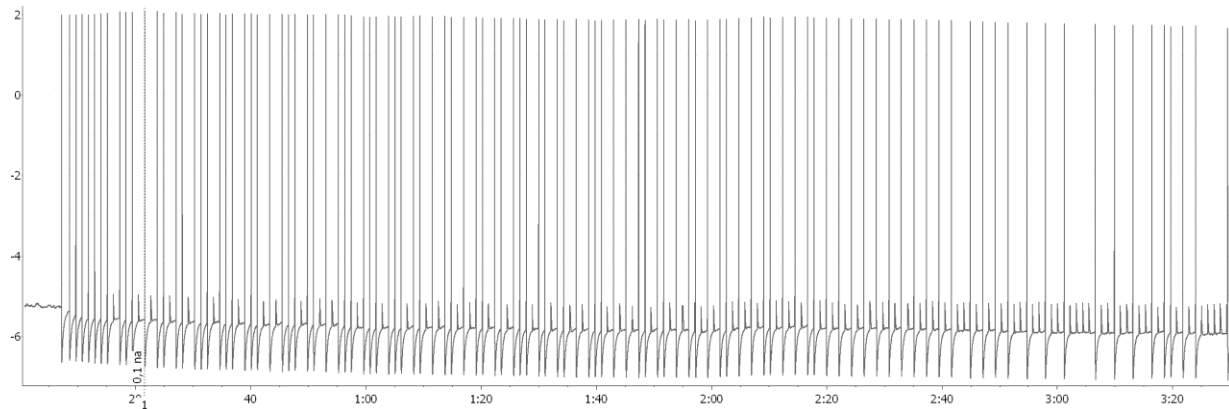
საკონტროლო ნეირონების მსგავსად, დასხივებულ ნეირონთა შემთხვევაშიც, ლატენტური პერიოდი განიცდის არარეგულარულ რხევას, რომელსაც ზრდის ტენდენცია აქვს. სურათ 16-ზე ნაჩვენებია ერთერთი ასეთი დამოკიდებულება ლატენტურ ჟერიოდსა და ქმედების პოტენციალის ნომერს შორის დასხივებული ნეირონისათვის.



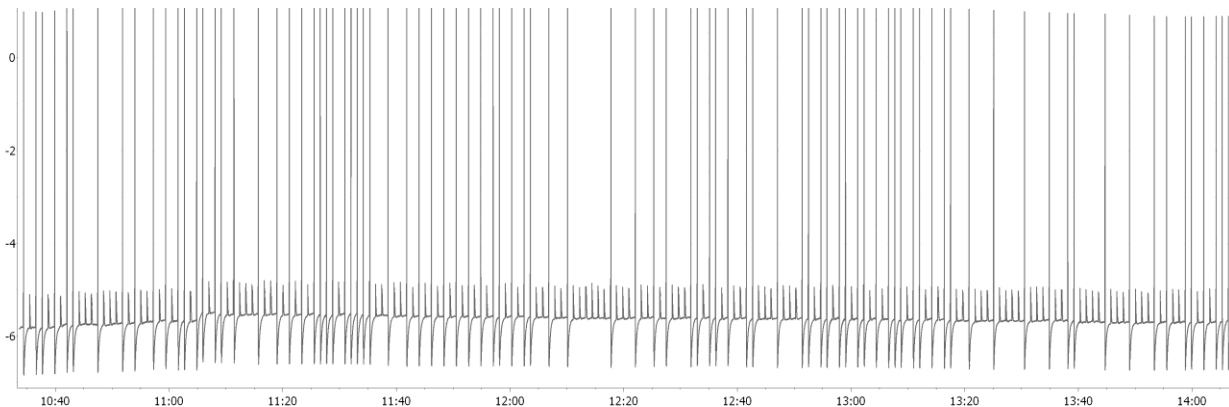
სურ. 16. ლატენტური პერიოდის დამოკიდებულება ქმედების პოტენციალის ნომერზე. შეინიშნება ლატენტური პერიოდის არარეგულარული რხევა ზრდადობის ტენდენციით. ნეირონი LPG#3 TEM Cell-ში დაგჭვებულება 60 წელის განმავლობაში. შესავალი სიმძლავრე შეადგენს 0,125 ვატს. დასხივება – უწყვეტ რეზისტორი. შთანთქმის კუთრი სიდიდე SAR=0,9 ვატ/კგ. ტემპერატურის ნაზრდი 0,1° C. აბსისათა დერძზე გადაზომილია ხტიმულის ნომერი, ორდინატა დერძე გადაზომილია დრო წამებში.

ზღურბლის დამოკიდებულება ქმედების პოტენციალის ნომრის მიმართ დასხივებული ნეირონებისათვის მსგავსია საკონტროლო ნეირონების იგივე დამოკიდებულებისა. გამოთვლები გვიჩვენებენ, რომ შთანთქმის კუთრი თანრიგი - SAR დამოკიდებულია შესავალ სიმძლავრეზე, რომელიც მიეწოდება TEM Cell-ს. მეორეს მხრივ, ლიტერატურიდან ცნობილია, რომ როდესაც ხდება მობილური ტელეფონის გამოსხივების შთანთქმა თავის ტვინის ნეირონების მიერ, ეს შთანთქმა არათანაბარია. კერძოდ, ტელეფონის მდებარეობის მიმართ უახლოესი ნეირონები შთანთქავენ გაცილებით მეტ სიმძლავრეს, ვიდრე ტვინის სიდრმისეული ნეირონები. გამომდინარე აქედან, მომდევნო ექსპერიმენტის სერიებში TEM Cell-ის შესავალზე სიმძლავრე გაზრდილ იქნა 5 ვატამდე.

სურ. 17-ზე ნაჩვენებია ერთერთი ნეირონის რეაქციების დინამიკა უჯრედშიგა დენის იმპულსებით სტიმულაციის მიმართ, როდესაც იგი დაექვემდებარა ელექტრომაგნიტურ გამოსხივებას 5 ვატი შესავალი სიმძლავრით TEM Cell-ში.



δ



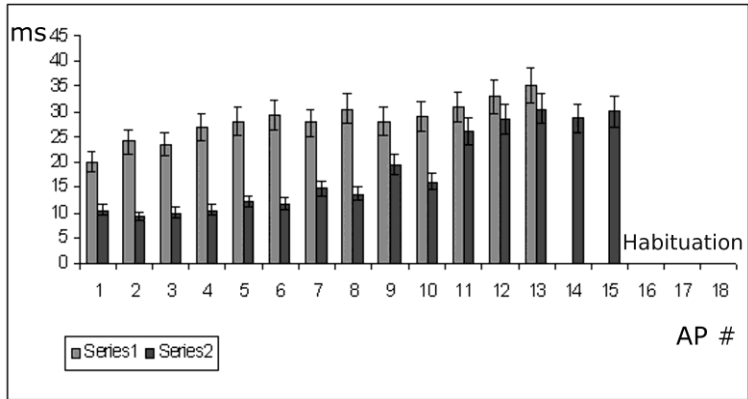
ბ

სურ. 17. LPG #3 ნეირონის რეაქციები 0,1 ნა ამპლიტუდის მქონე უჯრედშიგა დენის იმპულსებით სტიმულაციის მიმართ. TEM Cell-ში ელექტრომაგნიტური ველის შესავალი სიმძლავრე შეადგენს 5 ვატს ექსპოზიციის დრო 60 წუთი. დასხივების რეჟიმი არის არამოდულირებადი უწყვეტი ელექტრომაგნიტური ველი. გამოთვლილი SAR=5,3 ვატი/კგ. ტემპერატურის ნაზღდი 4,8°C ტოლია.

ა) ნეირონის რეაქციები ხტიმულაციის დასხაწყისში.

ბ) ნეირონის რეაქციები ხტიმულაციის 14-ე წუთზე. აშკარაა, რომ მიჩვევა არ ჩამოყალიბდა 14 წუთიანი ხტიმულაციის ფონზე კი. მიჩვევის დათრგუნვა აშკარაა.

ლატენტური პერიოდზე დაკვირვებამ გამოააშკარავა, რომ გაზრდილი შესავალი სიმძლავრის პირობებში საშუალო ლატენტური პერიოდი შემცირებულია საკონტროლო ნეირონების საშუალო ლატენტურ პერიოდთან შედარებით. სურ. 18 ზე ნაჩვენებია ქმედების პოტენციალის ნომრიდან ლატენტური პერიოდების დამოკიდებულებები დახივებული და დაუსხივებელი ნეირონებისათვის.



ეგრ. 18 ნეირონები -- ორივე RPG#3. ლატენციური პერიოდის დამოკიდებულება ქმნდების პოტენციალის ნომრიდან საკონტროლო ნეირონისათვის (Series 1) და დასხივებული ნეირონისათვის (Series 2). ორივე ნეირონისათვის ლატენციური პერიოდის ტენდენცია ზრდადია, თუმცა აშკარაა, რომ დასხივებული ნეირონისათვის საშუალო საშუალო ლატენციური პერიოდი მნიშვნელოვნად მცირეა საკონტროლო ნეირონის შესძამის საშუალო ლატენციურ პერიოდთან შერდაგბით. დასხივებული ნეირონისათვის TEM Cell-ზე ექსპოზიციის ხანგრძლივობა შეადგენს 60 წუთს. შესავალი სიმძლავრე 5 გატია. SAR 5,1 გატი/გზ. ტემპერატურის ნაზრით შეადგენს 5°C.

შედეგი 1800 მგპც სიხშირის უწყვეტი ელექტრომაგნიტური ველის ნეირონის უჯრედშიგა სტიმულაციაზე მიჩვევის პროცესზე გავლენის შესახებ:

შესავალი სიმძლავრის 0,125 გატი მნიშვნელობისას ცალკეულ ნეირონის მიერ შთანთქმული ენერგიისათვის შთანთქმის კუთრი თანრიგი - SAR 1 გატი/გზ-მდება. ასეთი ელექტრომაგნიტური ველის ზემოქმედება არ იწვევს ნეირონის მიჩვევის დინამიკის მნიშვნელოვან შეცვლას საკონტროლო ნეირონებთან შედარებით. ორივე შემთხვევაში თოთქმის ტოლია მიჩვევისათვის საჭირო დრო.

შესავალი სიმძლავრის 5 გატის პირობებში შთანთქნის კუთრი თანრიგი- SAR მნიშვნელობა 5 გატი/გზ ფარგლებშია. ნეირონის მიერ სიმძლავრის შთანთქმის პროცესი თერმულია, რადგან ტემპერატურის ნაზრდი მნიშვნელოვანია და 5°C ფარგლებშია. ასეთი დასხივება ცვლის ნეირონის მიერ სტიმულზე რეაქციის დინამიკას და თრგუნავს ნეირონის მიჩვევის უნარს.

1800 მგპც სიხშირის უწყვეტი ელექტრომაგნიტური ტალღის ნეირონის სინაფსურ ხტიმულაციაზე მიჩვევის პროცესზე გავლენა.

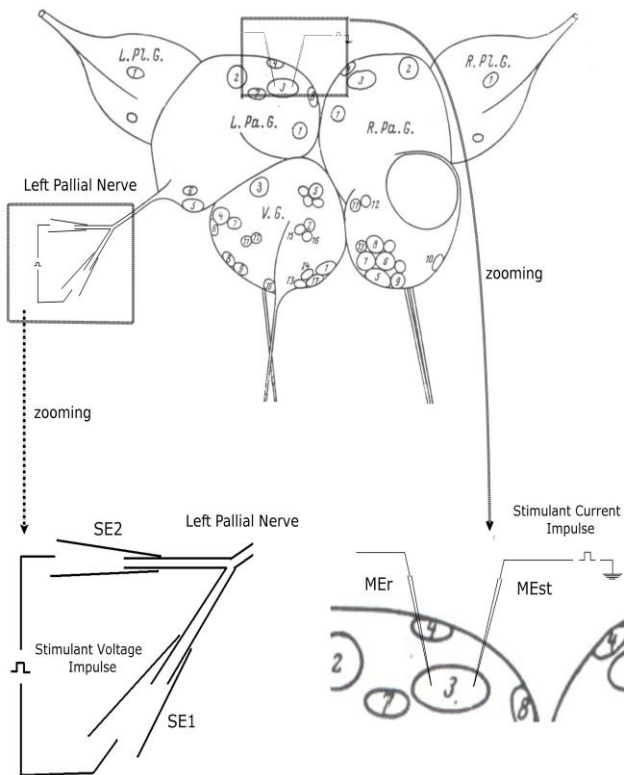
ადამიანისა თუ ცხოველის ტვინში ნეირონები ურთიორთქმედებენ ერთმანეთთან და გადაცემენ ინფორმაციას სინაფსური კავშირების საშუალებით. თუ განვიხილავთ ორი ნეირონისაგან შემდგარ სისტემას, რომლებიც სინაფსური კავშირითაა დაკავშირებული, ვნახავთ, რომ თითეული მათგანის ცალკე ცალკე აღგზნების პირობებში აღგზნება გადაეცემა მხოლოდ ერთი ნეირონიდან მეორეს, მაშინ როცა პირუკუ აღგზნებას ადგილი არ აქვს. პურუკუ აღგზნება შეიძლება განხორციელდეს მხოლოდ იმ

შემთხვევაში როდესაც არსებობს მეორე სინაფსიც, ოდონდ მიმართული მეორე ნეირონიდან პირველისაკენ. ამრიგად, ერთი ნეირონიდან აღგზნება რომ გადაეცეს მეორე ნეირონს საჭიროა ეს აღგზნება აღიძრას ჯერ პირველ ნეირონში. ეს გამოიწვევს ქმედების პოტენციალების სერიის გაჩენას პირველ ნეირონში. როდესაც ეს პოტენციალები მიაღწევებს სინაფსეს, ისინი გამოიწვევენ სინაფსურ ჭრილში ნეირო- მედიატორის გამოყოფას. ნეირო მედიატორი თავის მხრივ იწვევს მომდევნო ნეირონის მებრანის (ე.წ. პოსტსინაფსური მებრანის) დეპოლარიზაციას და ზღურბლის მიღწევის შემთხვევაში ქმედების პოტენციალის(ების) განერაციას. შემავალ იმპულსთა ქარგაში ჩაწერილია პრესინაფსური ნეირონიდან მომდინარე ინფორმაცია.

ცოცხალი არსებები ცხოვრობენ განუწყვეტლივ ცვალებად გარემოში. მათ უწევთ ამ ცვლილებებთან შეგუება. ევლოუციის პირობებში ის ორგანიზმები, რომლებსაც გამოუმუშავდათ შეგუების უნარი გადარჩენენ, ხოლო ამ უნარის არა მქონენი გადაშენდნენ. ნერვული სისტემის მქონე ცხოველებში შეგუებადობას განაპირობებს მათი ნერვული სიტემა და ტვინი. ტვინის აქტივობა ხასიათდება დასწავლის უნარით. ინფორმაციის დასწავლა ანუ შენახვა მნიშვნელოვანწილადაა დაკავშირებული ტვინში მიმდინარე პლასტიურ გარდაქმნებთან. პლასტიურობა გვხვდება სხვადასხვა დონეზე დაწყებული მოელი ტვინიდან და დამთავრებული ცალკეული ნეირონით თუ ამ ნეირონის ქვე დონეებით. პლასტიური ცვლილებები მოიცვავენ ორ ასპექტს, ერთია მიწოდებული სტიმულის განმეორების პირობებში რეაქციის გაძლიერება ანუ ფასილიტაცია, ხოლო მეორე პირიქით- მიწოდებული სიგნალების გამეორების პირობებში რეაქციის შესუსტება და ჩაქრობა ანუ ჰაბიტუაციას ასევე მოიხსენებენ ეწ. ნეგატიური დასწავლის სახელითაც. იმის გამო რომ ნეირონიდან ნეირონში ინფორმაცია გადაეცემა სინაფსური კავშირების საშუალებით ჰაბიტუაციის მიხეზი სინაფსებში უნდა ვეძებოთ. სინაფსური ჰაბიტუაციას ორი გამოვლინება აქვს – პრესინაფსური და პოსტსინაფსური. პრესინაფსური გამოვლინებისას ადგილი აქვს შემდეგ პირობებს: სტიმულის განმეორების პირობებში ხდება გადამცემ ნეირო- მედიატორის სულ უფრო მეტად გამოყოფა. თუ სტიმულაცია დიდხანს გრძელდება მოხდება მედიატორის გამოლევა. ამის გამო შემომავალი ქმედების პოტენციალებია აღარ არიან ეფექტური, რათა გამოიწვიონ მედიატორის გამოყოფა და მაშასადამე მომდევნო ნეირონია აღგზნება. გაცილებით რთული მექანიზმები უდევს საფუძვლად პოსტსინაფსურ ჰაბიტუაციას. რადგან ამ შემთხვევაში ხდება პოსტსინაფსური მებრანის დესტრინაცია, რის გამოც შემომავალი აღგზნება აღარაა საკმარისი რათა აღაგზნოს ნეირონი და გამოიწვიოს ქმედების პოტენციალთა გენერირება.

დასახული ამოცანის გადასაწყვეტად შემდეგი მეთოდიკა იქნა შემუშავებული:
თავდაპირველად ხდება ცხოველის ტვინისა (ნერვული განგლიების) და მისი მკვებავი აფერენტული ნერვების ამოკვეთა. ეს იზოლირებული განგლიები თავსდებოდა რინგერის სხარში, რომლის შემადგენლობაა: NaCl 80 მოლ ; KCl 4მოლ ; CaCl_2 7მოლ ; MgCl_2 5მოლ ; Tris-HCl buffer 5მოლ ; $\text{pH}=7.5$. საკვლევად აღებულ იქნა იდენტიფიცირებადი გიგანტური ნეირონები. მათი ელექტროფიზიოლოგიური და ბიოფიზიკური პარამეტრები განმეორებადი არიან ცხოველიდან ცხოველში. ეს საშუალებას გვაძლევს შევაღებით საიმედო სტატისტიკური სურათი დასახული ამოცანის გადასაჭრელად. ნეირონების სინაფსური გზით სტიმულაციისათვის შევიმუშავებულ იქნა შემდეგი სახის მეთოდიკა: გახდებო რომელიმე აფერენტული ნერვის სტიმულაციას დაბინის იმპულსებით. მიწოდებული სტიმულაცია სინაფსური გზით გადაეცემა საკვლევ ნეირონს. ნეირონის სტიმულზე რეაქციების შესასწავლად შერჩეულ საკვლევ ნეირონში თავსდება მიკროელექტროდი.

ექსპერიმენტის სქემა მოცემულია სურ. 19-ზე ქვემოთ.



სურ. 19 განგლიების სქემატური გამოსახვა. იდენტიფიცირებული გიგანტური ნეირონები აღნიშვლია ციფრებით. პირველი გაფართოება სქემატურად გვიჩვენებს ნეირონის უჯრეშიგა რეგისტრაციისა და სტიმულაციის სქემას, მეორე გაფართოება სქემატურად გვიჩვენებს ნერვის სტიმულაციას შემწოდების საშუალებით.

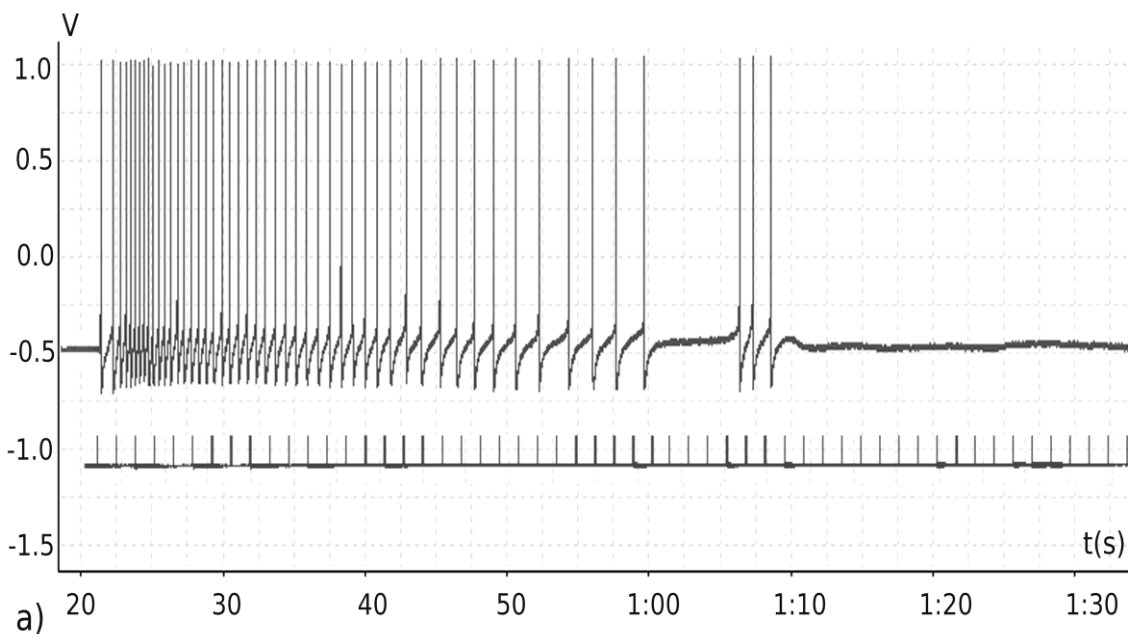
თუ განგლიების აფერენტული ნერვები, რომელსაც უნდა მიეწოდოს სტიმულაცია, არ იქნება სითხეში (მარილ სსნარში) მოთავსებული, მაშინ ისინი ძალიან სწრაფად გამოშრებიან და დაკარგავენ სიციცხლის უნარიანობას. მეორეს მხრივ, თუ კი სითხეში მოთავსებულ ნერვს დავაკონტაქტებთ გამტართან ძაბვის იმპულსების მოსადებად და მოვდებთ ძაბვას აღზნების ეფექტს ვერ მივიღებთ. ამის მიზეზი კი ისაა, რომ ნერვები მარილსსნარით დაშუნტული აღმოჩნდება, რომლის წინაღობა გაცილებით ნაკლებია ნერვის წინაღობასთან შედარებით. გაზომვებმა გვაჩვენეს, რომ ნერვის წინაღობა რამდენიმე ასეული კილომეტრის რიგისაა, მაშინ როცა მარილსსნარის წინაღობა არ აღმატება ომის მეათედ ნაწილებს. ამ წინააღმდეგობის გადასალახავად შევიმუშავეთ შემწოვი ელექტროდების სიტემა, რომლის არსი შემდეგია: ვიღებთ მინის კაბილარს, რისგანაც ჯერ მზადდება მიკროეკლექტროდი, შემდეგ ხდება წვერის წაკვეთი ისე, რომ მასში ნერვის შეწოვისას ნერვმა სრულად შეავსოს ელექტროდის მთელი სივრცე. ასეთ შემთხვევაში ელექტროდის შიგ მოთავსებილ სსნარსა და რინგერის სსნარს შორის ელექტრული კონტაქტი მხოლოდ ნერვის საშუალებით განხორციელდება.

დასახული ამოცანის გადასაჭრელად უაღრესად დიდი მნიშვნელობა აქვს ექსპრიმენტის ზუსტ განმეორებადობას, რათა დადგინდეს შესაძლო განსხვავება საკონტროლო ნეირონების რეაქციებისა და ელექტრომაგნიტური გელის მიმართ ექსპოზირებულ ნეირონებს შორის. ამისათვის სტიმულაციის პირობები ზუსტად განსაზღვრული და

განმეორებადი უნდა იყოს. შემჩნეულ იქნა, რომ მარცხენა პალიალური ნერვი კუნთთან ინერვაციის მიდამოში იყოფა ორ ნაწილად. გამომდინარე აქვდან სტიმულაციისათვის ვიღებთ ორ შემწოვ ელექტროდს, რომლებშიც შეიწოვება მარცხენა პალიალური განგლიის ეს ორი განშტოება. ექსპერიმენტის იდენტიფიცირებადობისათვის რჩება მხოლოდ ამ ნერვების მასტიმულირებელ სიგნალთა იდენტიფიციურობა. ამის გადასაწყვეტად ვიყენებთ ჩვენს მიერ კოსტრუირებულ სტიმულატორს. სტიმულატორი იძლევა საშუალებას მივიღოთ სხვადასხვა სიხშირით ძაბვის იმპულები. ძაბვის იმპულსების ხანგრძლივობა და ამპლიტუდა რეგულირებადია სურვილისამებრ.

სინაფსური გზით ნეირონის აღსაგზნებად შემწოვ ელექტროდებს მიეწოდება ძაბვის იმპულსები. იმპულსების სერიაში თითეული იმპულსის ხანგრძლივობა 50 მილიწამის ტოლია. მათი მიმდევრობის სიხშირე 1,0 ჰერცით განისაზღვრა. სტიმულაციას ვიწყებთ ყოველთვის მინიმალური მნიშვნელობიდან- 0,1 ვოლტიდან. ასეთი ამპლიტუდის სტიმული ზღურბლოვანია. შემდეგ ხდება ამპლიტუდის თანდათან მომატება, ვიდრე რეაქციებში არ გამოჩნდება ქმედების პოტენციალები.

სურათ 20-ზე მოცემულია ტიპიური სურათი მარცხენა პარიეტალური განგლიის №3 იდენტიფიცირებადი ნეირონის რეაქციებისა მარცხენა პალიალურ განგლიაზე სტიმულის მიწოდების პირობებში (საკონტროლო ნეირონი). სტიმულის ამპლიტუდა ზღურბლს აღემატება და შეადგენს 0,5 V.



სურ 20. ოსცილოგრამაზე ვხედავთ ნეირონის რეაქციებს ქმედების იმპულსების გენერირების სახით ნერვზე მასტიმულირებელ ძაბვის იმპულსების მოდების გამო.

ძაბვის იმპულსების მიმდევრობა მოცემულია ოსცილოგრამის ქვეშ. ამ მასტიმულირებელ იმპულსთა ამპლიტუდა შეადგენს 0,5 ვოლტს. მიმდევრობის სიხშირე 1 ჰერცია. თითეული მათვანის სიგანე 50 მილიწამის ტოლია. აშკარაა, რომ თავდაპირველ თითეული მასტიმულირებელი იმპულსი იწვევს ნეირონის მიერ რამოდენიმე ქმედების პოტენციალის გენერირებას. მასტიმულირებელ იმპულსთა განმეორების კვალობაზე გენერირებულ იმპულსთა სიხშირე კლებულობს და

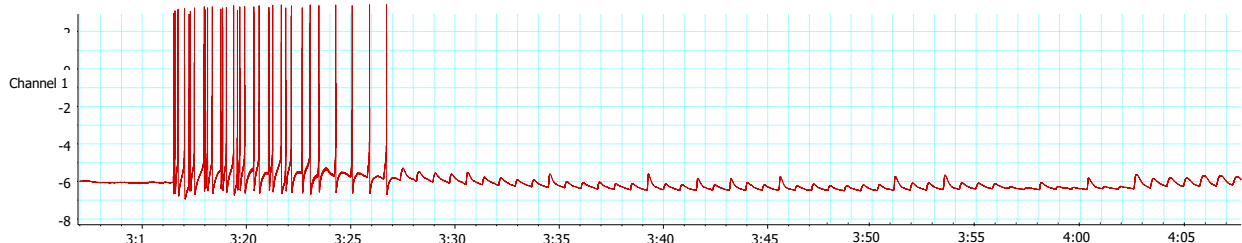
უტოლდება სტიმულის სიხშირე. პაბიტუაციის დაგდომის შემდეგ ნეირონი უასეულოდ ტოვებს სტიმულს.

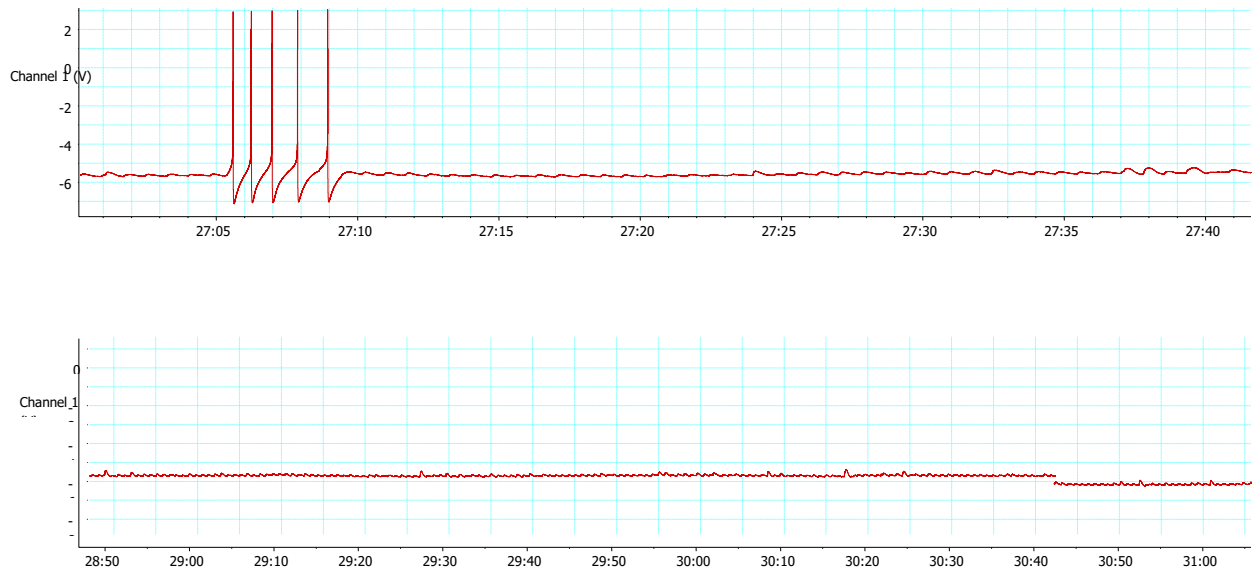
ამრიგად, როგორც ვხედავთ, სტიმულის მიწოდებაზე, რომელიც წარმოადგენს აბგვის მულტილის ერთობლიობას, ნეირონი პასუხობს ქმედების პოტენციალების ჯგუფით თითეულ მასტიმულირებელ იპულსზე. ეს რეაქციები თანდათან სუსტება და ბოლოს მყარდება სრული მიჩვევა, რაც იმაში გამოიხატება, რომ მთლიანად წყდება ნეირონის მიერ ქმედების პოტენციალებია გენერირება სტიმულზე რეაქციის სახით. პაბიტუაციის ეს მოვლენა შეიძება განვიხილოთ როგორც ნეირონის მიერ ინფორმაციის გადამუშავება და შენახვა. მოცემული სტიმულის სერია ნეირონისათვის გახდა „ცნობადი”, მან დააგროვა ინფორმაცია და შეწყვიტა ამ სტიმულზე რეაგირება როგორც გადამუშავებულ ინფორმაციაზე. სრული პაბიტუაციის დადგომის შემდეგ სტიმულაციას ვწყვეტო. ამ შეწყვეტიდან 20-30 წუთის ინტერვალში სტიმულაციის ხელახალი მიწოდება ნეირონში არ აღძრავს რეაგირებას ამ სტიმულზე ქმედების პოტენციალებით, რაც იმის მომასწავებელია რომ ნეირონს “ახსოვს” მიწოდებული ინფორმაცია.

თუ სტიმულაციას გავიმეორებთ 30 წუთის შემდეგ ნეირონის რეაქციები ამ სტიმულზე ქმედების პოტენციალების გენერაციის სახით ისევ აღსდგება, ოდონდ რეაქციები ოდნავ შესუსტებილია პირვანდელ რეაქციებთან შედარებით. შემდგომი 30 წუთის დასვენება საშუალებას იძლევა სურათის ადსადგენად, ოდონდ რეაქცია კიდევ უფრო შესუსტებულია. თუ ასეთ სტიმულაციას გავიმეორებთ მრავალჯერ, ნეირონი აღარ რეაგირებს მოცემულ სტიმულზე და შეიძლება ითქვას, რომ ნეირონმა სრულად მოახდინა ინფორმაციის შენახვა. ამრიგად ნეირონი საშუალოდ ინფორმაციას ინახავს მოკლევადიანი მეხსიერების სახით 30 წუთამდე დროის ინტერვალში.

დასხივებულ ნეირონთა გამოკვლევა

სურ 21 ზე ვხედავთ ტიპიურ სურათს დასხივებული ნეირონის (მარცხნა პარიეტალური განგლიოდან) სტიმულზე მიჩვევის დინამიკისა TEM Cell-ში დასხივების შემდეგ. შემავალი ტალღის სიმძლავრე ტოლია 0,125 ვატისა. ნეირონის მიერ შთნოქმული სიმძლავრე უდრის 0,72 ვატი/კგ. ნეირონის მგრძნობელობა დაუსხივებელ ნეირონთან შედარებით გაიზარდა და იგი რეაგირებს 0,5 V ამპლიტუდის სტიმულზე უფრო მეტად ვიდრე საკონტროლო ნეირონები. 30 წუთიანი ინტერვალით დასვენების შემდეგ სტიმულაციის სერიების განმეორებამ გამოიწვია ქმედების პოტენციალების რეაქციების აღდგენა, თუმცა უნდა აღინიშნოს, რომ ყოველი განმეორებული სერიის შემდეგ რეაქციათა ინტენსივობა კლებულობს და მიჩვევა სწრაფად ვითადრება.

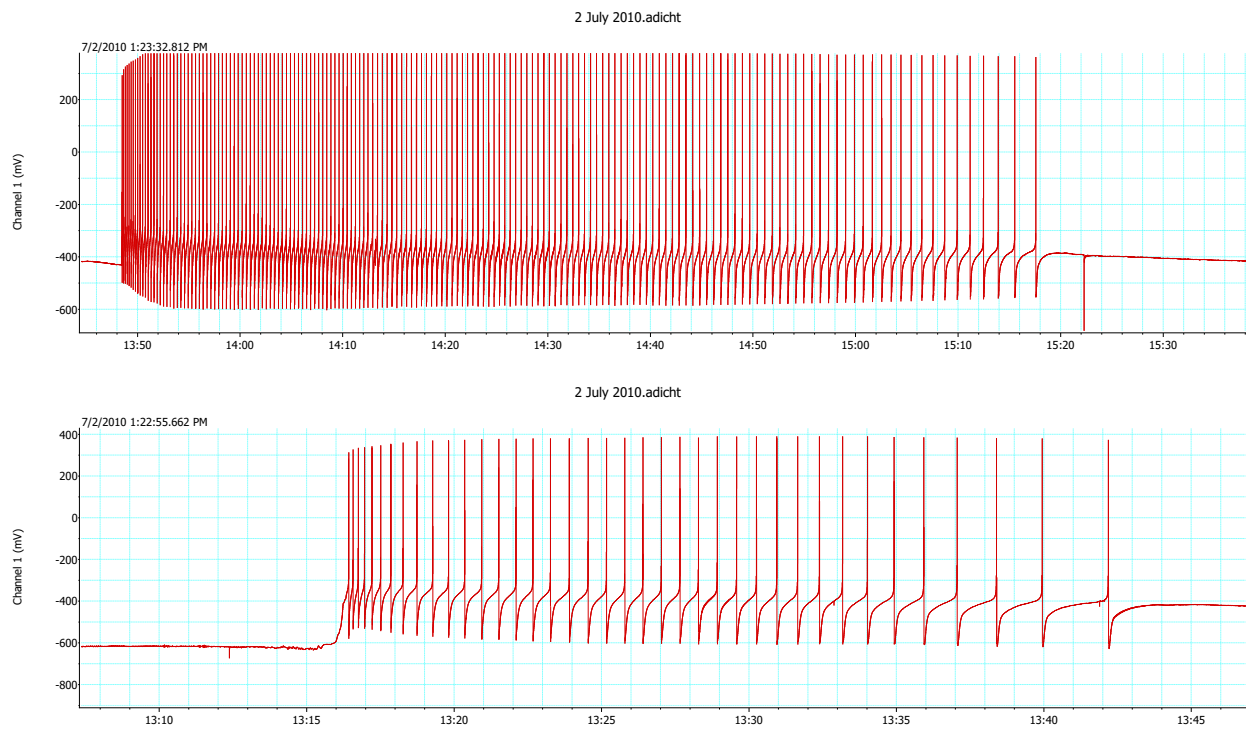




სურ 21. პირველ თხოვილოვრამაზე ვხედავთ ნეირონის რეაქციებს ნერვის სტიმულაციაზე 0,4 V ამპლიტუდის ძრონე სტიმულებით. სრული პაბიტუაციის დაგდგომის შემდეგ ვხედავთ მხოლოდ აღმგ ზნებ პოსტსინაფსურ პოტენციალებს, რაც შეეხდა ქმედების პოტენციალებს ისინი სრულად დაითრგუნებ. მეორე თხოვილოვრამაზე ნაჩვენებია იგივე ნეირონის რეაქციები იმავე სტიმულზე დასევენებიდან 30 წუთის შემდეგ. ვხედავთ რომ რეაციები აღსდგა ქმედების იმპულსთა სახით, ოღონდ უფრო ნაკლები ინტენსივობით. მესამე თხოვილოვრამაზე ვხედავთ ამავე ნეირონის რეაქციას ძერ- სტიმულაცის სერიაზე. ქმედების პოტენციალები სრულად დაითრგუნდება.

ნეირონების რეაქციების ხანგრძლივობა დამოკიდებულია შესავალ სიმძლავრეზე. ექსპერიმენტებმა ცხადყვეს, რომ შესავალი სიმძლავრის 5 ვატამდე გაზრდამ გამოიწვია რეაქციების ხანგრძლივობის მნიშვნელოვანი ზრდა, და შესაბამისად გაიზარდა სრული პაბიტუაციისათვის საჭირო დროც. სერიების განმეორება 30 წუთიანი დასვენების შემდეგ აღადგენს რეაქციებს სტიმულზე. ოუმცა, აღსანიშნავია, რომ ეს რეაქციები უფრო მეტი ინტენსივობისაა ვიდრე 0,125 ვატი სიმძლავრის მიმართ ექსპოზიციის დროს, და ცხადია საკონტროლო ნეირონების შემთხვევასთანაც.

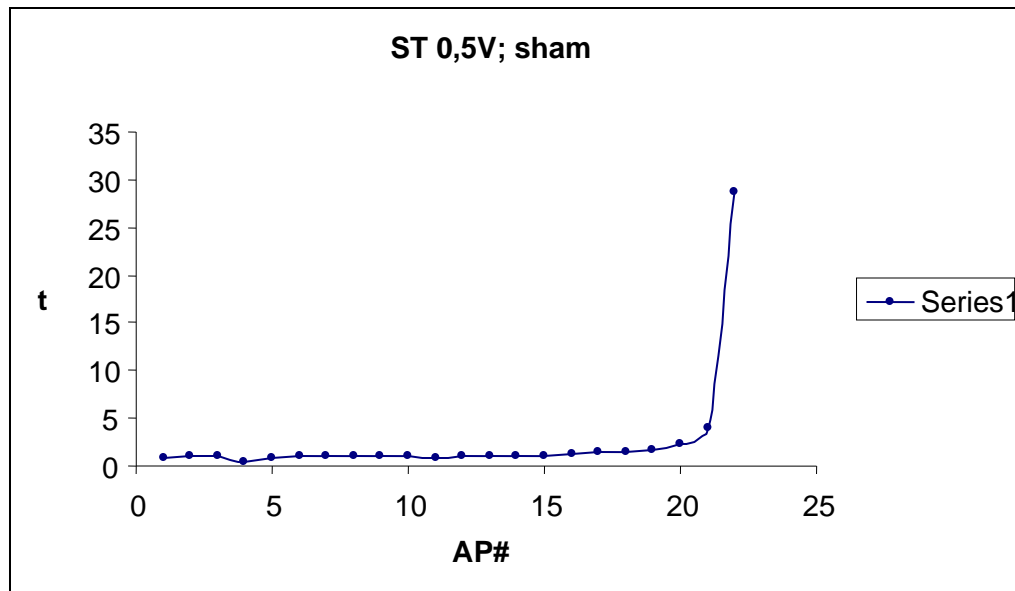
სურ. 22ზე მოცემულია 5 ვატის სიმძლავრის ელერქტრომაგნიტურ ვალში ნეირონის 60 წუთიანი ექსპოზიციის ტიპიური შედეგი:



სურ 22. პირველ ოსცილოგრამაზე ნაჩვენებია LPG #3 იდენტიფიცირებული ნეირონის რეაქციები ქმედების პოტენციალების სახით მარცხენა პალაილურ ნერვზე 0,5 V ამპლიტუდებს ქონება ძაღვის იმპულსებით ხტიმულაციის პირობებში. სრული პაბიუაცია დამყარდა 1 წუთსა და 31 წამში.

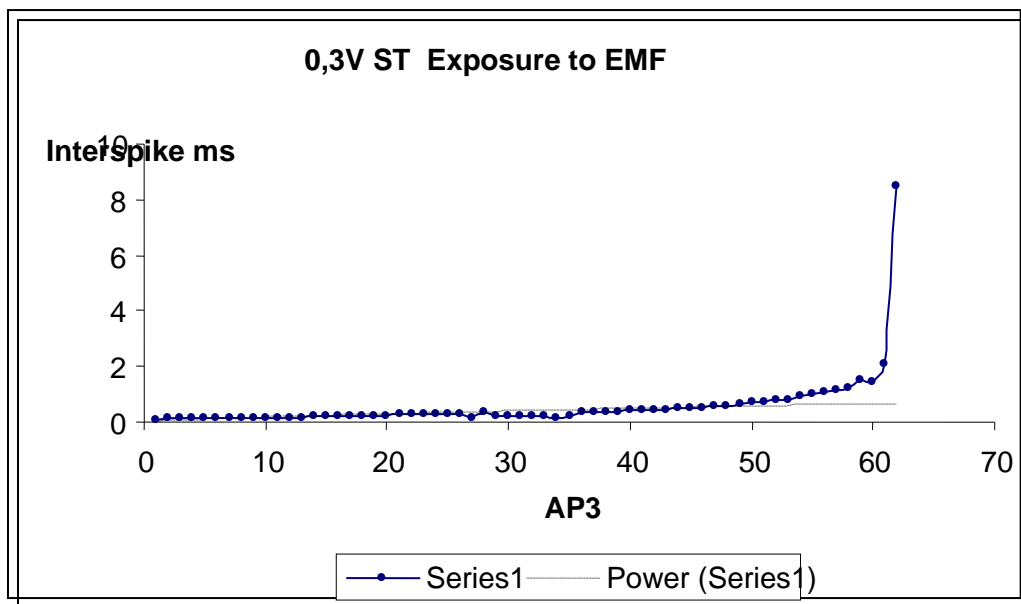
მეორე ოსცილოგრამაზე ნაჩვენებია ნეირონის რეაქციები იგივე ხტიმულის მიმართ 30 წუთიანი დასკვენების შემდეგ. სრული პაბიუაციის დამყარებას 27 წამი დასჭირდა.

პაბიუაციის რაოდენობრივად გამოსახვისათვის შევიმუშავეთ შემდეგი სახის ფუნქცია: აბსცისათა დერძზე გადაზომილია ქმედების პოტენციალის ნომერი რეაქციაში, ხოლო ორდინატთა დერძზე კი იმპულსთა შორის დროის ინტერვალი წამებში. მე-23 და მე-24 სურათებზე მოცემულია ეს ფუნქციები საკონტროლო და დასხივებულ ნეირონებისათვის. აშკარაა პაბიუაციისათვის საჭირო დროის გახანგრძლივება, გენერირებულ ქმედების პოტენციალთა რიცხვის ზრდა და იმპულსთა შორის ინტერვალის შემცირება.



ხერ. 23 რეაქციის ფუნქცია საკონტროლო ნეირონისათვის. X დერძხე გადაზომილია ქმედების იმპულსის ნომერი,

Y დერძხე გადაზომილია იმპულსობრივის დროის ინტენსივურობის მიღწევის განახლები.



ხურ. 24 რეაქციის ფუნქცია დახმივებული ნეირონისათვის. TEM Cell-ში ექსპოზიციის დრო 60 წუთია. შესავალი სიმძლავრე შეადგენს 5 გატბ. SAR=5,7 გატ/კგ.

X დერძხე გადაზომილია ქმედების იმპულსის ხომერი,

Y დერძხე გადაზომილია იმპულსთა შორის დროის ინტერვალი მიღიამჯებ ში.

შედეგი 1800 მგჰც სიხშირის უწყვეტი ელექტრომაგნიტური ტალღის ნეირონის სინაფსურ სტიმულაციაზე მიჩვევის პროცესზე გავლენაზე

მობილური ტელეფონის ელექტრომაგნიტურ ველში ნეირონის მოთავსება იწვევს ნეირონის აღზნებადობის გაზრდას, მცირდება სინაფსური სტიმულის მიერ გამოწვეული ქმედების პოტენციალთა შორის დროის ინტერვალი, ხანგრძლივდება ამავე სტიმულის მიმართ რეაქციის დრო და გენერირებულ ქმედების პოტენციალთა რაოდენობა. იცვლება ნეირონის ფუნქციური მახასიათებლები: სუსტდება ჰაბიტუაციის უნარი და ფართოვდება ინფორმაციის შენახვისათვის საჭირო დრო.

I-20 პერცი დაბალი სიხსშირებით იმულსურად მოდულირებული ელექტრომაგნიტური ველის (გადამტანი სიხსშირე 1800 მეგაჰერცი) ნეირონის უჯრედშიგა სტიმულაციის მიმართ მიჩვევის პროცესზე გავლენა.

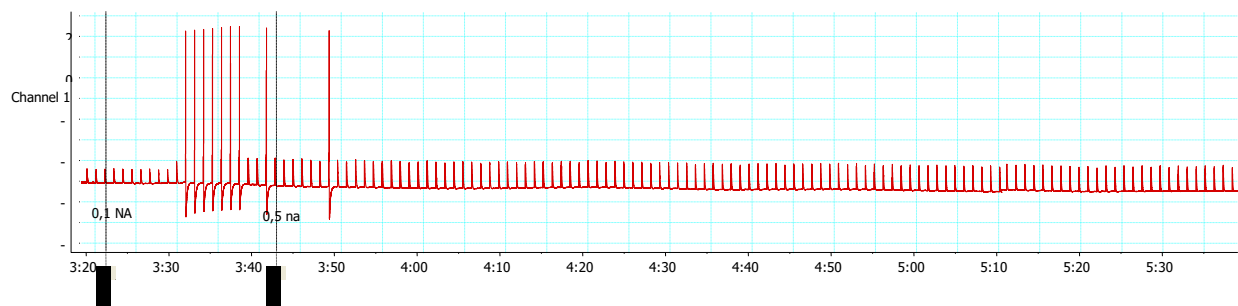
თანამედროვე მობილურ კავშირგაბმულობაში ადგილი აქვს ძირითადი გადამტანი სიხსშირის იმპულსურად ანუ მართკუთხა მოდულაციას. GSM სისტემაში გადამტანი სიხსშირის ელექტრომაგნიტური ტალღა სხივდება 4,6 მილიმეტრის განმავლობაში. ე.ი. გვაქვს ამ ხანგრძლივობის მართკუთხა პაკეტები, რომლებიც შევსებულია გადამტანი სიხსშირის მქონე ელექტრომაგნიტური ტალღით. დროის ინტრვალი პაკეტის თითეულ იმპულსს შორის არის 0,546 მილიმეტრი. ამ დროის განმავლობაში ველი არ სხივდება. ასეთი ორგანიზების შედეგად გვაქვს 217 პერცი დაბალი სიხსშირე. ყოველი 120 მილიმეტრის გავლის შემდეგ პაკეტის მიმდინარეობა წყდება 8,7 მილიმეტრის განმავლობაში. ასეთი წყვეტა განაპირობებს 8,3 პერცი დაბალსიშირული კომპონენტის შემოტანას საერთო სურათში. ამრიგად იკვეთება ორი ძორითადი დაბალსის შირული კომპონენტი: 8,3 პერცი და 217 პერცი. ცხადია, ასევე გვაქვს მაღალსიხსშირული კომპონენტი საშუალოდ 1800 მეგაჰერცი. როგორც უკანასკნელ ხანებში გამოქვეყნებული სამეცნიერო კვლევებიდან გამოირკვა, ნეირონი ახდენს ელექტრომაგნიტური ველის დემოდულაციას. აქედან გამომდინარეობს ის, რომ ნეირონები ზემოქმედებს ელექტრომაგნიტური ველის როგორც მაღალსიხსშირული ასევე დაბალსის შირული კომპონენტები.

ყოველი ექსპრიმენტი მოიცავდა სხვადახვა პრეპარატიდან ორი ნეირონის შესწავლას. ერთერთი მათგანი ექვემდებარებოდა TEM CELL-ში დასხივებას, ხოლო მეორე, გადიოდა ყველა იგივე პროცედურას, TEM CELL -ში 60 წუთს განმავლობაში მოთავსებით, ოდონდ ელექტრომაგნიტური ველის მოდების გარეშე (საკონტროლო ნეირონები). ამასთანავე უნდა აღინიშნოს ისიც, რომ ყველა შემთხვევაში ნეირონის სტიმულაცია ხდებოდა ზღურბლზე ოდნავ მაღალი მნიშვნელობის მქონე სტიმულებით. თითეული პრეპარატი გამოიყენებოდა მხოლოდ ერთხელ, პირველი სტიმულაციის პირობებში.

1 პერცი სიხსშირით მოდულაციის შედეგები:

სურ. 25 -ზე პირველ სტრიქონის ოსცილოგრამაზე (ა) ვხედავთ საკონტროლო ნეირონის უჯრედშიგა სტიმულებზე მიჩვევის სურათს. სტიმულაცია დაწყებულ იქნა 0,1 ნა ამპლიტუდის მქონე უჯერდსშიგა იმპულსებით. როგორც გამოირკვა ასეთი იპულსები ზღურბლსქვედა მნიშვნელობისა იყვნენ, რადგან ვერ გამოიწვიეს ქმედების პოენციალებია აღმოცენება. ამის გამო მოხდა მასტიმულირენბელ იმპულსთა ამპლიტუდის თანდათან გაზრდა, ვიდრე ნეირონმა არ უპასუხა ქმედების პოტენციალებით. ზღურბლსქვედა აღმოჩნდა 0,5 ნა ამპლიტუდის იმპულსები. ნეირონმა ასეთ სტიმულაციას უპასუხა 9 ქმედების პოტენციალით, რის შემდეგაც დამყარდა სტიმულის მიმართ მიჩვევა. მათ ნაცვლად ჩანაწერში ვხედავთ მცირე არტეფაქტებს დეპოლარიზაციული “კბილანების” სახით. ამავე სურათზე მეორე სტრიქონის ოსცილოგრამა (ბ) გვიჩვენებს დასხივებული ნეირონის იგივე ამპლიტუდის მქონე (0,5 ნა) სტიმულზე მიჩვევის დინამიკას.

4 October



δ

4 October 2010.adicht



სურ. 25.

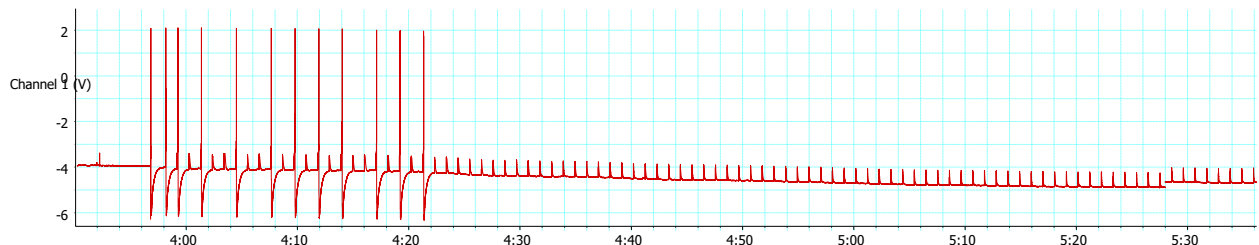
- ა- საკონტროლო ნეირონი
- ბ- დასხივებული ნეირონი. ელექტრომაგნიტური ველის სიხშირე 1800 მეგაჰერცია. ძოდულაციის სიხშირე შეაღვენებს 1 პურცს .

ნეირონმა უპასუხა 29 ქმედების პოტენციალით, რის შემდეგაც დამყარდა სრული პაბიტუაცია (მიჩვევა). ამრიგად თუ საკონტროლო ნეირონს მიჩვევისათვის დაჭირდა 20 წამი, დასხივებულ ნეირონის შემთხვევაში ეს დრო გაიზარდა 80 წამდე. აშკარად, რომ ელექტრომაგნიტურ ველში მოთავსებამ გამოიწვია ნეირონის რეაქციების დროის გაზრდა, ანუ მიჩვევისათვის საჭირო დროის გაზრდა.

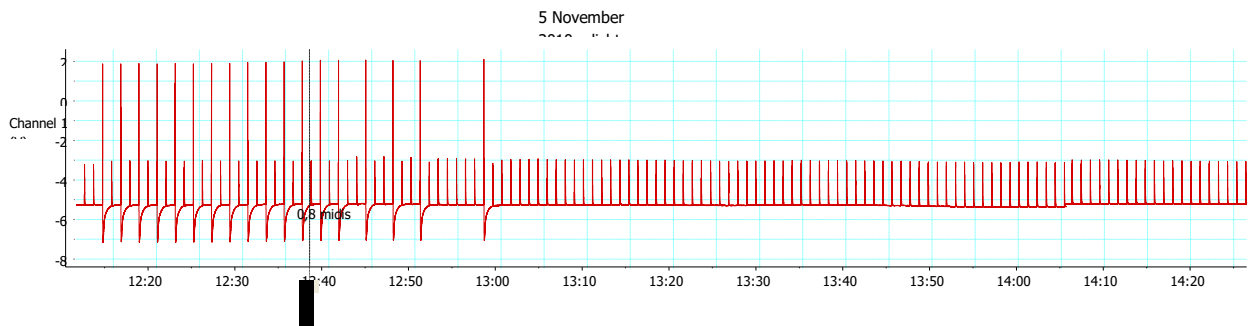
2 პერცით ძოდულობებული 1800 მეგაჰერცი სიხშირის ელექტრომაგნიტური ველის ზემოქმედებით ნირონის სტიმულზე მიჩვევის დინამიკა ნაჩვენების სურათ 26-ზე. ამ სურათზე პირველი სტრიქონი (ა) ისევ გვიჩვენებს საკონტროლო ნეირონის მიჩვევის

დინამიკას. ვხედავთ, რომ ნეირონმა სტიმულს უპასუხა 12 ქმედების პოტენციალით და შემდეგ დადგა სრული პაბიტუაცია. გაზომვა გვიჩვენებს, რომ მიჩვევისათვის ნეირონს დაჭირდა 22 წამი. ეს დაახლოებით იგივეა რას წინა შემთხვევაში იყო საკონტროლო ნეირონისათვის.

5 November 2010.adicht



δ



δ

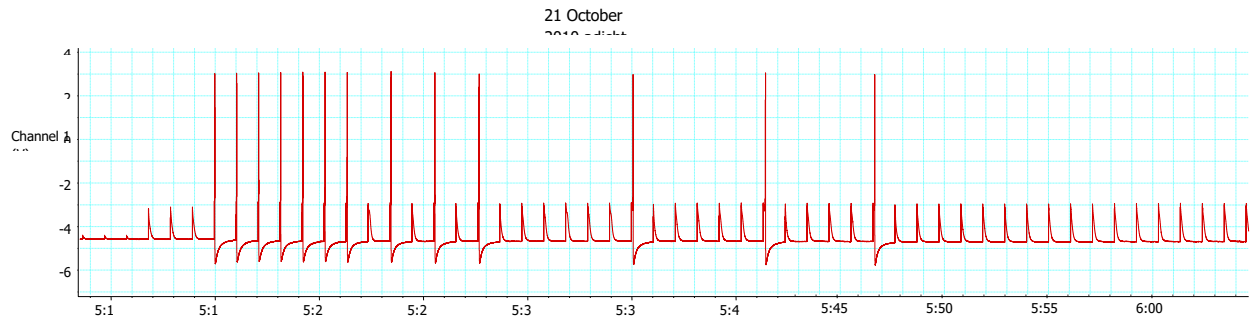
სურ. 26

ა-საკონტროლო ნეირონის მიჩვევა სტიმულზე- 0,8 ნა.

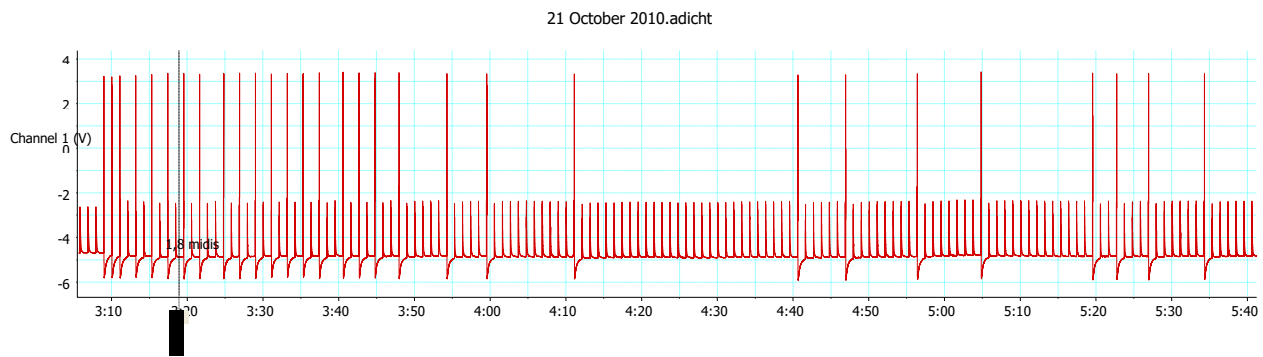
ბ- 2 ჰერცი სიხშირით მოდულირებული ელექტრომაგნიტური ველის გავლენა ნეირონის ხტიმულისმიართ მიჩვევაზე.

როგორც 1 ჰერცი სიხშირით მოდულაციისას, აქაც გამოიკვეთა დასხივების შედეგად ნეირონის პასუხების ზრდა და მიჩვევისათვის საჭირო დროის გაფართოვება.

სურათ 27-ზე ნაჩვენებია ნეირონების მიჩვევის დინამიკა. აქაც, პირველ სტრიქონზე ილუსტრირებულია საკონტროლო ნეირონის რეაქციები უჯრედშიგა სტიმულაციაზე, ხოლო მეორე სტრიქონზე კი ნაჩვენებია 3 ჰერცი სიხშირით მოდულირებულ ელექტრომაგნიტურ ველში ექმოზირებული ნეირონის იგივე სტიმულის მიმართ მიჩვევის დინამიკა. საკონტროლო ნეირონმა (ა) სტიმულებს უპასუხა 13 ქმედების პოტენციალით, რის შემდეგაც დადგა სრული მიჩვევა. რაც შეეხება დასხივებულ ნეირონს (ბ), აქ 22 ქმედების პოტენციალის გენერირების შემდეგ თითქოს ჩამოყალიბდა მიჩვევა, მაგრამ 30 წამის დროითი ინტერვალის შემდეგ ნეირონმა ისევ გააგრძელა პერიოდულად ქმედების პოტენციალების გენერირება, რაც მიჩვევის დარღვევად შეიძლება განვიხილოთ.



δ



δ

b) 27

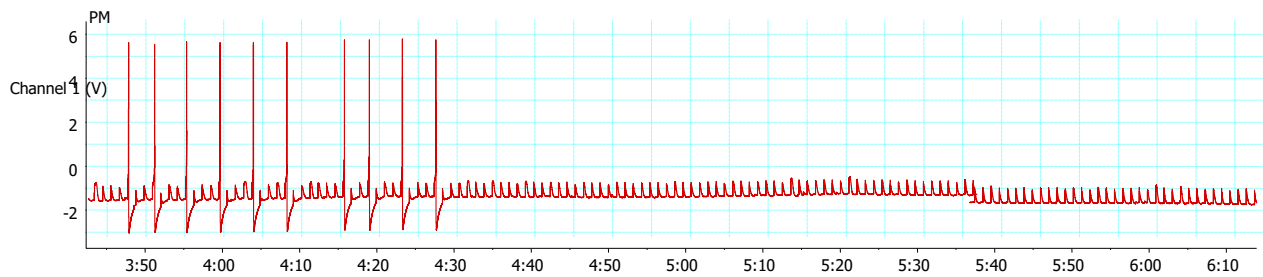
ა - საკონტროლო ნეირონის მიჩვევის დინამიკა 1,2 ნა ამპლიტუდის გარე სტიმულებზე (უკეთესი დენსიტომეტრის მიზნით).

ბ- ნეირონი დახმარდა 3 პერცი მოდულაციის სიხშირის 1800 მეგაჟერცი ელექტრომაგნიტური ველით. მიჩვევა დარღვეულია.

28-ე სურათზე ილუსტრირებულია 1800 მეგაჟერცი ველის 4 პერცი სიხშირით მოდულაციის პირობები. ნეირონი დახმარდა იქნა ასეთი ველით. საკონტროლო ნეირონი (ა) სტიმულს მიეწვია 10 ქმდების პოტენციალის განერირების შემდეგ. თუმცა იმასაც უნდა გაესვას ხაზი, რომ ნეირონი თავიდანვე მიღრეკილი იყო სტიმულების ნაწილის “ამოგდებისაკენ”, გამომდინარე აქედან სრული მიჩვევისათვის დრო თდნავ გაზრდილია.

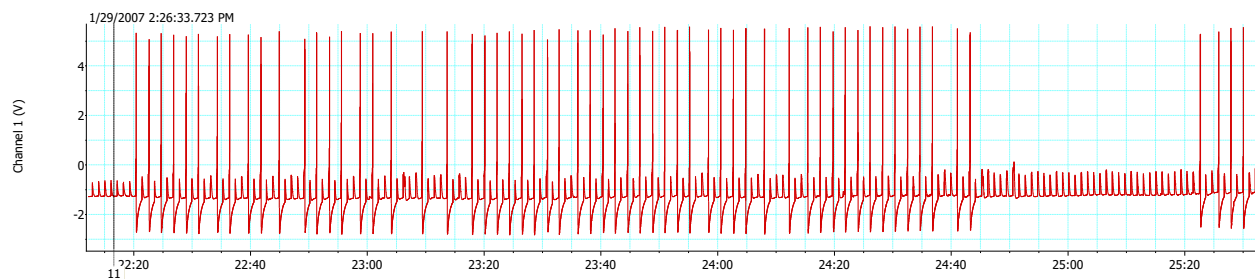
ამ შემთხვევაშიც გამოიკვეთა წინა შემთხვევის მსგავსი სურათი ელექტრომაგნიტური ველის მიმართ ექსპოზიციის პირობებში. რაღაც დროის შემდეგ თითქოს ყალიბდება პატიტუაცია, მაგრამ შემდეგ ნეირონი ისევ აგრძელებს სტიმულებზე ქმედების პოტენციალებით პასუხს (ბ).

7 October 2010.adicht



δ

7 October 2010.adicht



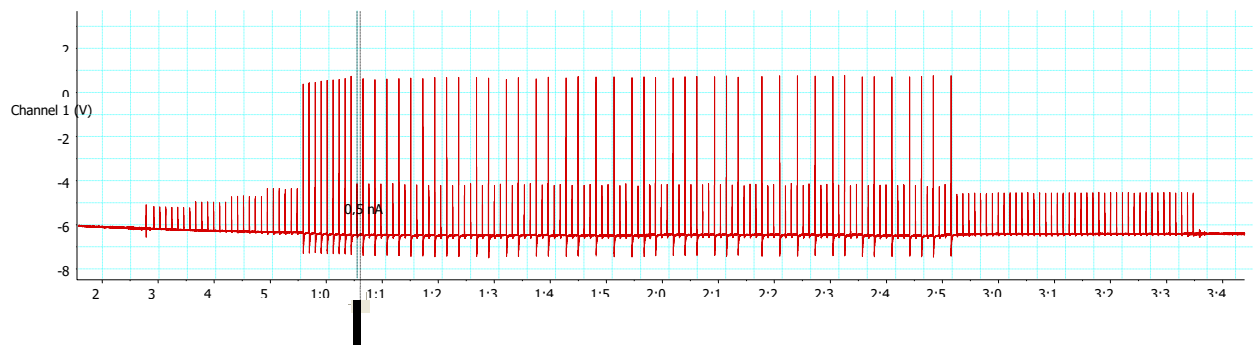
δ

სურ. 28

- ა- საკონტროლო ნეირონის მიჩვევა ხტიმულზე. ხტიმულის ამპლიტუდა 0,5 ნა-ბ შეადგენს.
- ბ- დასხივებული ნეირონის ხტიმულზე რეაქციები.

მოდულაციის სისტირის შემდგომმა ზრდამ და სათანადოდ ნეირონის ექსპოზიციაშ შესაბამის ელექტრომაგნიტური ველის მიმართ აღწერილის მსგავის ეფექტები გამოიწვია. იმის გამო, რომ საკონტროლო ნეირონების სტიმულის მიმართ რეაქციები და სათანადოდ მიჩვევის დინამიკა და მიჩვევის დადგომისათვის საჭირო დროები საშუალოდ ემთხვევა ერთმანეთს, შემდგომ სურათებზე მოტანილ იქნება მხოლოდ დასხივებულ ნეირონების სტიმულის მიმართ რეაქციები. 29- სურათზე ნაჩვენებია ერთერთი იმ ნეირონის მიჩვევის დინამიკა, რომელიც დასხივებულ იქნა 5 პერცი სისტირით მოდულირებულ ელექტრომაგნიტური ველით (გადამტანი სისტირე 1800 მეგაჰერცია).

22 October 2010.adicht



სურ 29. ნეირონის მიჩვევის დინამიკა 0,5 ნა ამპლიტუდის მქონე უჯრედშიგა დენის იმპულსების მიმართ. ნეირონი წინასწარ დასხივებულ იქნა 1800 მგპ სიხშირის ელექტრომაგნიტური ველით 5 ჰერცით მოდულაციის პირობებში.

თავდაპირველი სტიმულის ამპლიტუდა 0,1 ნა-ს ტოლია, რაზეც ქმედების პოტენციალები არ აღმოცენდნენ. ვხედავთ ამ აპლიტუდის ეტაპობრივ ზრდას, და ნეირონის რეაქციებს 0,5 ნა ამპლიტუდის სტიმულის მიმართ. ნეირონის პასუხები გამოიხატა 50 ქმედების პოტენციალის აღმოცენებაში. თავდაპირველად ნეირონმა ზედიზედ უპასუხა 10 სტიმულს. შემდეგ თითო სტიმულის გამოტოვება დაიწყო. შემდეგ ტოვებდა 2-3 იმპულსს. ბოლოს დამყარდა სრული მიჩვევა. სრული მიჩვევის დრომ შეადგინა 1 წუთი და 56 წამი. 5 ჰერცით მოდულაციის პირობებშიც აშკარაა მიჩვევისათვის საჭირო დროის ზრდა კონტროლთან შედარებით.

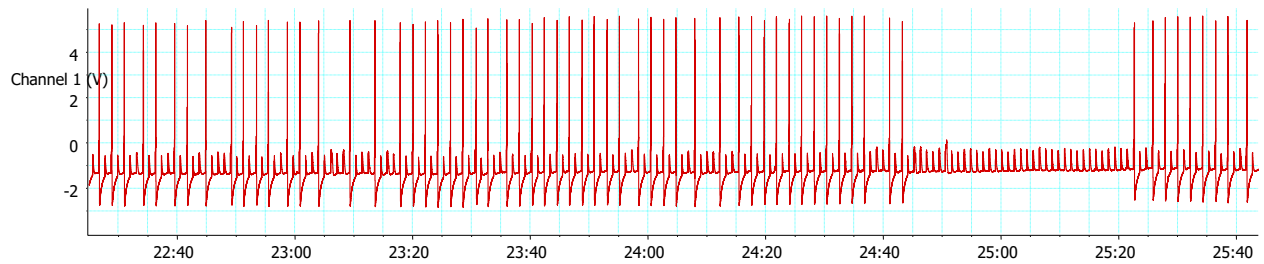
ადსანიშნავია რომ 6-10 ჰერცი სიხშირით მოდულირებულ ელექტრომაგნიტური ველების ნეირონის სტიმულზე რეაქციებისა და შესაბამისად სტიმულის მიმართ მიჩვევის დინამიკებს შორის მნიშვნელოვანი განსხვავება არ აღინიშნებოდა.

სურათ 30-ზე ნაჩვენებია 6-11 ჰერცით მოდულირებულ ველების მიმართ ექსპონირებულ ნეირონთა სტიმულზე რეაქციები და მიჩვევის დინამიკები.

22 Novemeber 2010.adicht

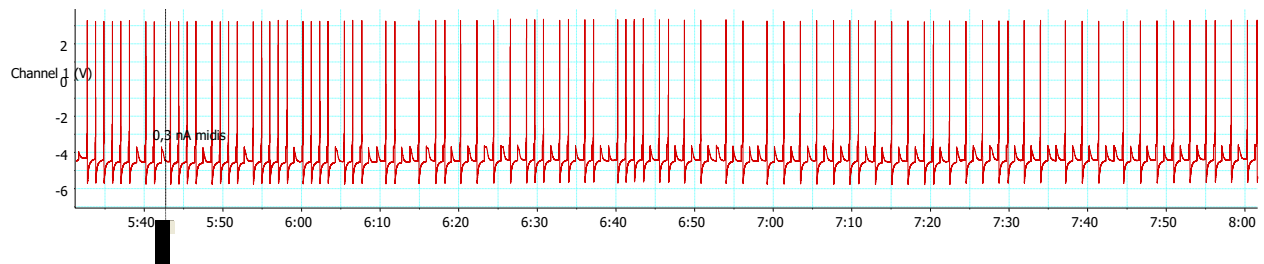


3 dekember 2010.adicht



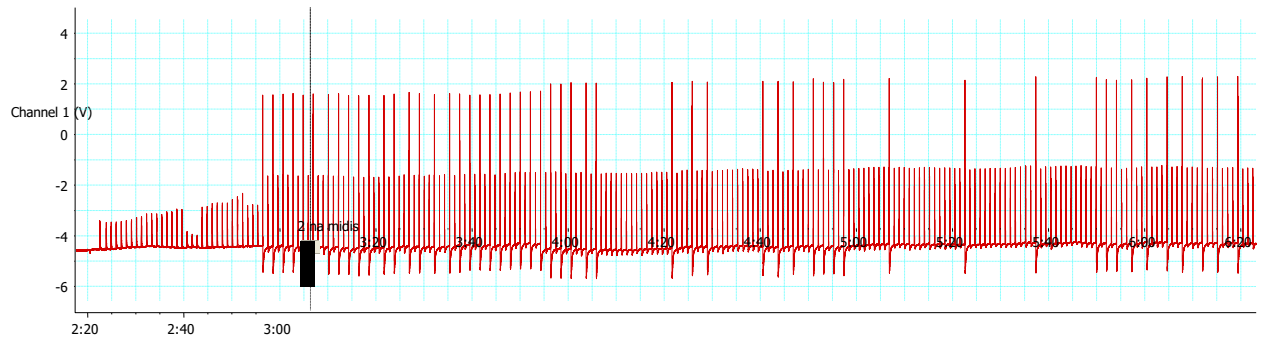
δ

6 December 2010.adicht



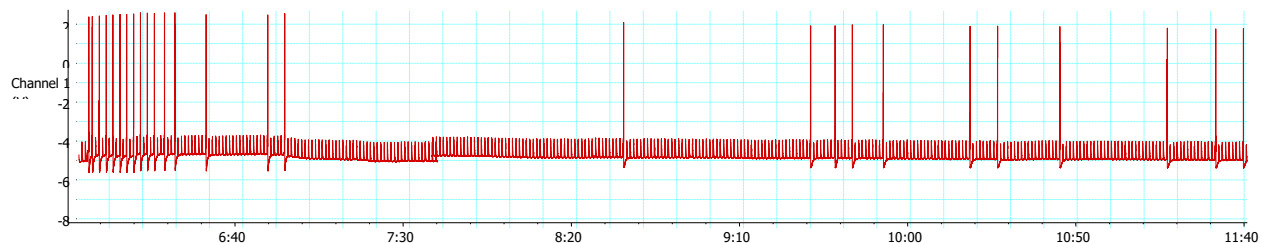
δ

7 Dercember 2010.adicht



⌚

8 December

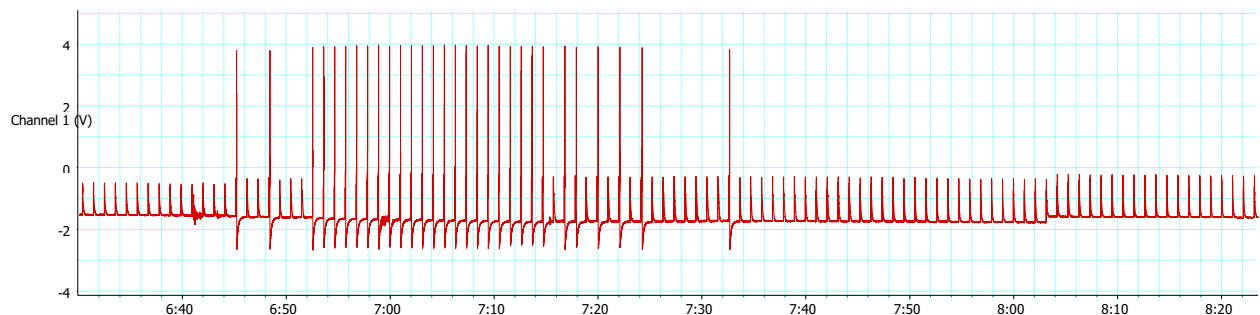


⌚

სურათი 30.

- ა მოდულაციის ხიხშირე 6 პერცია
- ბ მოდულაციის ხიხშირე 7 პერცია
- გ მოდულაციის ხიხშირე 8 პერცია
- დ- მოდულაციის ხიხშირე 9 პერცია
- ე- მოდულაციის ხიხშირე 10 პერცია.

15 Tebervali 2011

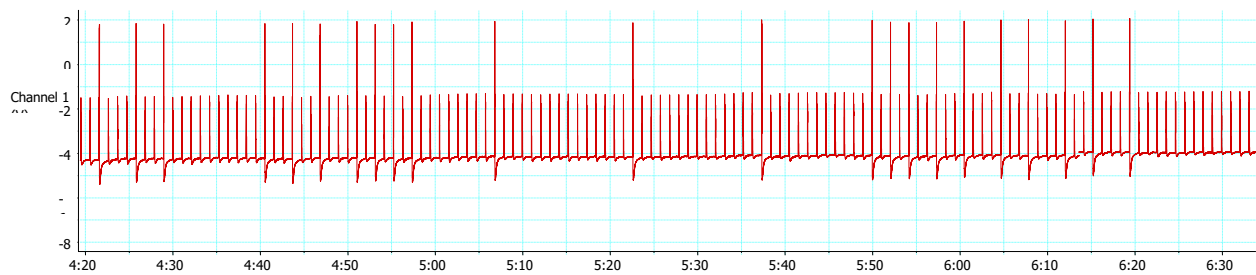


სურათი 31. II პერციის მოდულირება

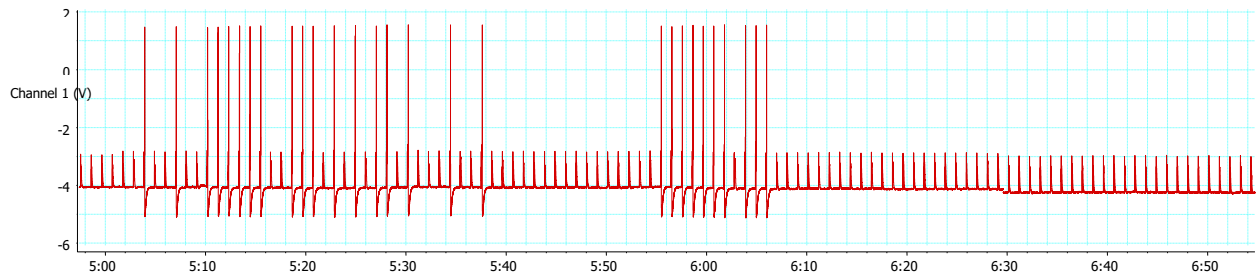
ვხედავთ 11 პერციით მოდულირებული ემვ დასხივებული ნეირონის რეაქციებს სტიმულზე. მასტიმულირებელი იმპულსების ამპლიტუდა შეადგენს 1 ნა.

საკონტროლო ნეირონის შემთხვევაში ნეირონმა სტიმულს უპასუხა 11 ქმედების პოტენციალის გენერირებით, რის შემდეგაც ჩამოყალიბდა პაბიტუაცია. ემვ-ს ზემოქმედების შედეგად ნეირონმა მოახდინა 30 ქმედების პოტენციალის გენერირება, თუმცა პაბიტუაცია მაინც ჩამოყალიბდა. საკონტროლო შემთხვევაში პაბიტუაციის დადგომას დაჭირდა 45 წამი. დასხივებულ ნეირონის შემთხვევაში პაბიტუაციისათვის საჭირო დრო ოდნავ მეტი იყო, ასევე შეინიშნება განსხვავება - ნეირონმა სტიმულებს უპასუხა 30 ქმედების პოტენციალით, რაც თითქმის 3 ჯერ მეტია ვიდრე საკონტროლო შემთხვევაში.

17 February 2011



17 February 2011



სურათი 32.

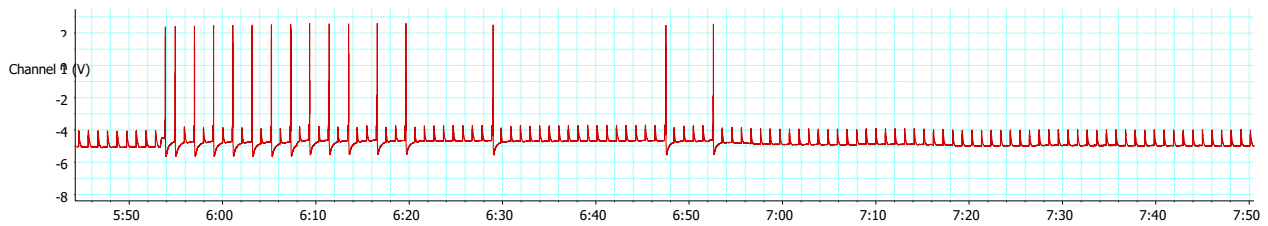
ამ სურათზე ნაჩვენებია საკონტროლო ნეირონისა და 12 ჰერცი სიხშირით მოღულირებულ ემპ-თი დასხივებული ნეირონის რეაქციები უჯრედშიგა იმპულსებით სტიმულაციაზე. საკონტროლო ნეირონს პაბიტუაციისათვის დაჭირდა 110 წამი, სტიმულზე რეაქციის სახით მოახდინა 20 ქმედების პოტენციალის გენერირება.

დასხივებულმა ნეირონმა სტიმულზე რეაქციის სახით მოახდინა 28 ქმედების პოტენციალის გენერირება. სრულ პაბიტუაციას დაჭირდა 167 წამი.

22 February 2011



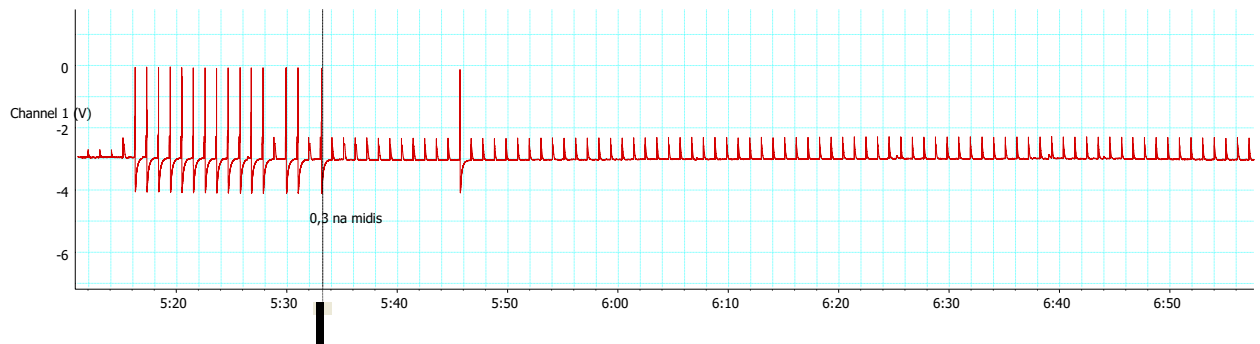
22 February 2011



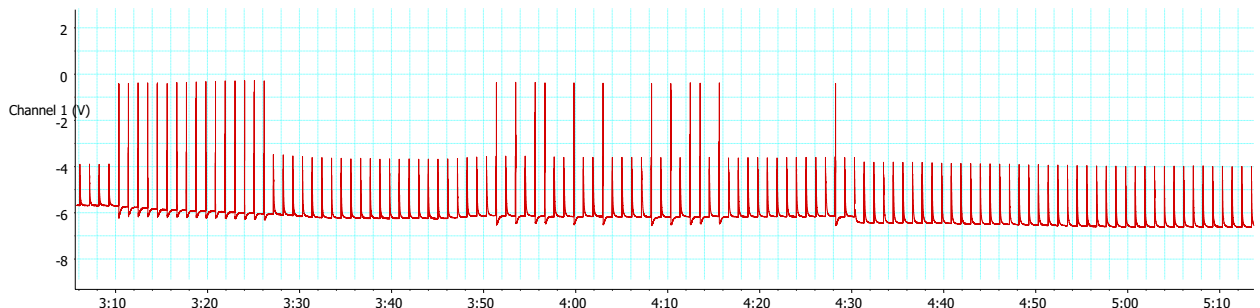
სურ. 33

სურათი 33 ზე ნაჩვევებია 13 პერცი სიხშირით მოდულირებილი ემპ-ს ეფექტი ნეირონის პაბიტუაციაზე. პირველ სტრიქონზე ილუსტრირებულია საკონტროლო ნეირონის ხოლო მეორე სტრიქონზე დასხივებული ნეირონის მიჩვევის დინამიკები ერთიდაიგივე სტიმულით უჯრედსშიგა სტიმულაციაზე. სტიმულის ამპლიტუდა შეადგენს 2 ნანოამპერს. საკონტროლო ნეირონმა მოახდინა 12 ქმედების პოტენციალის გენერირება. პაბიტუაციის დრო შეადგენს 100 წამს, თუმცა უნდა აღინიშნოს, რომ ქმედების პოტენციალთა აღმოცენება ხდებოდა 2-10 სტიმულის გამოტოვებით. დასხივებულმა ნეირონმა მოახდინა 16 ქმედების პოტენციალის გენერირება, პაბიტუაცია კი 65 წამი დასჭირდა, მაგრამ უნდა აღვნიშნოთ ის გარემოება, რომ ამ შემთხვევაში ქმედების პოტენციალების გენერირების სიმკვრივე მეტი იყო (ხდებოდა მათი აღმოცენება თითო თითო სტიმულის გამოტოვებით).

11 March 2011



11 March 2011

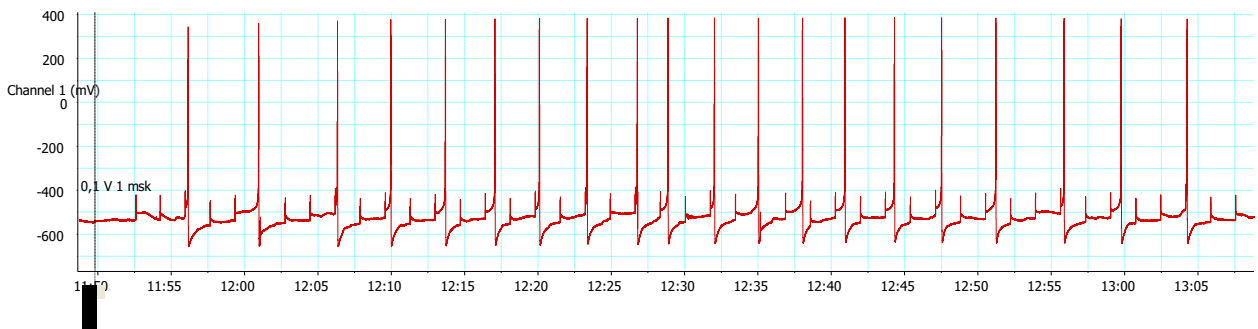


სურ. 34.

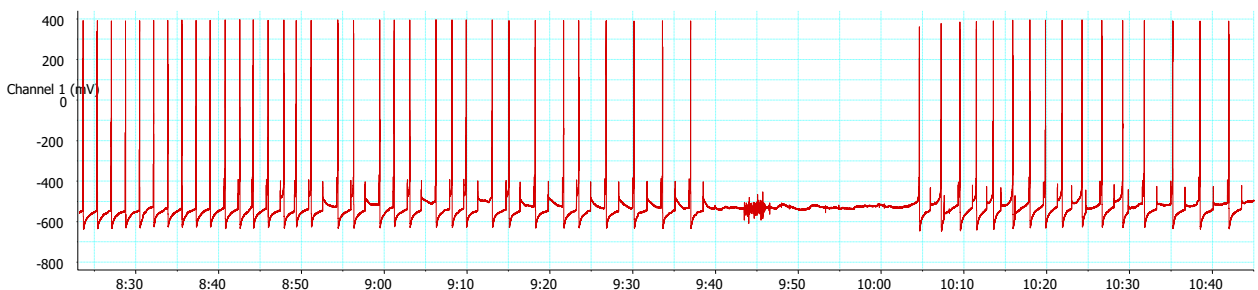
მე-34 სურათზე საილუსტრაციოდ მოტანილია 14 პერცი სიხშირის მოდულაციის ეფექტები. პირველ სტრიქონზე არის საკონტროლო ნეირონის სტიმულზე მიჩვევის დინამიკა. მეორე სტრიქონი დათმობილია აქვს 14 პერცი სიხშირით მოდულირებული ემპ-ს მიმართ ექსპოზიცირებულ ნეირონის სტიმულაციზე რეაქციებს. საკონტროლო ნეირონის შემთხვევაში აღგილი პქონდა 16 ქმედების პოტენციალის გენერირებას. შეიძლება ითქვას, რომ რეაქციები “კლასიკური” სტილით მიმდინარეობდა.

თავდაპირველად ნეირონი რეაგირებს ქმედების პოტენციალით უკლებლივ ყველა სტიმულზე, რის შემდეგაც იწყება ე.წ. “ამოგდებები”, რაც იმაში გამოიხატება, რომ ნეირონი უპასუხოდ ტოვებს ზოგიერთ სტიმულს. სრულ პაბიტუაციას დაჭირდა 30 წამი, მაგარამ აღსანიშნავია ის გარემოება, რომ ამ შემთხვევაში სტიმულაციის ზღურბლი დაბალი იყო და ქმედების პოტენციალების აღმოცენება დაიწყო 0,3 ნა ამპლიტუდის უჯრედშიგა იმპულსებით სტიმულაციაზე. დასხივებულმა ნეირონმა ჯერ თითქოს გაიმეორა საკონტროლოს რეაქციები და უპასუხა 16 ქმედების პოტენციალით, თუმცა ცოტა ხანში რეაქციები აღსდგა და სრულ პაბიტუაციამდე კიდევ 12 ქმედების პოტენციალი გამოიმუშავა.

17 March 2011



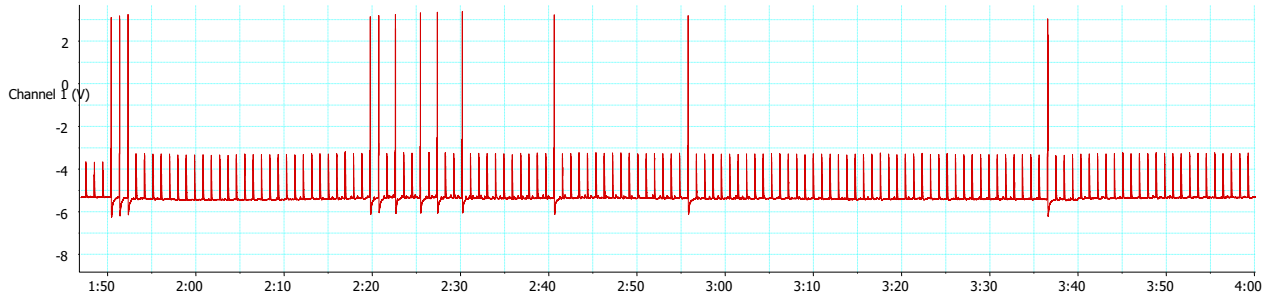
17 March 2011



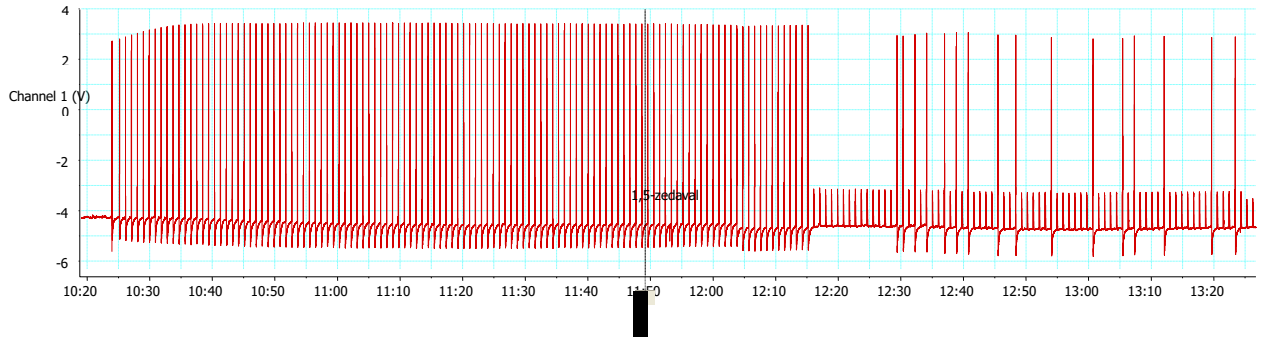
სურათი 35.

აქ ნაჩვენებია 15 პერცი სიხშირისთ მოდულირებული ემპ-ს ეფექტები ნეირონის მიჩვევაზე: საკონტროლო ნეირონის სტიმულზე რეაქციის მიჩვევა სწრაფად დამყარდა. 15 პერცი სიხშირით მოდულირებული ემპ-ს ზემოქმედების შედეგად პაბიტუაციას დაჭირდა მეტი დრო- მეორე სტრიქონი.

16 March 2011

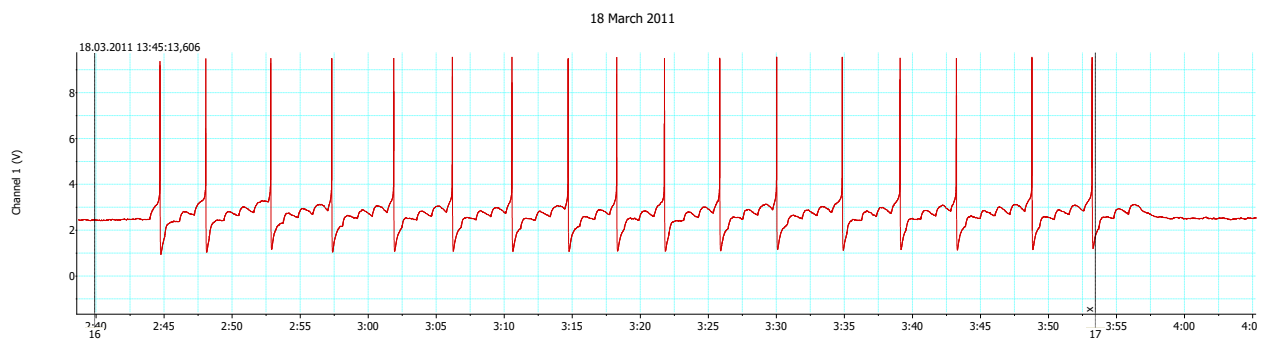


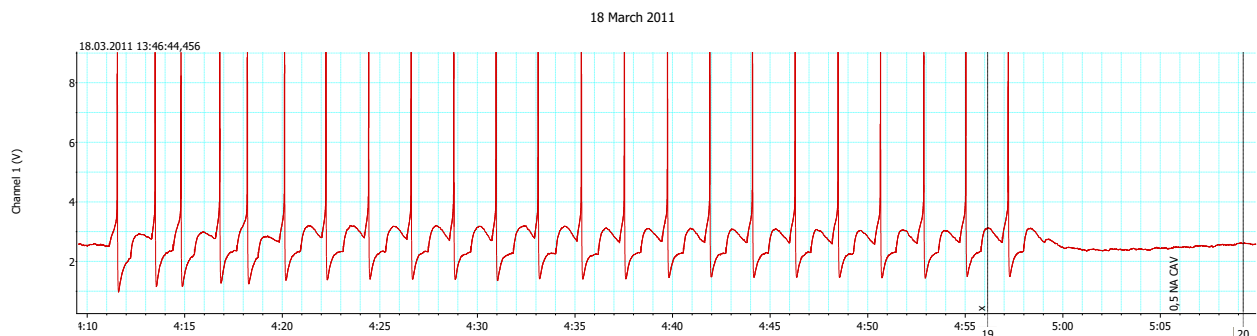
16 March 2011



სურათი 36.

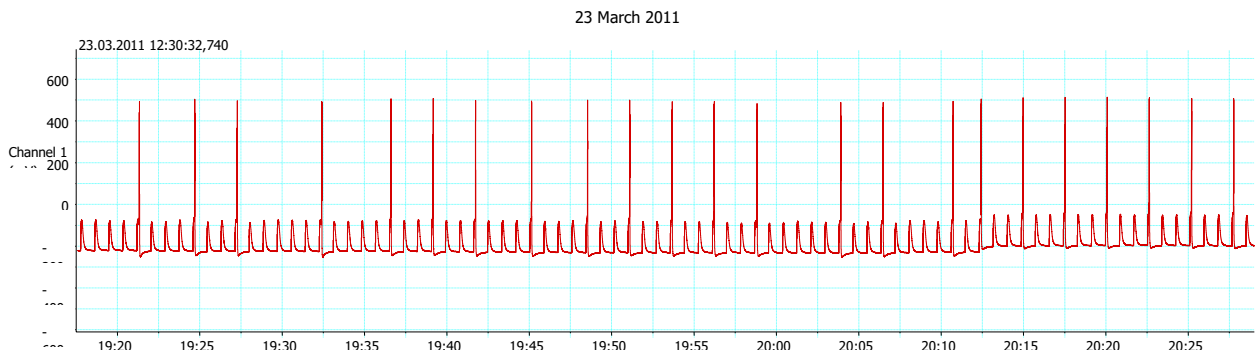
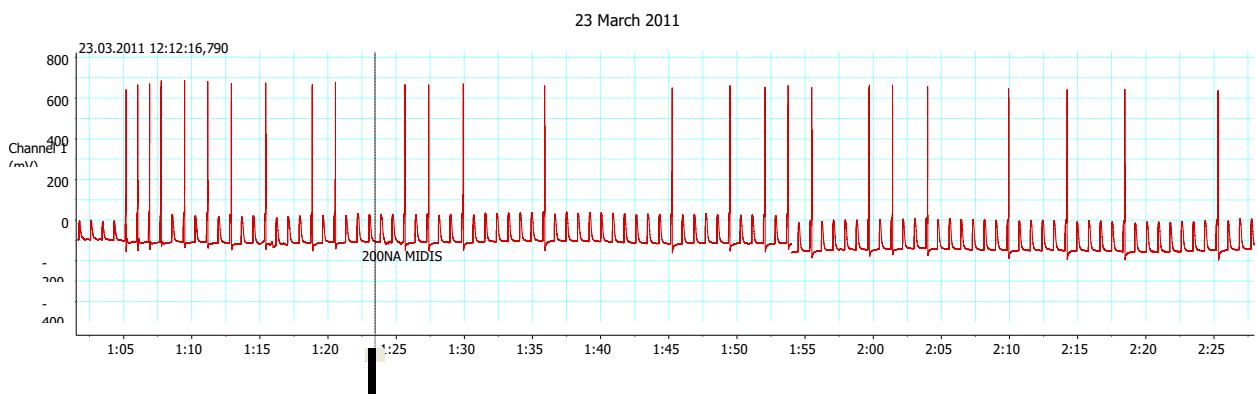
სურათ 36 ზე ვხედათ 16 პერცი სიხშირით ემვ-ს მოდულაციის ეფექტებს. საკონტროლო ნეირონმა (პირველი სტრიქონი გამოიმუშავა 12 ქმედების პოტენციალი, ხოლო სრული პაბიტუაციისათვის საჭირო დრომ 70 წამი შეადგინა. ექსპოზიცირებული ნეირონი 50 წამის განმავლობაში რეაგირებდა პრინციპით ერთი ქმედების პოტენციალი ერთ სტრიქონზე, თუმცა შემდეგ დაიწყო “ამოგდებები”, თუმცა პაბიტუაცია არ დამყარდა 30 წუთის განმავლობაში.





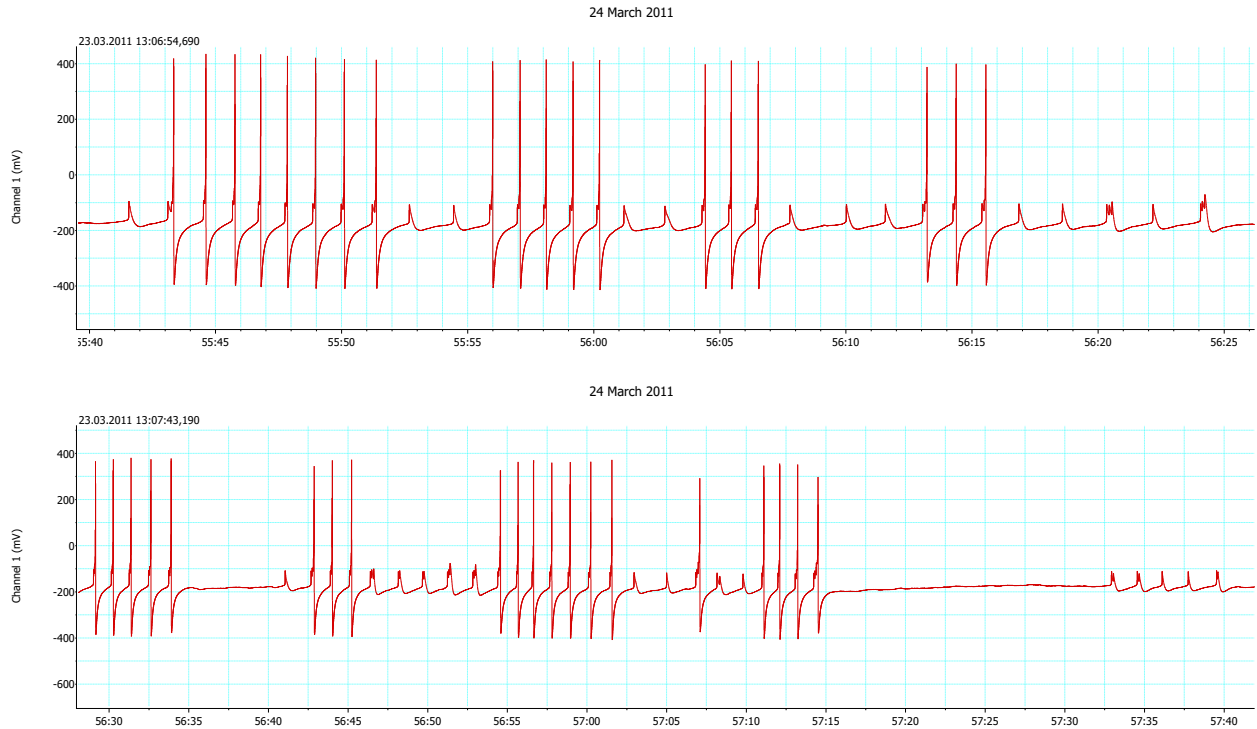
სურ. 37 17 პერცი სისმირით მოდულაციის ეფექტი.

17 პერცი- დასხივებული ნეირონი უფრო მეტად ექვემდებარება სტიმულის ზემოქმედებას ვიდრე საკონტროლო ნეირონი. საკონტროლო ნეირონის შემთხვევაში ვხედავთ, რომ ნეირონი ”ამოაგდებდა” ყოველ 3 სტიმულს და პასუხობდა მე-4-ებს – ზედა სტრიქონი. დასხივებული ნეირონი ”აგდებს” მხოლოდ თითო სტიმულს და პასუხობს ყოველ მეორე სტიმულს. ქვედა სტრიქონი.



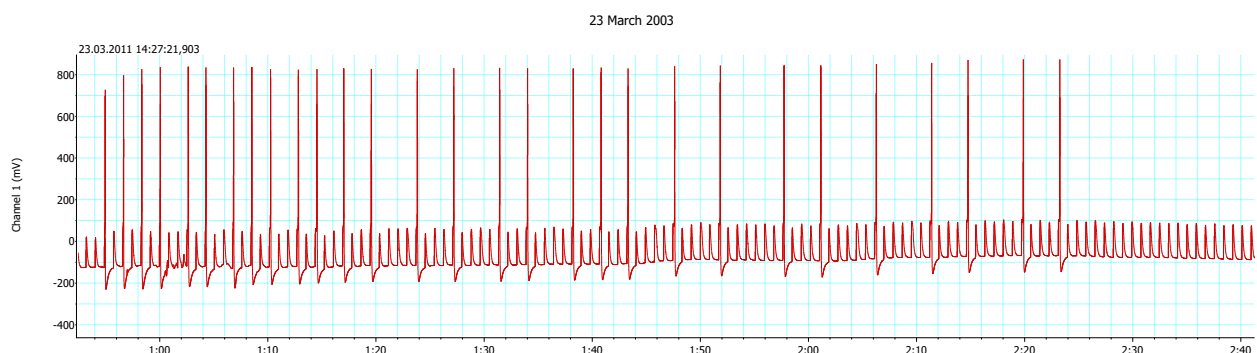
სურ. 38

18 პერცი სიხშირით მოდულირებული ემპ-ს ზემოქმედება (სურ. 38): –დასხივებული ნეირონის მიჩვევის დინამიკა მეტია დაუსხივებელი ნეირონის მიჩვევის დინამიკისაგან. ზედა სტრიქონი შეესაბამება საკონტროლო ნეირონს. ქვედა სტრიქონი შეესაბამება ექსპოზიცირებულ ნეირონს. ემპ-ს მოდულაციის სიხშირე 18 პერცია. უჯრედშიგა იმპულსების ამპლიტუდა შეადგენს 1,2 ნანოამპერს.

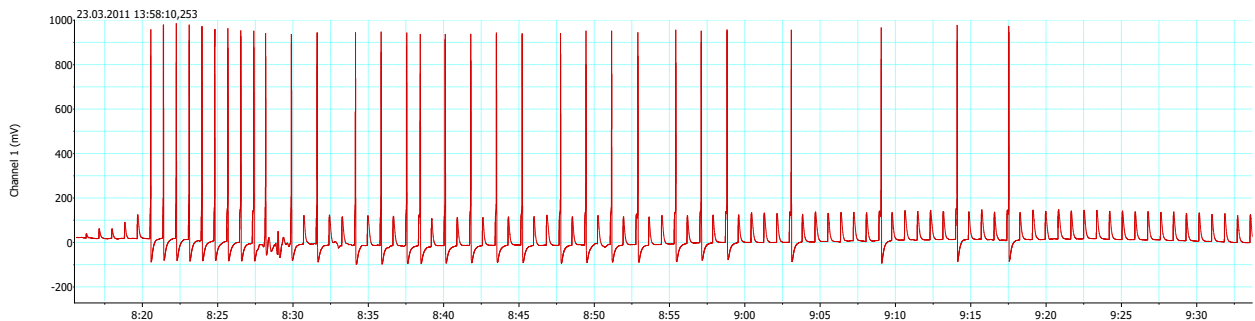


სურ. 39

ამ სურათზე იღუსტრირებულია საკონტროლო და 19 პერცით მოდულაციის შემთხვევაში დასხივებულ ნეირონთა მიჩვევის დინამიკა. (იხ. ზედა და ქვედა სტრიქონები).



23 March 2003



სურ. 40

მე-40 სურათზე ილუსტრირებულია საკონტროლო ნეირონის რეაქციები- ზედა სტრიქონი და 20 პერციო მოდულირებულ გელს ექსპოზირებული ნეირონის მიხვევის (ქვედა სტრიქონი) დინამიკები. დასხივება აქაც ზრდის ნეირონის აღზნებადობას. საკონტროლო ნეირონმა პირველივე სტიმულიდან დაიწყო ამოგდებები, მაშინ როცა დასხივებული ნეირონი რეაქციები თავდაპირველად 10 სტიმულა რეაგირებს უწყვეტად და მხილოდ ამის შემდეგ დაიწყო ამოგდებების სერია.

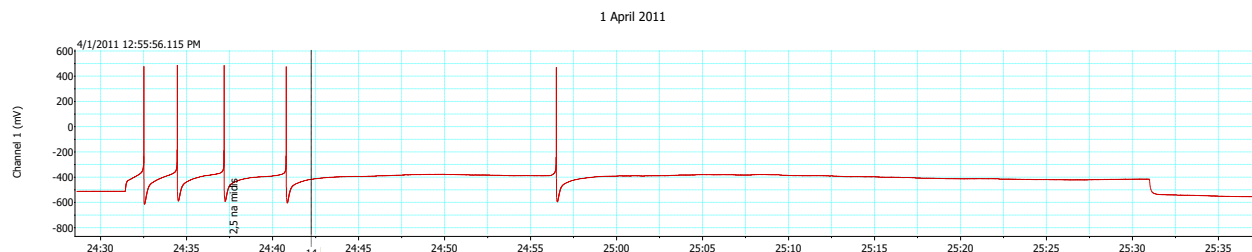
შედეგი: 1-20 პერცი სიხშირით მოდულირებული ემგ-ს ზემოქმედების ეფექტები ჰაბიტუაციის დინამიკაზე ურთიერთ იდენტურია. კერძოდ: საკონტროლო ნეირონის რეაქციები შედგება სტიმულზე ქმედების პოტენციალების გენერირებისაგან და ასევე “ამოგდებებისაგან”. დასხივების შედეგად ნეირონის პასუხები გახანგრძლივებულია. შესუსტებულია ჰაბიტუაციის უნარი.

სინაფსური ჰაბიტუაცია

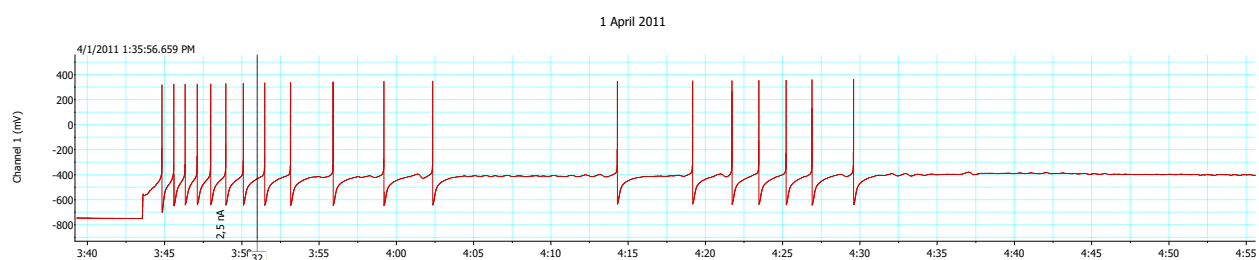
სინაფსური კავშირი განაპირობებს ნეირონის აღგზნებას ან შეგავებას იმისდა მიხედვით თუ რა მიეწოდება ნეირონს: აღმგზნები პოსტსინაფსური პოტენციალები თუ შემკავებელი პოსტსინაფური პოტენციალები. მიხვევის დაკვირვება გაცილებით ეფექტურია ნეირონის აღგზნების პირობებში რადგან აღგზნებას თან ახლავს ქმედების პოტენციალების (იმპულსების) გენერირება. მიხვევა აისახება ნეირონის მიერ გენერირებულ ქმედების პოტენციალთა რაოდენობის შემცირებასა და საბოლოოდ ამ გენერირების შეწყვეტაში. ამის გამო ჩვენ შევისწავლიდით ნეირონის სინაფსურ აღგზნებას და მიხვევის დინამიკას. ჩვეულებრივ სინაფსური სტიმულაციისათვის გამოიყენება ნერვის სტიმულირება ძაბვის იმპულსებით. ეს ახდენს ნერვის აღზნებას, რაც გადაეცემა ინტენსიურონებს და აღგზნებს რა მათ, იწვევს საპვლევი ნეირონის სინაფსურ გაღიზიანებას. აღსანიშნავია ის გარემოება, რომ მნიშვნელობა აქვს თუ რომელ ადგილზე ხდება ნერვის გაღიზიანება. რაც უფრო ახლოსაა მასტიმულირებელი ელექტროდები განგლიასთან მით მეტია გადიზიანების ეფექტი. ამ სელისშემდლელი ფაქტორის თავიდან ასაცილებლად საჭიროა, რომ მასტიმულირებელი დენის იმპულსები ნერვზე მოდებულ იქნას ერველოვის ერთიდაიგივე აღგილას.

თითეული ექსპერიმენტი მოიცავს ნეირონების გამოკვლევას წყვილი იდენტური განგლიოდან- რომელთაგან ერთერთი არის საკონტროლო, ხოლო მეორე ექვემდებარება ელექტრომაგნიტური ველის ზემოქმედებას. ასეთი მიღებობის არსი შემდეგში მდგომარეობს: საკვლევი ცხოველები ცივსისხლიანებია. ამიტომ ისინი დამოკიდებული არიან გარემოზე, ამინდზე, ტენიანობასა და სხვა ფაქტორებზე. ერთიდა იგივე საექსპერიმენტო დღეს როგორც საკონტროლო ისევე საკვლევი ცხოველი ერთიდაიგივე პირობებში იმყოფებიან და ამდენად ნეირონების ორაქციებში განსხვავება ან არგანსხვავება იქნება ელექტრომაგნიტური ველის შედეგი და არა გარემო პირობების ცვალებადობის შედეგი.

სურათ 41 ა-ზე ნაჩვენებია ერთერთი საკონტროლო ნეირონის (იდენტიფიცირებული ნეირონი LPGN³) რეაქცია ნერვის სტიმულაციაზე იმპულსით. მასტიმულირებელ ნეირონის სინაფსურად აღგზნებისათვის ეფექტური აღმოჩნდა 1,5 გ. რაზეც ნეირონმა უპასუხა 5 ქმედების პოტენციალით რის შემდეგაც დამყარდა პაბიტუაცია და ნეირონი აღარ გენერირებს ქმედების პოტენციალებს. სურათ 41ბ-ზე ვხედავთ იგივე იდენტიფიკაციის ნეირონის მიჩვევის დინამიკას იგივე სიდიდის სტიმულზე TEM CELL-ში ელექტრომაგნიტური ველის ზემოქმედების შემდეგ. 1800 მგაჰერცის ველი მოდულირებულია 1 ჰერცი სიხშირით. დასხივებული ნეირონი გენერირებს მეტ ქმედების პოტენციალებს.



ა



ბ

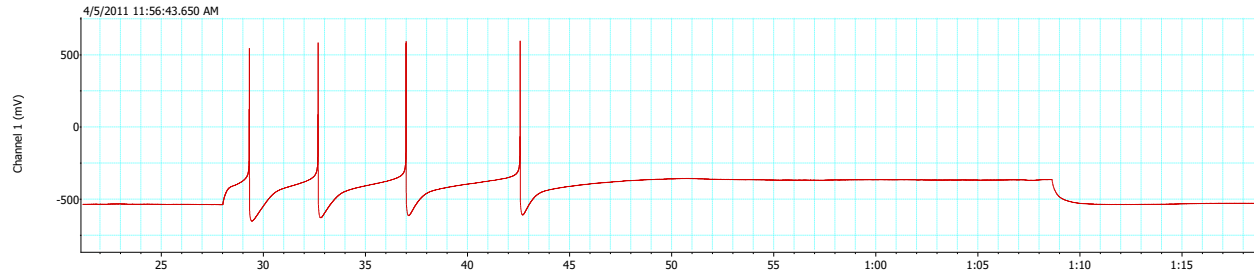
სურ.41

- ა- საკონტროლო ნეირონის მიჩვევის დინამიკა სინაფსურ სტიმულაციაზე.
- ბ- 1800 მგაჰ ელექტრომაგნიტურ ველში ექსპონიცირებული ნეირონის მიჩვევის დინამიკა იგივე სიდიდის სტიმულზე ელექტრომაგნიტური ველის მოდულაციის სიხშირე 1 ჰერცია. TEM CELL-ში შემავალი ველის სიძლიავრე 5 გაზის ტოლია.

სურათ 42 ა-ზე ილუსტრირებულია საკონტროლო ნეირონის მიჩვევის დინამიკა 0,4 კ ამპლიტუდის ძაბვის იმპულსით ნერვის სტიმულაციაზე. რეაქცია შედეგება 4

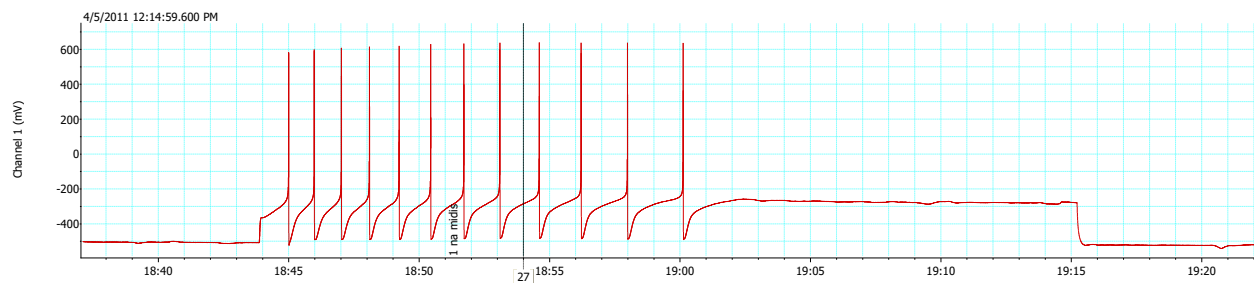
ქმედების პოტენციალისაგან, რის შემდეგაც დამყარდა ჰაბიტუაცია. ელექტრომაგნიტური ველით დასხივებული იგივე იღენტიფიკაციის სხვა ნეირონის მიჩვევის დინამიკა იგივე ამპლიტუდის სტიმულზე ნაჩვენებია სურათ 42ბ-ზე. ნეირონმა სინაფსურ გარიზიანებას უპასუხება 12 ქმედების პოტენციალით, რის შემდეგაც დამყარდა ჰაბიტუაცია.

5 April 2011



δ

5 April 2011

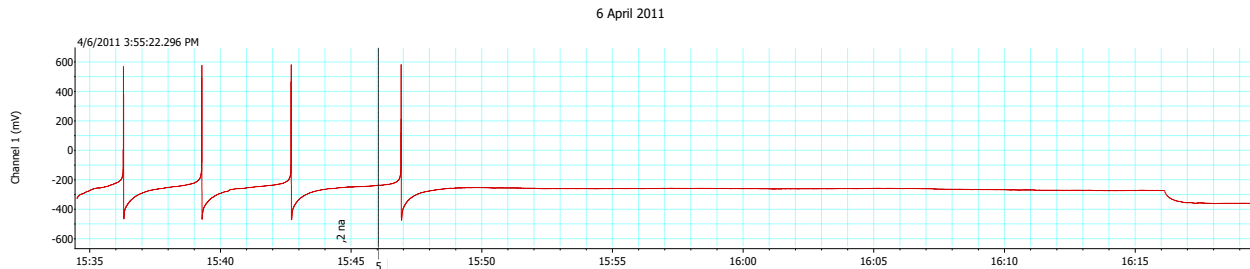


δ

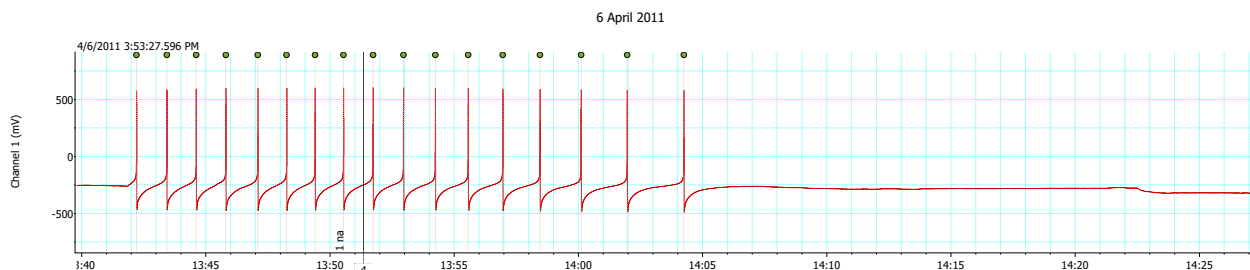
სურ 42.

- ა- საკონტროლო ნეირონის მიჩვევის დინამიკა სინაფსურ ხტიმულაციაზე
- ბ- 1800 მგპც ელექტრომაგნიტურ ველში ექსპოზიცირებული ნეირონის მიჩვევის დინამიკა იგივე სიდიდის ხტიმულზე. ელექტრომაგნიტური ველის მოდულაციის სიხშირე 2 ჰერცია. TEM CELI-ში შემავალი ველის სიმძლავრე 5 გატის ტოლია.

3 ჰერცი სიხშირით მოდულირებული ელექტრომაგნიტური ველის ნეირონზე ზემოქმედების ეფექტი ნაჩვენების სურათ 43-ზე. 43ა დაომობილი აქვს საკონტროლო ნეირონის ჩანაწერს. პასუხად მიღებულია 4 ქმედების პოტენციალი. ელექტრომაგნიტური ველის ზემოქმედების შედეგად განერირებულ ქმედების პოტენციალთა რიცხვი გაიზარდა 17-მდე.



δ

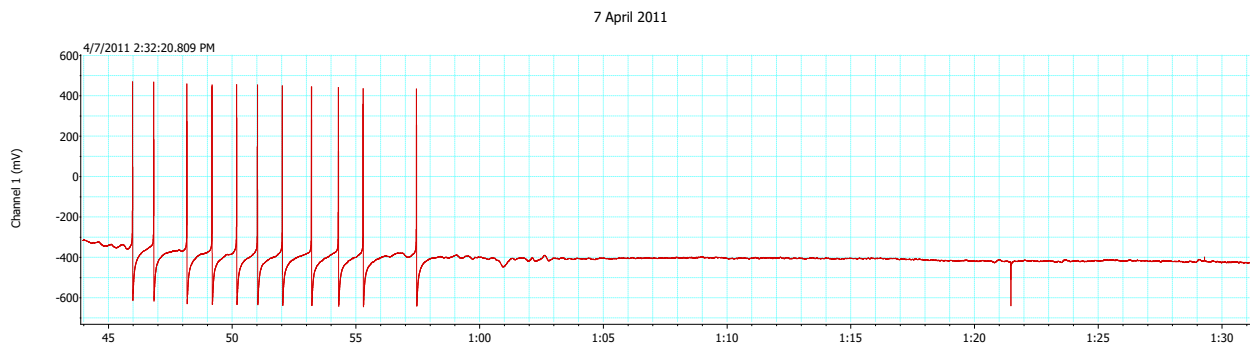


δ

სურ 43.

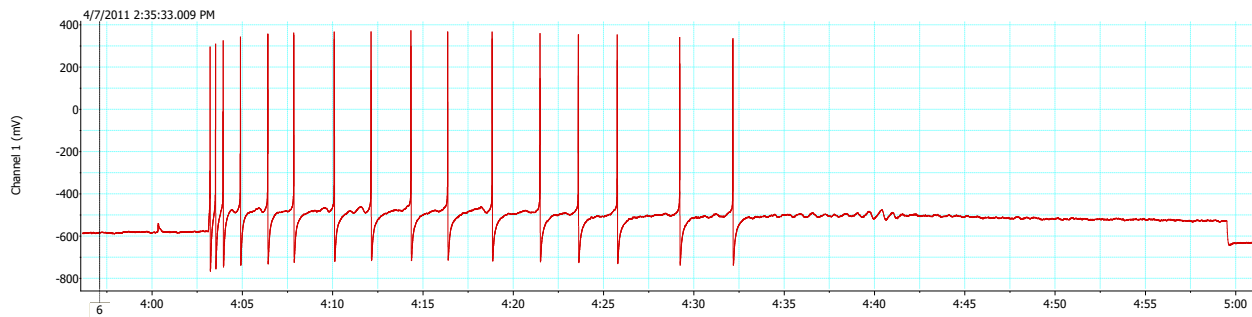
- ა- საკონტროლო ნეირონის მიჩვევის დინამიკა სინაფსურ სტიმულაციაზე.
სტიმული ამბლიგუდა I ნა-ს შეაღებენ.
- ბ- 1800 ძგვის ელექტრომაგნიტურ ველში ექსპოზიციონული ნეირონის მიჩვევის დინამიკა იგივე სიდიდის სტიმულზე. ელექტრომაგნიტური ველის მოდულაციის სიხშირე 3 ჰერცია. TEM CELI-ში შემავალი ველის სიმძლავრე 5 ვატის ტოლია.

მსგავსი ეფექტი აქვს 4 ჰერცი სიხშირით მოდულირებულ ელექტრომაგნიტურ ველს ნეირონზე. სურათ 44ა-ზე ისევ საკონტროლო ნეირონის სინაფსურ სტიმულზე რეაქციებია გამოსახული. ელექტრომაგნიტურ ველში მოთავსებამ მართალია გაზარდა გენერირებულ ქმედების პოტენციალთა რაოდენობა, თუმცა მათი აღმოცენების სიხშირე ოდნავ შემცირებულია.



δ

7 April 2011



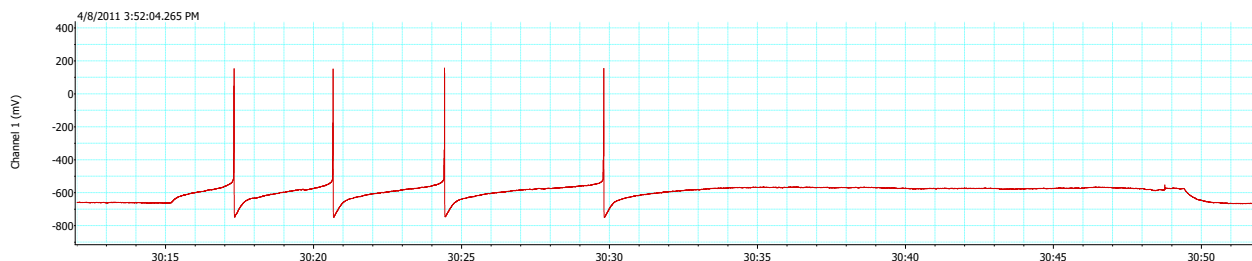
δ

სურ 44.

- ა- საკონტროლო ნეირონის მიჩვევის დინამიკა სინაფსურ სტიმულაციაზე.
ხგიძელი ამპლიტუდა 1 ნა-ს შეადგენს.
- ბ- 1800 მგჰც ელექტრომაგნიტურ ველში ექსპოზიციონული ნეირონის მიჩვევის
დინამიკა იგივე ხიდიდის სტიმულზე. ელექტრომაგნიტური ველის
მოდულაციის სიხშირე 4 ჰერცია. TEM CELI-ში შემავალი ველის სიმძლავრე 5
ვატის ტოლია.

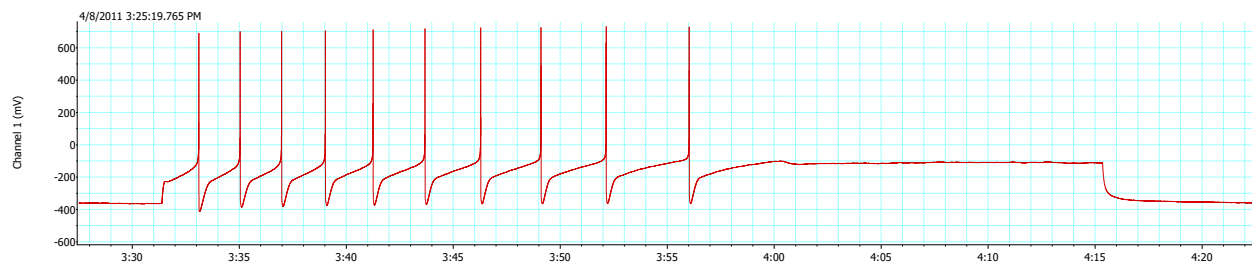
საკონტროლო ნეირონის რეაქციები ურთიერთ მსგავსია და ნეირონი სტიმულზე
რეაგირებს 5-7 ქმედების პოტენციალით. სურათი 45ა-ზე ნაჩვენებია მორიგი
საკონტროლო ნეირონის რეაქციები სტიმულზე. აქაც მიჩვევის დადგომამდე
გენერირებულ იქნა 4 ქმედების პოტენციალი. 2,5ჯერ ძლიერი რეაქცია აქვს
დასხივებულ ნეირონს. დასხივება მოხდა 1800 მგჰც სიხშირის ველში 5 ჰერცი
სიხშირით მოდულაციის პირობებში -- სურ 45 ბ.

8 April 2011 (2)



δ

8 April 2011 (2)



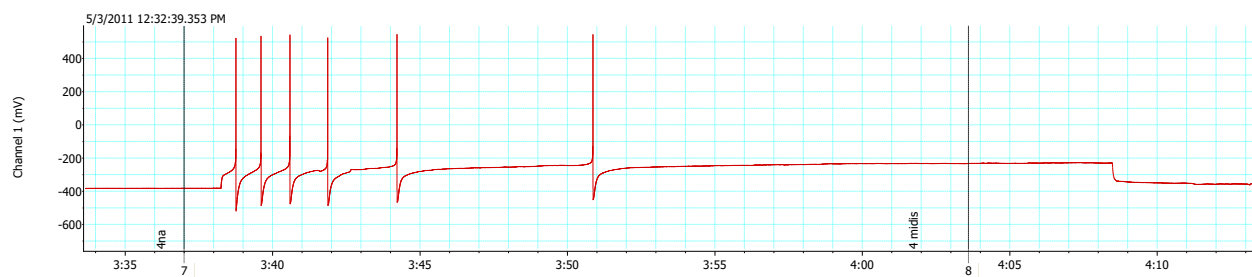
δ

სურ 45.

- ა- საკონტროლო ნეირონის მიჩვევის დინამიკა სინაფსურ სტიმულაციაზე.
სტიმული ამპლიტუდა 1,5 ნა-ს შეადგენს.
- ბ- 5 კერცი სინაფით მოდულირებული 1800 მგვტ ელექტრომაგნიტურ ველში გენერირებული ნეირონის მიჩვევის დინამიკა იგივე სიდიდის სტიმულზე
TEM CELI-ში შემავალი ველის სიმძლავრე 5 გატის ტოლია.

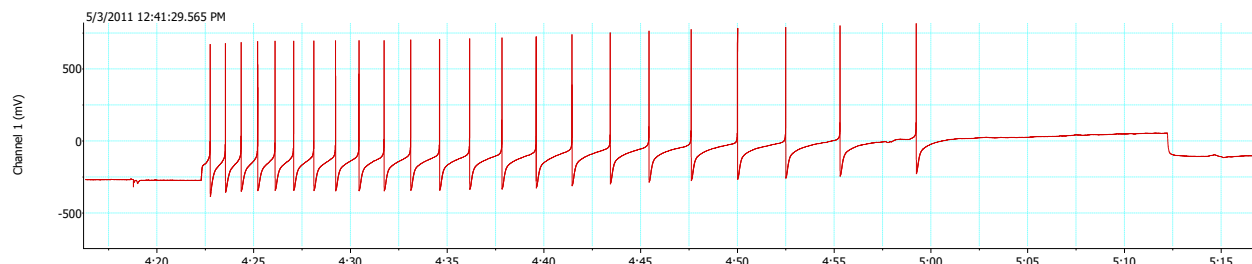
სურათ 46ა-ზე ნაჩვენებია საკონტროლო ნეირონის (RPG#3) რეაქცია სინაფსურ სტიმულაციაზე. ჰაბიტუაცია დამყარდა 13 წამში 6 ქმედების პოტენციალის გენერირების ფონზე. ელექტრომაგნიტურ ველში ექსპოზირებული ნეირონის (RPGN#3) იგივე ამპლიტუდის მქონე სინაფსურ სტიმულაციაზე პასუხები მოცემულია სურათ 46ბ-ზე. ამ შემთხვევაში 1800 მეგაჟერცი სინაფით ელექტრომაგნიტური ველი მოდულირებული იყო 6 კერცი სინაფით. ამ შემთხვევაში სრულ ჰაბიტუაციას დასჭირდა 18 წამი. გენერირებულ იქნა 23 ქმედების პოტენციალი.

3 May 2011



δ

3 May 2011

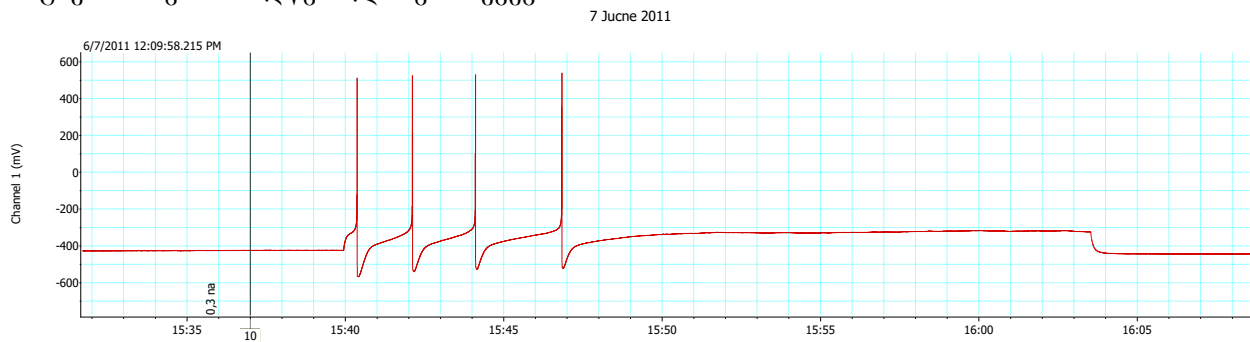


δ

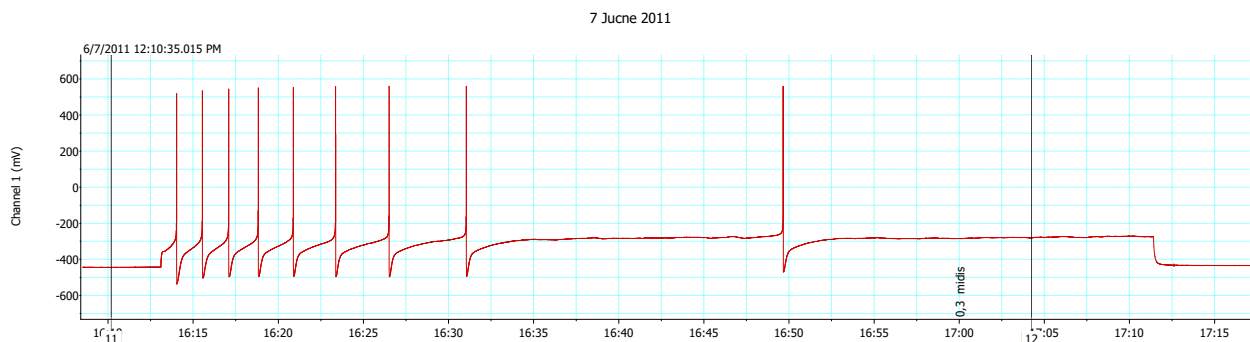
სურ 46.

ა- საკონტროლო ნეირონის მიჩვევის დინამიკა სინაფსურ სტიმულაციაზე. 6 ჰერცი სიხშირით მოდულირებული 1800 მგპგ ელექტრომაგნიტურ გელში გენერაციული ნეირონის მიჩვევის დინამიკა იგივე სიდიდის სტიმულზე. TEM CELL-ში შემავალი გელის სიმძლავრე 5 გატის ტოლია.

7 ჰერცით მოდულირებული და შესაბამისი საკონტროლო ნეირონების რეაქციები (RPG#3) ნაჩვევებია სურათზე 47-ზე. როგორც ვხედავთ თანაფარდობა საკონტროლო ნეირონისა და დახსივებული ნეირონის სინაფსურ სტიმულაციაზე რეაქციებს შორის მსგავსია ზემოთ აღწერილ შემთხვევებისა.



ა

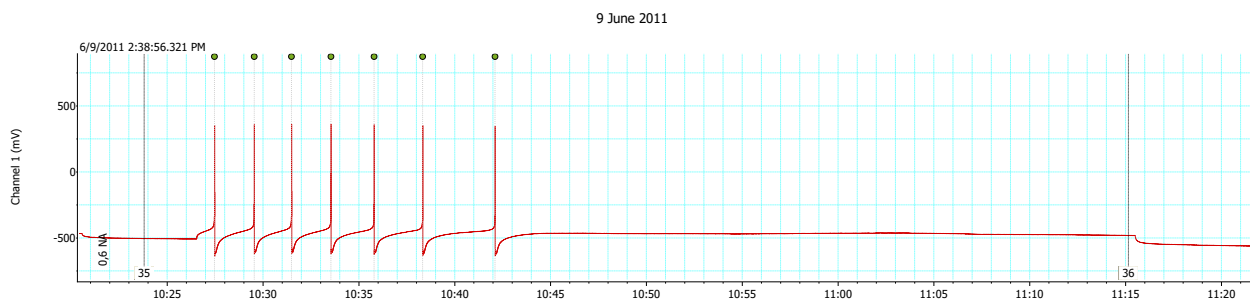


ბ

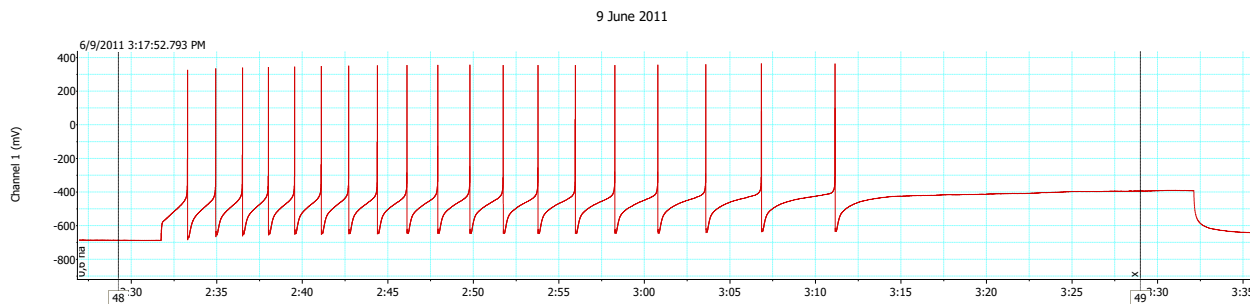
სურ 47.

ა- საკონტროლო ნეირონის მიჩვევის დინამიკა სინაფსურ სტიმულაციაზე.
 ბ- 7 ჰერცი სიხშირით მოდულირებული 1800 მგპგ ელექტრომაგნიტურ გელში გენერაციული ნეირონის მიჩვევის დინამიკა იგივე სიდიდის სტიმულზე TEM CELL-ში შემავალი გელის სიმძლავრე 5 გატის ტოლია.

სურათ 48-50-ზე შესაბამისად ვხედავთ 8-10 ჰერცი სიხშირით (1800 მეგაჰერცი ელექტრომაგნიტური გელის) მოდულაციის ეფექტს სინაფსური სტიმულაციის მიმართ მიჩვევის დინამიკაზე.



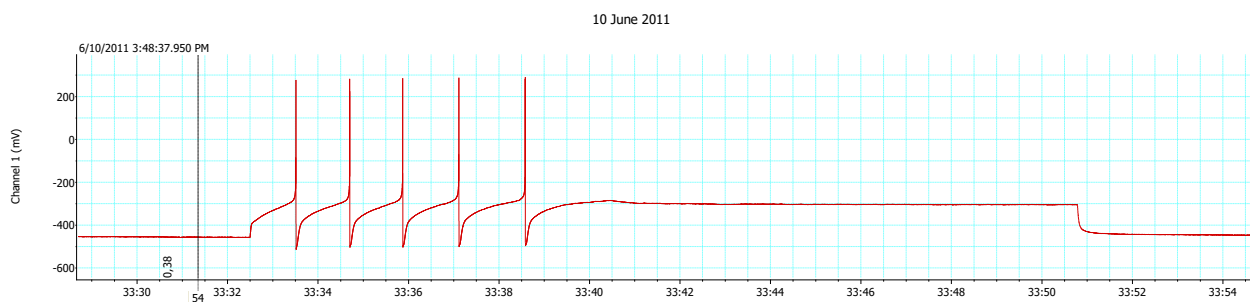
Ծ



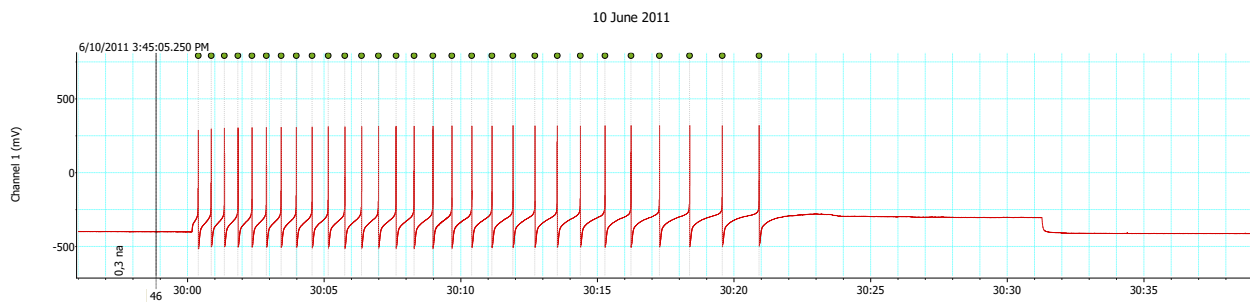
Ծ

Աշխարհ 48.

- Տ- եսկամբարտություն հյուրանու մոիզեյզու քոնամոյա և օճապեցր եջոմշլացոանց.
 - Ճ- 8 ձյշը օժանդակություն մուգացնելու 1800 մջեց շլաքի թագավորական թագավորական մոիզեյզու քոնամոյա օջապեցր եջոմշլացոանց.
- TEM CELL-ի մասնակտություն մասնակտություն 5 զարգություն օրուական է.*



Ծ

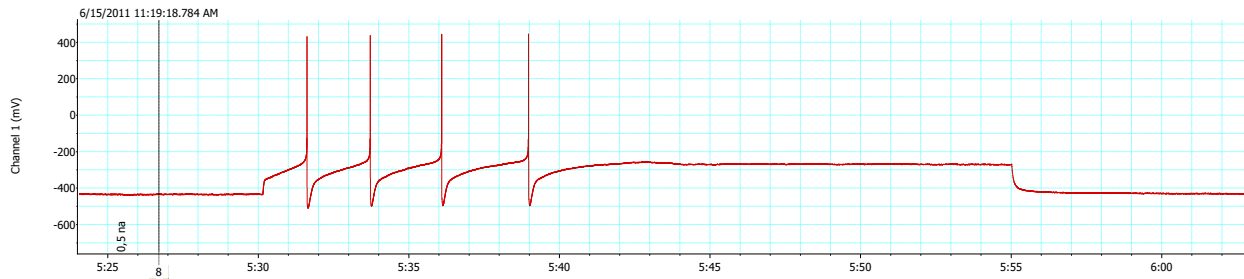


δ

სურ 49.

- ა- საკონტროლო ნეირონის მიჩვევის დინამიკა სინაფსურ სტიმულაციაზე.
- ბ- 9 პერცი სიხშირით მოდულირებული 1800 გბ/ც ელექტრომაგნიტურ ველში ექსპონიცირებული ნეირონის მიჩვევის დინამიკა იგივე სიდიდის სტიმულზე ელექტრომაგნიტური ველის მოდულაციის სიხშირე ზრდის. TEM CELL-ზი შემავალი ველის სიძლლავრე 5 გატის ტოლია.

15 June 2011



δ

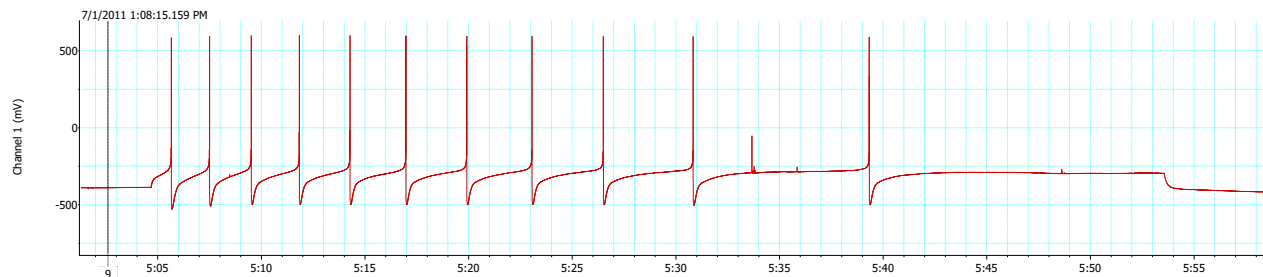
სურ 50.

1. საკონტროლო ნეირონის მიჩვევის დინამიკა სინაფსურ სტიმულაციაზე.
2. 10 პერცი მოდულირებული ელექტრომაგნიტურ ველში ექსპონიცირებული ნეირონის მიჩვევის დინამიკა იგივე სიდიდის სტიმულზე. TEM CELL-ზი შემავალი ველის სიძლლავრე 5 გატის ტოლია.

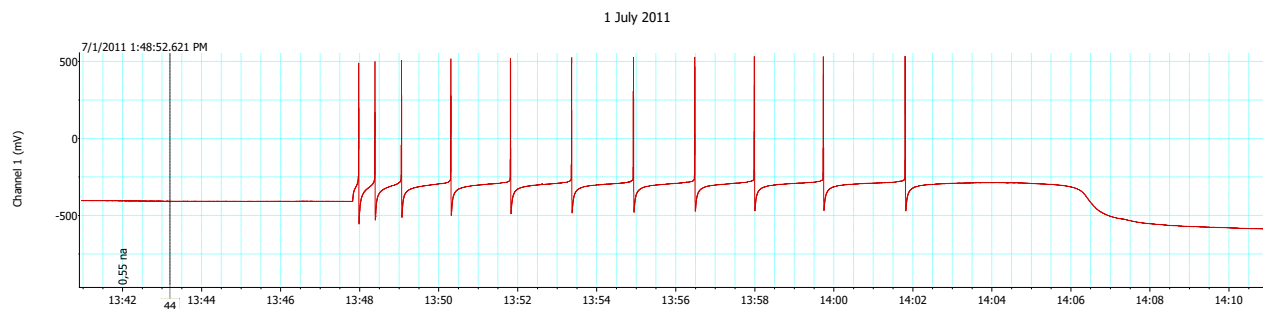
ექსპერიმენტის მონაცემთა სტატისტიკური დამუშავებსათვის ჩატარდა ექსპერიმენტული მასალის დამატებითი გაამოკვლევა “Chart Peak Analyss” საშუალებით. გაიზომა ყველა ქმედების პოტენციალების პარამეტრები როგორც საკონტროლო ისევე დასხივებული ნეირონებისათვის: ქმედების პოტენციალის ამპლიტუდა; სიგანე, კვალური პიკერპოლარიზაციის ამპლიტუდა, კვალური პიკერპოლარიზაციის სიგანე, პაბიტუაციის დრო, გენერირებულ იმპულსთა საშუალო სიხშირე.

სურათ 51 ა-ზე ნაჩვენებია ერთერთი დასხივებული ნეირონის (იდენტიფიცირებული ნეირონი LPGN³) რეაქცია ნერვის სტიმულაციაზე. რაზეც ნეირონმა უპასუხა 11 ქმედების პოტენციალით რის შემდეგაც დამყარდა მიჩვევა (პაბიტუაცია) და ნეირონი აღარ გენერირებს ქმედების პოტენციალებს. პაბიტუაციისათვის საჭირო დრო 35 წამის ტოლია. სურათ 51ბ-ზე ვხედავთ საკონტროლო პრეპარატის ასევე LPGN³ ნეირონის ნეირონის მიჩვევის დინამიკას. აქაც აღმოცენდა 11 ქმედების პოტენციალი, თუმცა მიჩვევისათვის საჭირო დრო ბევრად ნაკლებია და შეადგენს 14,5 წამს. ვხედავთ რომ დასხივებული ნეირონი მეტად აღგზნებადია. ასევე გასანგრძლივებულის მიჩვევისათვის საჭირო დრო. შევადაროთ 35 და 14,5 წამები.

1800 მგაპერცის ველი მოდულირებულია 11 ჰერცი სიხშირით.
1 July 2011



8

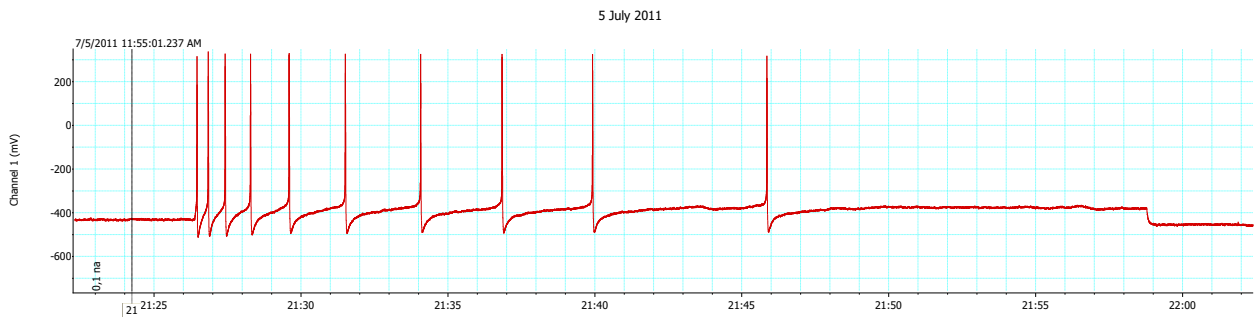


ბ

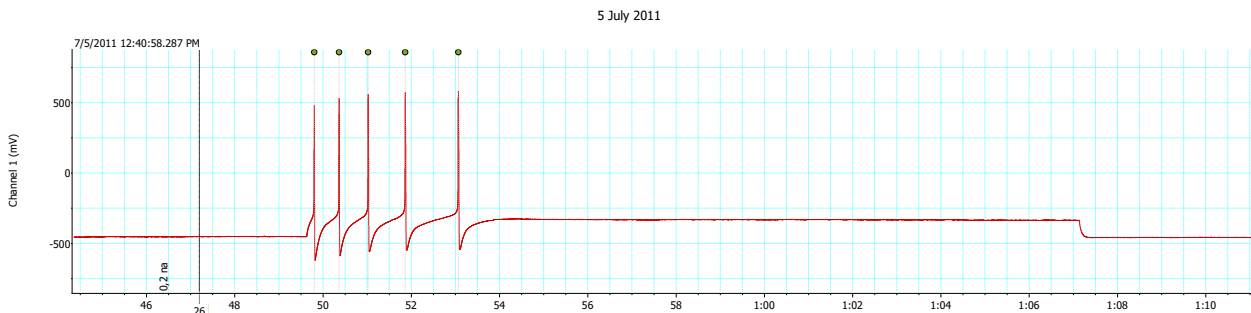
სურ. 51

ა 1800 მგპ ელექტრომაგნიტურ ველში დასხივებული ნეირონის მიჩვევის დინამიკა სინაფსურ სტიმულაციაზე ელექტრომაგნიტური ველის მოდულაციის სიხშირე II ჰერცია. TEM CELI-ში შემავალი ველის სიძლიავრე 5 გატის ტოლია. ბ საკონტროლო ნეირონის მიჩვევის დინამიკა ნერვის სტიმულაციაზე.

სურათ 52 ა-ზე ილუსტრირებულია დასხივებული ნეირონის მიჩვევის დინამიკა ნერვის სტიმულაციაზე. რეაქცია შედეგია 10 ქმედების პოტენციალისაგან, რის შემდეგაც დამყარდა ჰაბიტუაცია. მიჩვევის დრომ შეადგინა 20,1 წმ. სხვა განგლიის საკონტროლო იგივე იდენტიფიკაციის ნეირონის მიჩვევის დინამიკა სტიმულზე ნაჩვენებია სურათ 52ბ-ზე. ნეირონმა სინაფსურ გაღიზიანებას უპასუხა 7 ქმედების პოტენციალით, რის შემდეგაც დამყარდა ჰაბიტუაცია. მიჩვევის დრომ შეადგინა 4.8 წამი. ამ ექსპერიმენტში ელექტრომაგნიტური ველის მოდულაციის სიხშირე 12 ჰერცის ტოლია. ამ შემთხვევაშიც აშკარად გამოიკვეთა ექსპოზიციის შედეგად ნეირონის აღნებადობის გაზრდა და ჰაბიტუაციისათვის საჭირო დროის გახანგრძლივება.



5



δ

სურ 52.

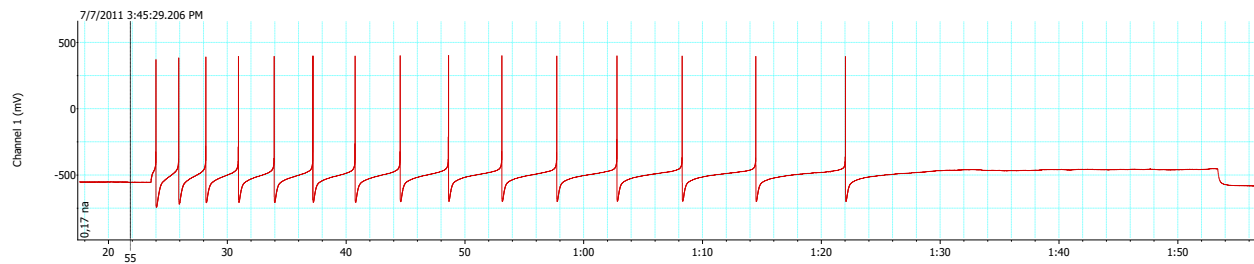
ა 1800 მგპც ელექტრომაგნიტურ ველში ექსპოზიცირებული ნეირონის მიჩვევის დინამიკა სტიმულზე. ელექტრომაგნიტური ველის მოდულაციის სიხშირე 12 ჰერცია. TEM CELI-ში შემავალი ველის სიმძლავრე 5 ვატის ტოლია.

ბ საკონტროლო ნეირონის მიჩვევის დინამიკა სინაფსურ სტიმულაციაზე.

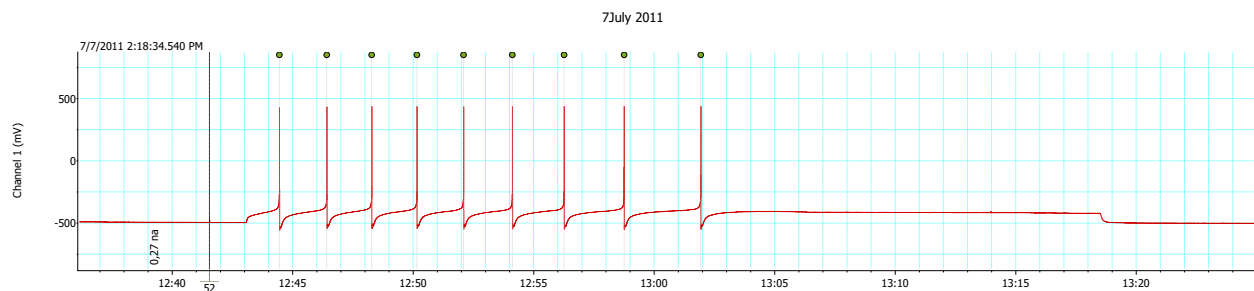
13 ჰერცი სიხშირით მოდულირებული ელექტრომაგნიტური ველის ნეირონზე ზემოქმედების ეფექტი ნაჩვენების სურათ 53-ზე. 53ა დათმობილი აქვს ელექტრომაგნიტურ ველში ექსპოზირებულ ნეირონის ჩანაწერს. პასუხად მიღებულია 15 ქმედების პოტენციალი. ელექტრომაგნიტური ველის ზემოქმედების ჰაბიტუაციის დრო შეადგენს 59,75 წამს. 3ბ-ზე ილუსტრირებულია ამავე დღის ექსპერიმენტში საკონტროლო განგლიის იგივე იდენტიფიკაციის ნეირონის ჩანაწერი. ნეირონის

ნერვის სტიმულაცია მოხდა 0,6 კ ამპლიტუდის იმპულსებით. პასუხად გენერირდა 9 ქმედების პოტენციალი, ხოლო მიჩვევის დრომ შეადგინა 20 წამი.

7July 2011



δ



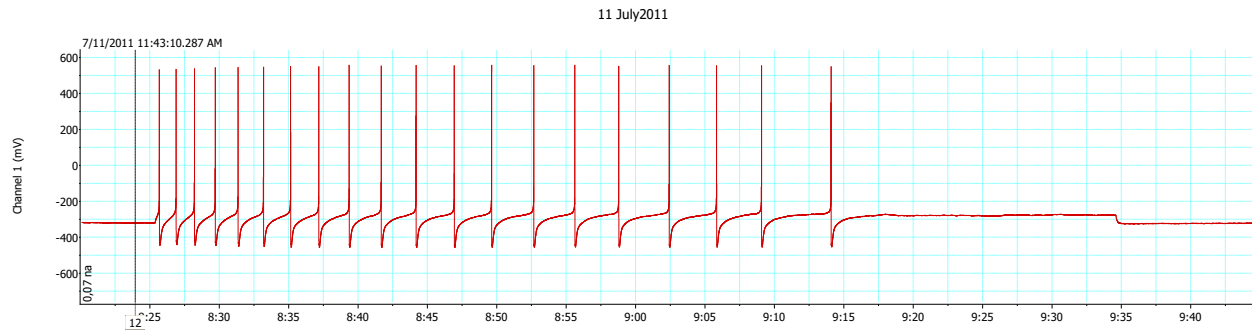
δ

სურ 3.

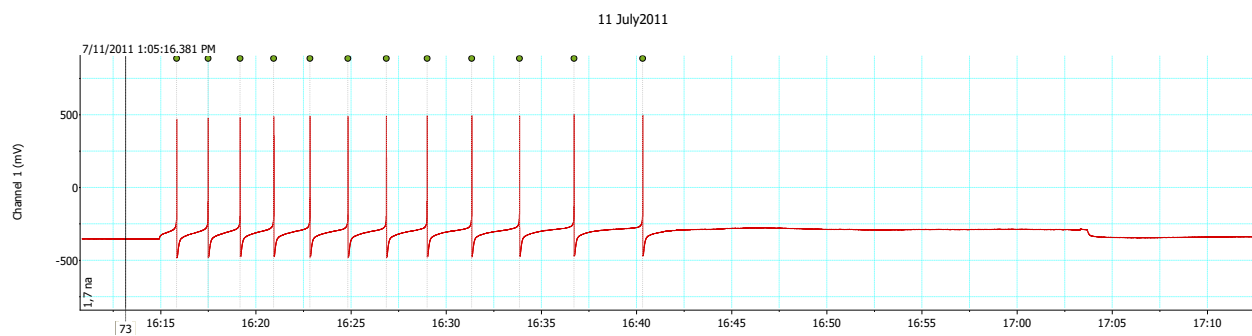
ა 1800 მგჸტ ელექტრომაგნიტურ გელში ექსპოზიციებული ნეირონის მიჩვევის დინამიკა სტიმულზე. ელექტრომაგნიტური გელის მოდულაციის სიხშირე 13 ჰერცია. TEM CELL-ში შემავალი გელის სიმძლავრე 5 ვატის ტოლია.

ბ საკონტროლო ნეირონის მიჩვევის დინამიკა სინაფსურ სტიმულაციაზე. სტიმული ამპლიტუდა იგივეა.

14 ჰერცი სიხშირით მოდულირებულ ელექტრომაგნიტურ გელის ნეირონის პაბიტუაციის პროცესზე ზეგავლენა ილუსტრირებულია მე-54 ა სურათზე. ნეირონი სხივდებოდა 60 წუთის განმავლობაში აღნიშნული სახის ელექტრომაგნიტური გელით. პაბიტუაციის დადგომამდე სათანადო რეაქცია შეადგენდა 20 ქმედების პოტენციალის გენერირებას. პაბიტუაციას დასჭირდა 49,3 წამი. სურათ 54ბ-ზე კი საკონტროლო ნეირონის სინაფსურ სტიმულზე რეაქციებია გამოსახული. გენერირებულ ქმედების პოტენციალთა რიცხვი შეადგენს 12. მიჩვევისათვის საჭირო დრო 26 წამის ტოლია.



5

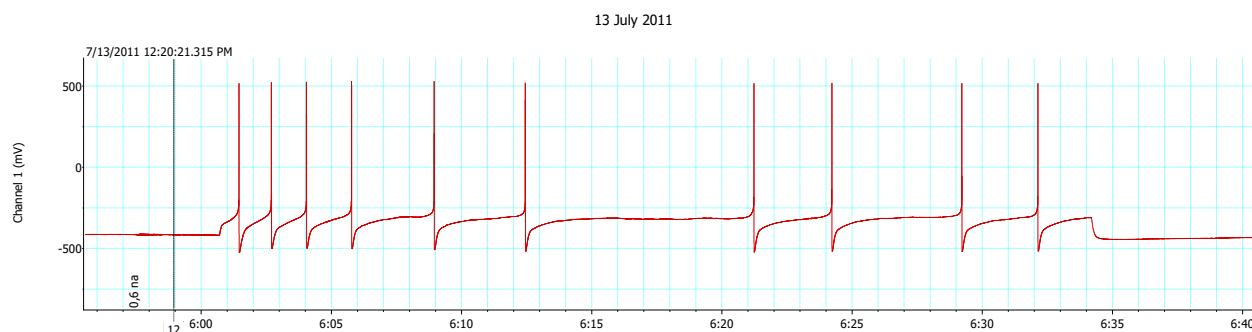


१

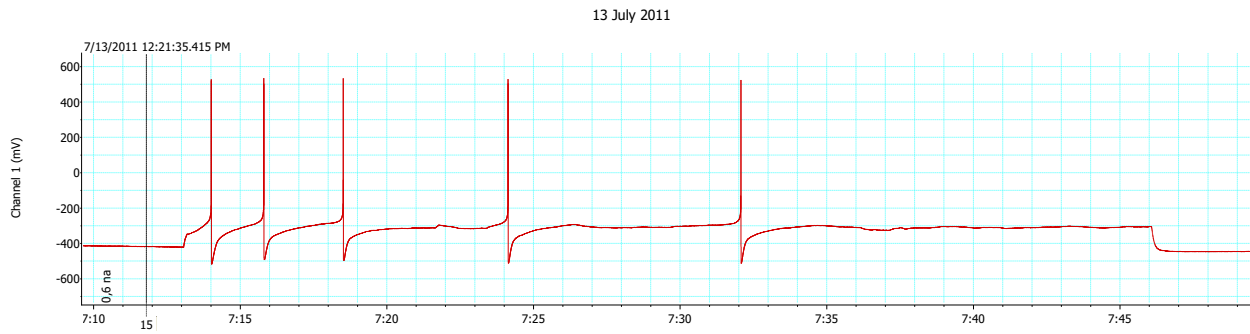
სურ 54.

Ճ 14 Ֆյուրոտ մոլցվարդյան 1800 թվականի ըլլաբիրոմագինօթշր զյուղ մո յի եծութուցորդյան եցուրոնիս մօիցյան քոնամոյա եջոմցվար մօմարտ. TEM CELI- յո ֆյուրացան զյուղու և սոմմացարյ 5 քաջու ժողովա.

სურათი 55ა-ზე ნაჩვენებია მორიგი დასხივებული ნეირონის რეაქციები სტიმულზე. ველის მოდულირების სიხშირე 15 ჰერცს შეადგენს. დასხივებულ ნეირონის შემთხვევაში მიზვების დადგომამდე განერირებულ იქნა 10 ქმედების პოტენციალი, რასაც დაჭირდა 32 წამი მაგრამ ჰაბიტუაცის არ დამდგარა. საკონტროლო ნეირონისდმი იგივე სტიმულის მიწოდებისას აღმოცენდა 5 ქმედების პოტენციალი ხოლო მოჩვენების დასტირდა 20,5 წამი - სურ 55 ბ.



3

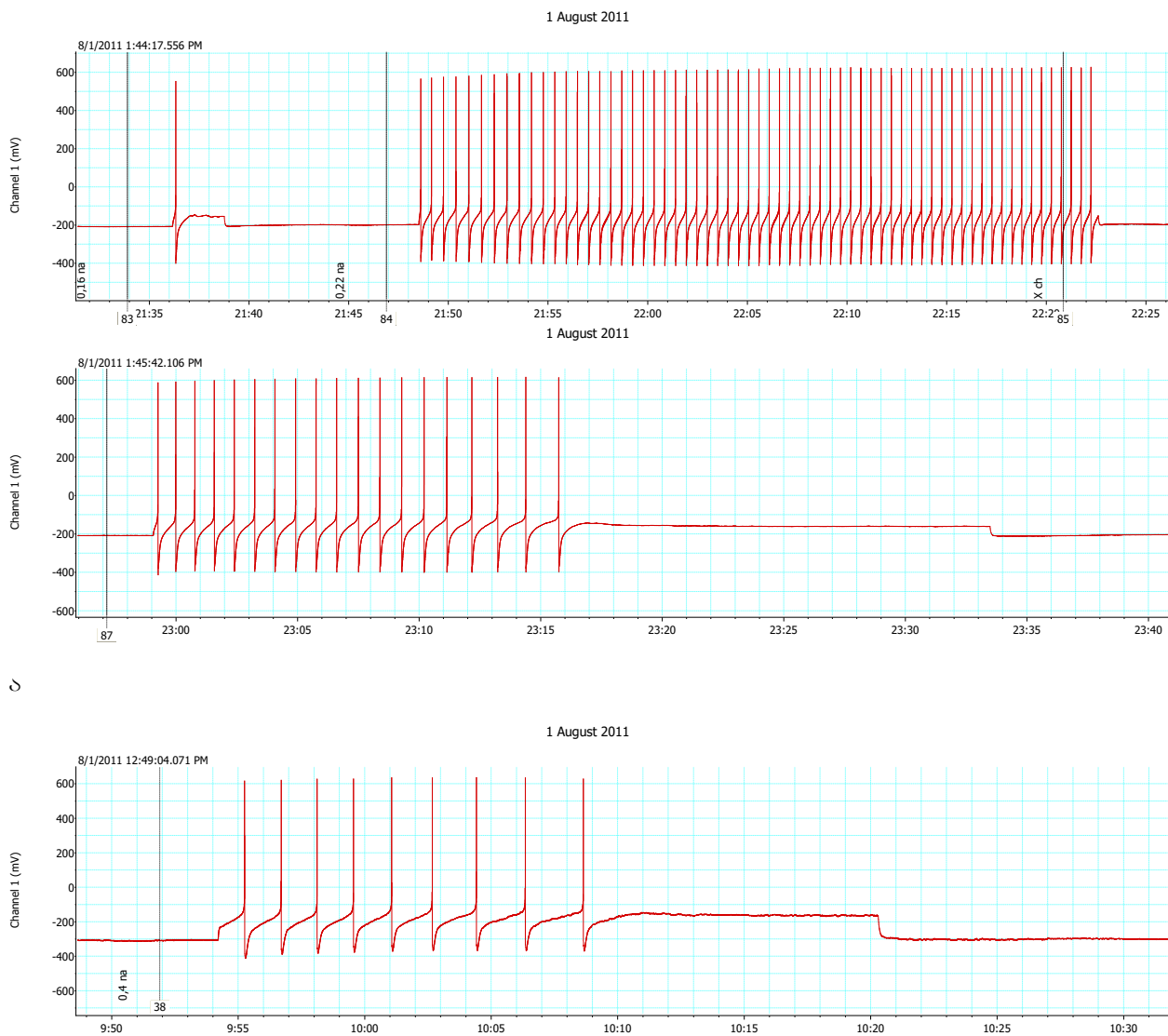


ბ

სურ 55.

ა 15 პერცი სიხშირით მოდულირებული 1800 მგპ ელექტრომაგნიტურ ველში ექსპოზიციონული ნეირონის მიჩვევის დინამიკა. სტიმული შეაღვენს 0,6 კ-ს. TEM CELL-ში შემავალი ველის სიმძლავრე 5 ვატის ტოლია. ა საკონტროლო ნეირონის მიჩვევის დინამიკა იგივე სიდიდის სინაფეურ სტიმულაციაზე.

სურათ 56ა-ზე ნაჩვენებია TEM CELL-ში ექსპოზიციონული იდენტიფიცირებული ნეირონის (LPG#3) რეაქცია სინაფსურ სტიმულაციაზე სტიმულს ნეირონმა უპასუხა 1 ქმედების პოტენციალით. სტიმულის აწევაშ გამოიწვია ხანგრძლივი და ძლიერი რეაქცია. სტიმულის უკან დაწევის შემდეგ დამყარდა მიჩვევა. სურათ 56ბ-ზე მოცემულია საკონტროლო ნეირონის (LPGN#3) სინაფსურ სტიმულაციაზე პასუხები. ადვილი შესამჩნევია, რომ თითმის ორჯერ ძლიერი სტიმული ნეირონში ნაკლებ რეაქციებს იწვევს – სრულ ჰაბიტუაციას დასჭირდა 15,3 წამი.

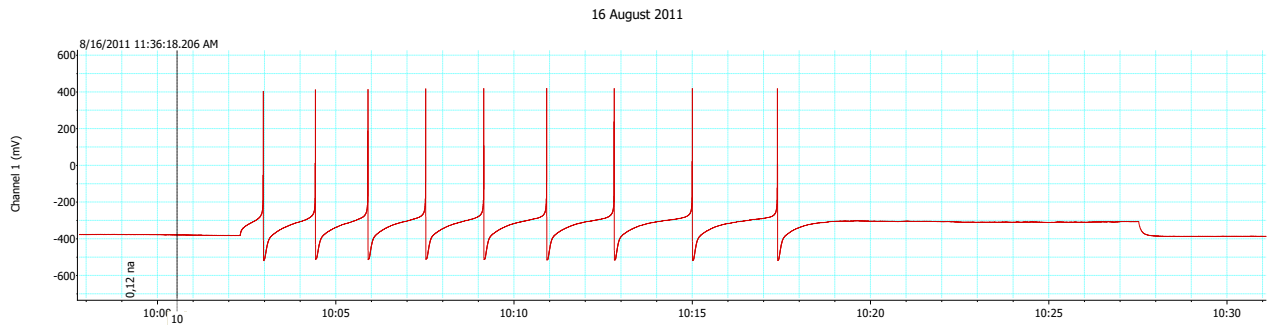


სურ 56.

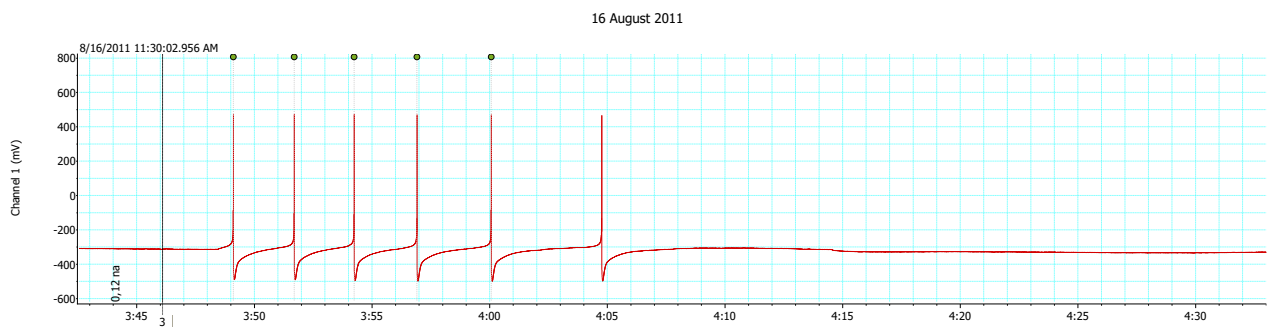
ა 16 პური სის შემორით მოდულირებული 1800 გვრცელებული კლემბერომაგნიტურ კელ ში გებარზიცირებული ნეირონის მიჩვევის დინამიკა სინაფსურ ხტიძელზე. TEM CELL-ში შემავალი კელის სიმძლავრე 5 ვატის ტოლია.

ծ եայտնիքը բարություն է մասնաւության մեջ և այլ պահանջման մեջ.

17 პერციო მოდულირებული სახივებული და შესაბამისი საკონტროლო ნეირონების რეაქციები (RPG#3) ნაჩვევებია სურათზე 57. მოყვნილია TEM CELL-ში დასხივებული ნეირონის მიწვევის დინამიკა სინაფსურ სტიმულაციაზე. რეაქცია შედგება 9 ქმედების პრეტენციალისაგან. მიწვევისათვის საჭირო დრომ 15.9 წამი შეადგინა. 7ბ-ზე გხედავთ საკონტროლო ნეირონის მიწვევის დინამიკას.



६



۲

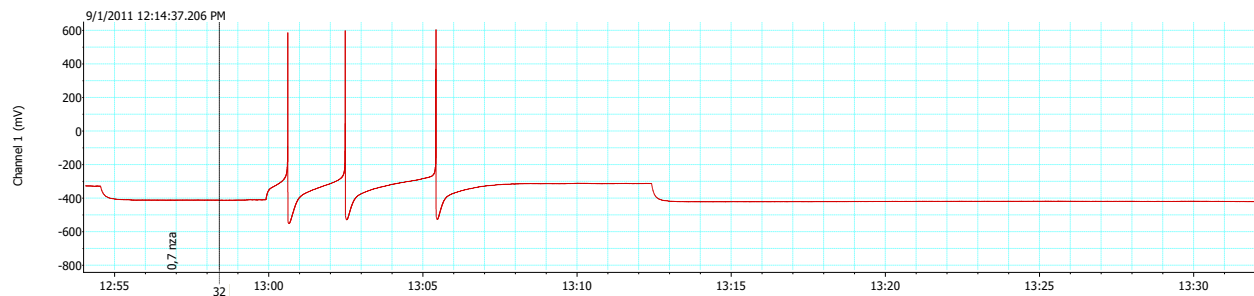
სურ 57.

ა 17 პერიოდი სიხშირით მოდულირებული 1800 მცველე ელექტრომაგნიტურ კელში დასხივებული ნეირონის ძინვევის დინამიკა სინაფსურ სტიმულზე. TEM CELI-ზი შემავალი კელის სიმძლავრე 5 გატის ტოლია.

ბ საკონტროლო ნეირონის ძინვევის დინამიკა იგივე სიდიდის სინაფსურ სტიმულაციაზე.

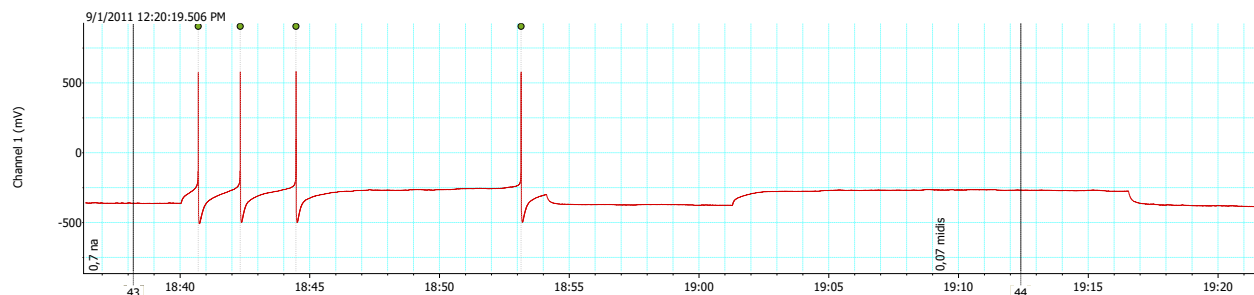
18 პერცით მუდულიორგებული 1800 მგპც სიხშირის კლექტრომაგნიტური ველის გავლენა ნეირონის სინაფსურ სტიმულის მიმართ მიჩვევაზე ნაჩვენების სურათ 58-ზე. სურ 58-ზე ვხედავთ საკონტროლო ნეირონის მიჩვევის დინამიკას, ხოლო 58ბ-ზე დასხივებულისას იგივე სიდიდის სტიმულზე.

1 September 2011



δ

1 September 2011



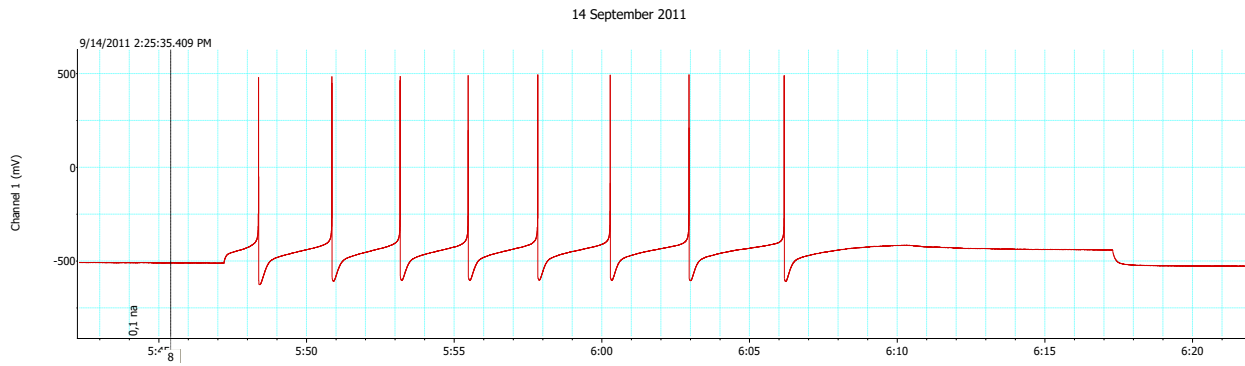
δ

სურ 8.

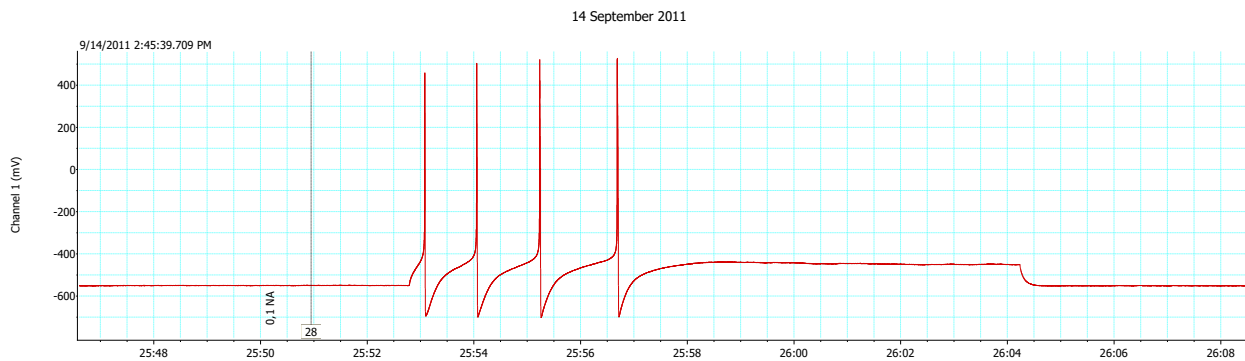
ა საკონტროლო ნეირონის მიჩვევის დინამიკა სინაფსურ სტიმულაციაზე.
(წერტილები ქმედების პოტენციალის თავზე ამ და ყველა სხვა შემთხვევაში
დასვა პროგრამაშ, რომელიც ქმედების პოტენციალების პარამეტრების
შესახვაზადაა განკუთვნილი.)

ბ 18 პერცი სისშირით მოდულირებული 1800 მგჰ ელექტრომაგნიტურ გელ ში
გესტოზიცირებული ნეირონის მიჩვევის დინამიკა სტიმულზე. TEM CELI-ში
შემაგალი გელის სიძლიავრე 5 გატის ტოლია.

19 პერცი სისშირის მოდულაციის ეფექტები მე-59 სურათზეა ილუსტრირებული. 59 არის დახივებული ნეირონის რეაქციები და მიჩვევის სურათი. ხოლო 59 საკონტროლო ნეირონის რეაქცია და მიჩვევაა. ორივე შემთხვევაში სტიმული ერთმანეთის ტოლია. დასხივებულმა ნეირონმა ორჯერ მეტი რაოდენობის იმპულსებით უპასუხა სიდიდით ტოლ სტიმულს.



δ



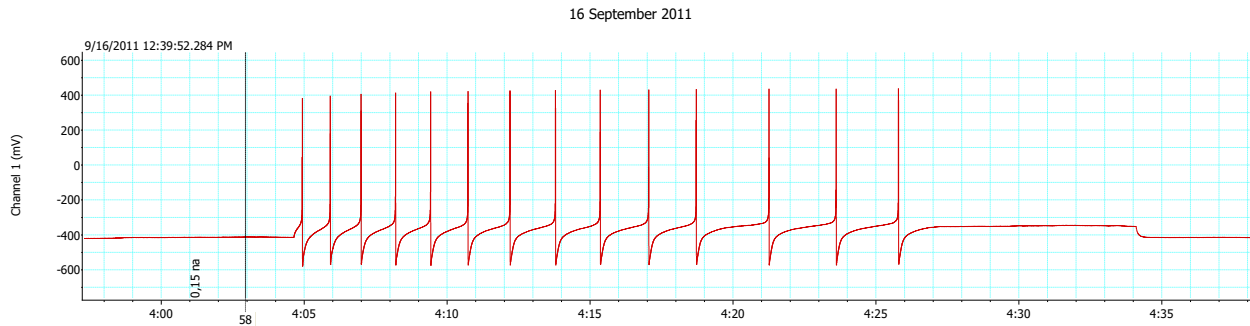
δ

სურ 59.

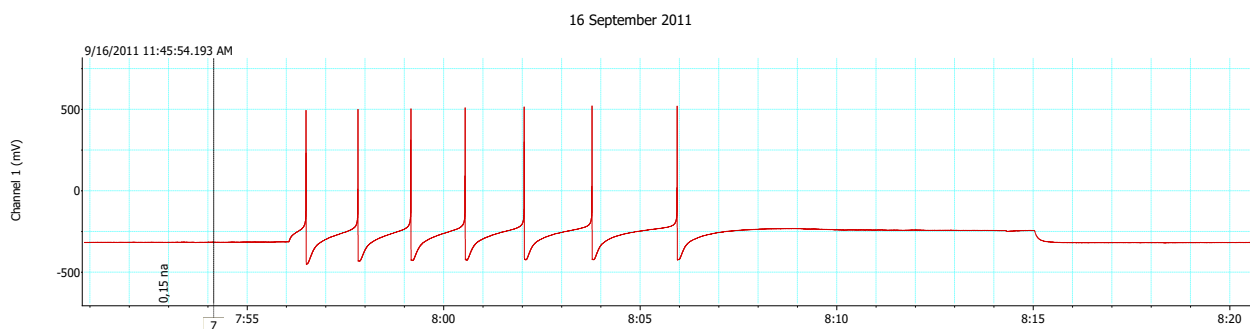
ა 19 პერცი სიხშირით მოდულირებული 1800 მგჰ ელექტრომაგნიტურ ველში ექსპოზიციონული ნეირონის მიჩვევის დინამიკა სტიმულზე. ელექტრომაგნიტური ველის მოდულაციის სიხშირე 19 პერცია. TEM CELL-ში შემაგალი ველის სიძლავე 5 გატის ტოლია.

ბ საკონტროლო ნეირონის მიჩვევის დინამიკა სინაფსურ სტიმულაციაზე. სტიმული ამპლიტუდა აქაც 0,2 გ-ს შეაღგენს.

20 პერცით მოდულაციის სურათი ილუსტრირებულია 60-ე სურათზე. სინაფსურ სტიმულს ნეირონმა უპასუხა 14 ქმედების პოტენციალით. მიჩვევისათვის საჭირო დრომ 22 წამი შეადგინა. იგივე ამპლიტუდის მქონე სტიმულზე საკონტროლო ნეირონის რეაციები აშკარად ნაკლებია. პაბიტუაციისათვის საჭირო დრო ასევე თითქმის 2 ჯერ ნაკლებია და 10,75 წამის ტოლია.



5



१

სურ 60.

ა1800 მცველებრომაგნიტურ კელში ექსპოზიციებული ნეირონის ძირებების დინამიკა სტატუსზე კლეიპტორმაგნიტური კელის მოდულაციის სიხშირე 20 ჰერცია. TEM CELL-ში შემავალი კელის სიმძლავრე 5 ვატის ტოლია. ბ საკონტროლო ნეირონის ძირებების დინამიკა სინაფსურ სტატუსზე სტატუსზე.

ପ୍ରକାଶକ:

1-20 ჰერცი სიხშირით მოდულირებული ელექტრომაგნტური გელის ზემოქმედების შედეგად ნეირონის სინაფსურად გასაღიზიანებლად ნაკლები ამპლიტუდის მქონე სტიმული აღმოჩნდა საჭირო, ე.ი გელში ექსპოზიციით გაიზარდა ნეირონის აღგზებადობა. ადგილი აქვს მიზგვევისათვის საჭირო ღროის გახანგრძლივებას საკონტროლო ნეირონებთან შედარებით.

დაბალი სიხშირის ქმვ გავლენა ნეირონზე

ამოცანების გეგმის თასნახმად შესასწავლი იყო 1-20 პერცი დაბალი სიხშირის ელექტრომაგნიტური ველის (ემვ) ნეირონის უჯრედშიგა და სინაფსურ სტიმულაციებზე მიჩვევის პროცესზე გავლენის გამოკვლევა . აღნიშნული სიხშირეები შეიძლება გამოყენებულ იქნას როგორც მოდულაციის დაბალი სიხშირეები GSM სიგნალებში. დაბალი სიხშირის ელექტრომაგნიტური ველების მისაღებად გამოყენებულ იქნა ჩეკნები მიერ დამუშავებული და შექმნილი ჰელმჰოლცის კოსტი.

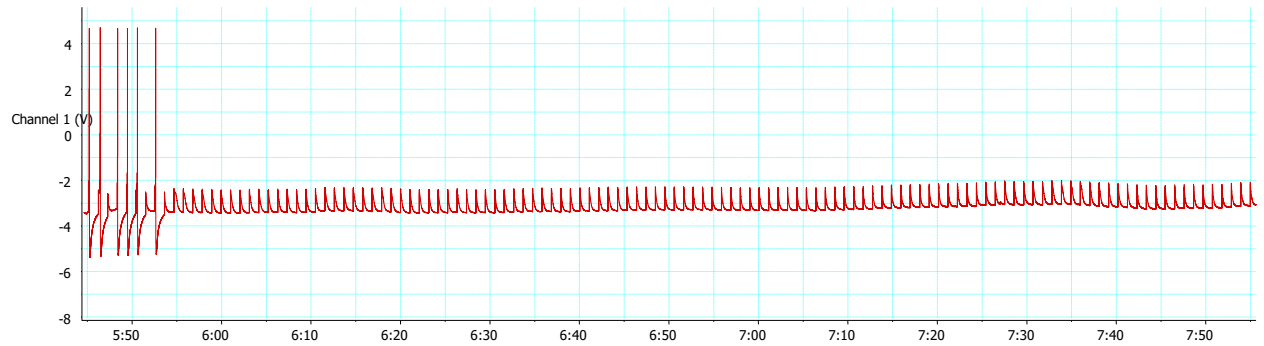
ჰელმიოლცის კოჭებში მუდმივი დენის გატარების შედეგად მათ ცენტრში მიიღება ერთგვაროვანი მაგნიტური ველი. ოუ კოჭებში გავატარებთ ცვლად დენს (ჩვენს შემთხვევაში 1 დან 20 -მდე ჰერცი სიხშირის ცვლად დენს, მაშინ კოჭების ცენტრში მიიღება ცვლადი ელექტრომაგნიტური ველი რომლის სიხშირე ემთხვევა გატარებული დენის სიხშირეს. ამრიგად, საპვლევი ნეირონის მოთავსება კოჭების ცენტრში განაპირობებს ამ ნეირონების დასხივებას შესაბამისი სიხშირის ელექტრომაგნიტური ველით. განსხვავებით მაღალი სიხშირების ექსპერიმენტებისა, სადაც დასხივებისათვის TEM Cell-ს ვიუნებდით, ამ შემთხვევაში შესაძლებელი იყო ნეირონის რეაქციებზე ელექტრომაგნიტური ველის ზემოქმედების დაკვირვება უშუალოდ დახივების პირობებში, რადგან მიკროელექტროდების მოთავსება ნეირონში შესაძლებელია კოჭებში არსებული ცარიელი არების გავლის საშუალებით. ელექტრომაგნიტური ველის მაგნიტური

ხანმოკლე უჯრედშიგა იმპულსების შერჩევა სტიმულაციისათვის შემდეგი მოსაზრებით არის განაპირობებული: სტიმული იწვევს ნეირონის დეპოლარიზაციას. დეპოლარიზაციის ეს ტალღა მასტიმულირებელი ელექტროდის წვერიდან მიემართება აქსონურ ბორცვისაკენ, სადაც განლაგებულია ქმედების პოიტენციალის აღმოცენების ტრიგერული ზონა. სტიმულის მოძრაობა ამ ზონამდე ელექტროტონურია და განაპირობებს ლატენტურ პერიოდს. ჩვენს მიერ შერჩეული სტიმულის ხანგრძლივობა-4 მილიწამი კი გაცილებით ნაკლებია ლატენტურ პერიოდთან შედარებით, ამიტომ ნებისმიერი ეფექტი, რომელიც შეიძლება დამზერილ იქნას არის მხოლოდ და მხოლოდ დასხივების ზემოქმედების შედეგი და არ შეიძლება მიეწეროს სტიმულციის სახეს.

როდესაც ხდება ნეირონის სინაფსური სტიმულაცია, აქაც მასტიმულირებელ აგენტად შევარჩიეთ ასევე იმპულსები, ოდინდ არა დენის არამედ ძაბვისა. სტიმული მოედება მარცხენა პალიალური ნერვის განშოტებას, რაც სტიმულციის ინვარიანტობას განაპირობებს.

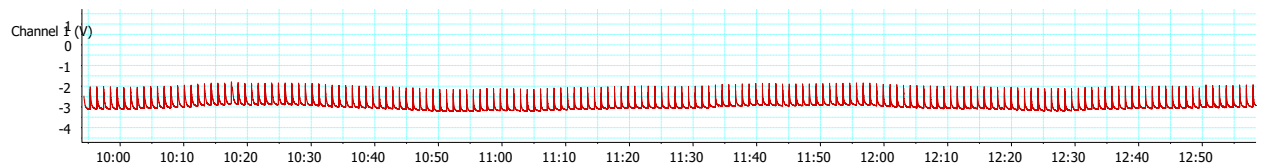
სურათ 61ა-ზე ნაჩვენებია საკონტროლო ნეირონის რეაქციები და მიჩვევის დინამიკა სტიმულაციაზე. სტიმულის ამპლიტუდა შეადგენს 0,6 ნა-ს, რაც ოდნავ მეტია მის ზღურბლოვან მნიშვნელობაზე. ვხედავთ რომ ნეირონმა სტიმულს უპასუხა 6 ქმედების პოტენციალით, რის შემდეგაც დამყარდა სრული პაბიტუაცია. პაბიტუაციის დამყარების შემდეგ ჩანაწერში ვაკვირდებით მხოლოდ მცირე ზომის არტეფაქტულ “კბილანებს”. ოუ კი პაბიტუაციის დადგომის შემდეგ სტიმულის მიწოდებას არ შევწყვეტო, ჩანაწერში ფისქირდება მხოლოდ “კბილანები”, რაგინდ დიდხანს არ უნდა ხდებოდეს სტიმულაცია. სურ 61ბ ნაჩვენებია იგივე ნეირონის უჯრედშიგა ჩანაწერი სტიმულაციის მე-5 წუთზე. ნეირონის პაბიტუაციის დინამიკა და მასზე 1 ჰერცი სიხშირის მქონე ელექტრომაგნიტური ველის გავლენა ილუსტრირებულია სურათ 61გ-ზე. აქ სტიმულის ამპლიტუდა 0,5 ნა-ს ტოლია. ნეირონმა სტიმულაციას უპასუხა 38 ქმედების პოტენციალით. პაბიტუაციას დაჭირდა 68 წამი. პაბიტუაციის დადგომიდან 3 წუთის შემდეგ ჩართულ იქნა 1 ჰერცი სიხშირის ელექტრომაგნიტური ველი. ველის დაძაბულობა 15 მილიტესლა. ვხედავთ რომ, ნეირონმა მოახდინა ქმედების პოტენციალთა გენერირება. ველის გამორთვის შემდეგ ქმედების პოტენციალების გენერირება უმაღვე შეწყდა -სურ 61დ.

5 November 2011.adicht



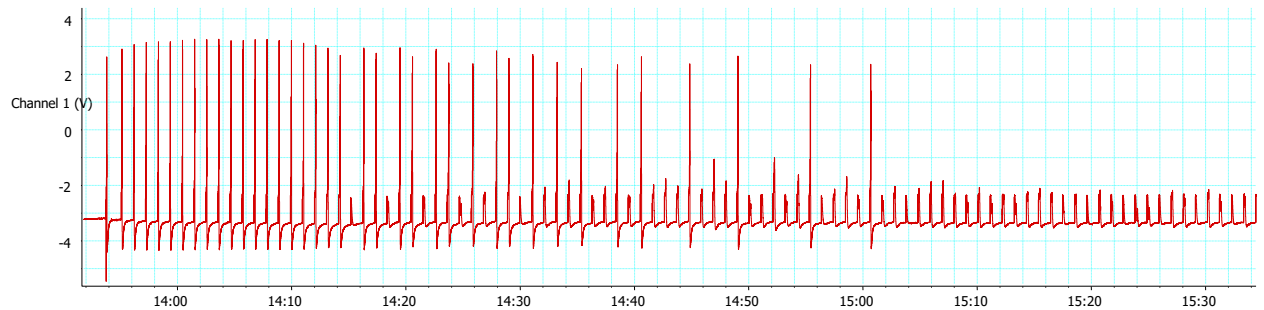
♂

5 November 2011.adicht



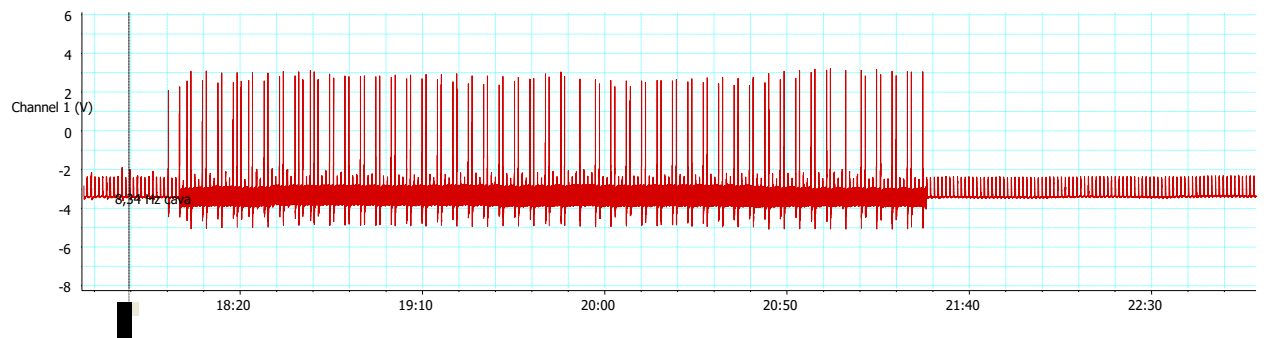
♂

16 November 2011 (1).adicht



♂

16 November 2011 (1).adicht

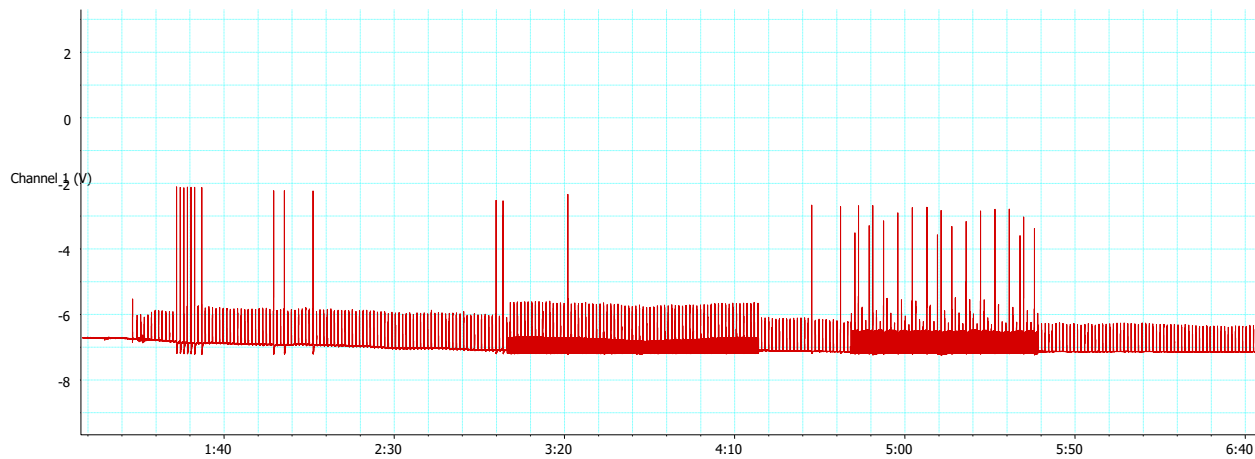


♀

სურ. 61 ა) ბ) და გ) ხაკონტროლო ნეირონებია, დ) დასხივებული ნეირონია

სურათ 62-ზე ნაჩვენებია 2 პერცი სიხშირის ელექტრომაგნიტური ველის გავლენა ნეირონის ჰაბიტუაციაზე და დეპაბიტუაციაზე. თავდაპირველად ნეირონი მიეჩვია სტიმულს, რასაც 42 წამი დასჭირდა. ჰაბიტუაციის დადგომიდან 52-ე წამზე ჩართულ იქნა 10 მილიტესლა დაძაბულობის ელექტრომაგნიტური ველი. ნეირონმა მას რამოდენიმე ქმედების პოტენციალის აღმოცენებით უპასუხა. ველის ხანმოკლე გამორთვისა და ისევ ჩართვის შემდეგ ნეირის რეაქციები უფრო მკვეთრად აღსდგა, თუმცა ველის გამორთვისთანავე ქმედების პოტენციალთა გენერირება შეწყდა.

15 December 2011 .adicht



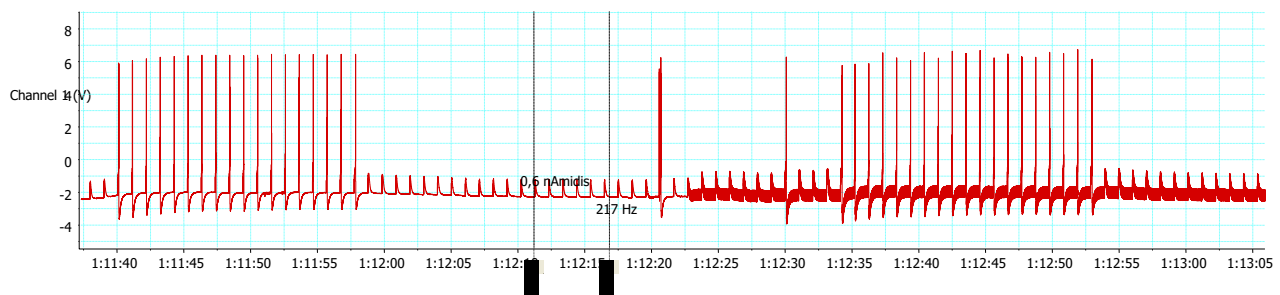
სურ. 62.

2 პერცი სიხშირის ელექტრომაგნიტური ველის გავლენა დეპაბიტუაციაზე.

სურათ 63-ზე ნაჩვენებია 3 პერცი სიხშირის მქონე ელექტრომაგნიტური ველით დასხივებული ნეირონების მიზვევის დინამიკა უჯრედშიგა სტიმულციის მიმართ.

მიზვევა დამყარდა 18 წამში 18 ქმედების პოტენციალის გენერირების შემდეგ. ჰაბიტუაციის დადგომიდან 0,5 წუთის შემდეგ ჩართულ იქნა 3 პერცი სიხშირის ელექტრომაგნიტური ველი 15 მილიტესლა დაძაბულობით. დეპაბიტუაცია აშკარადად გამოიკვეთილი.

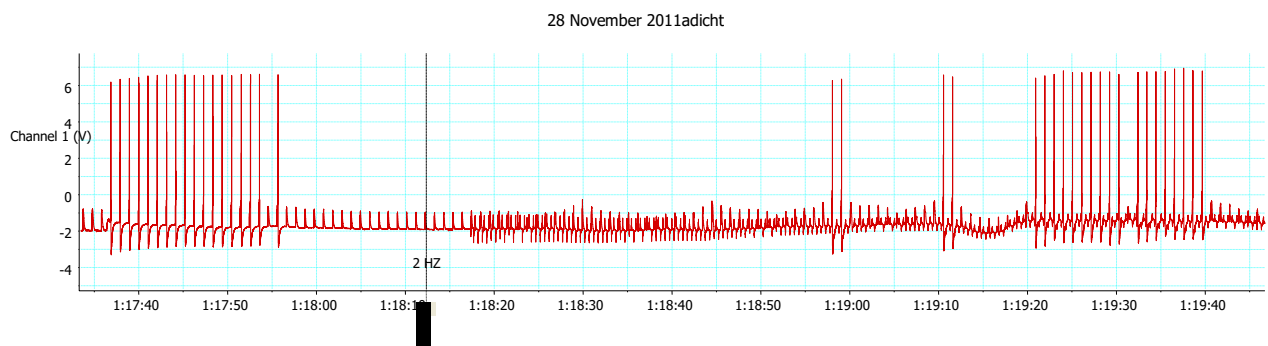
2 November 2011dicht



სურ. 63.

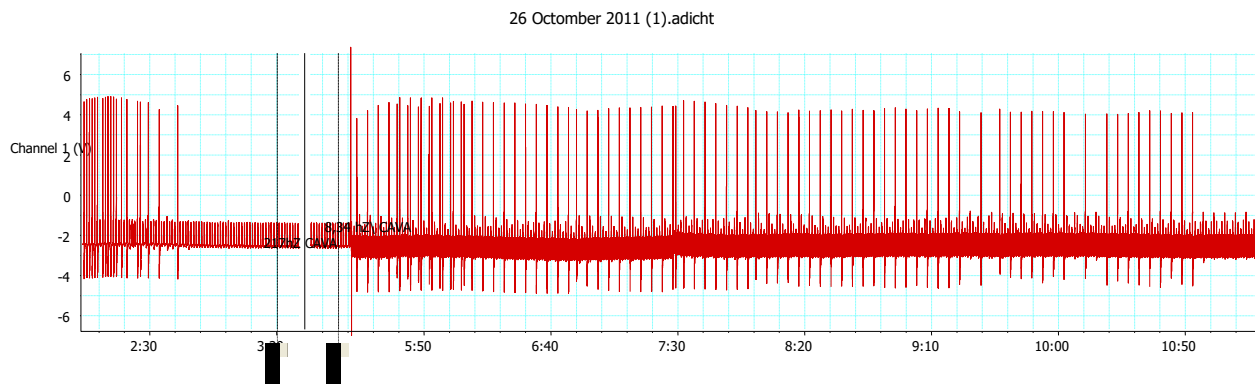
3 პერიოდი სიხშირის ელექტრომაგნიტური ველის გავლენა დაბიტუაციაზე.

სურ 64-ზე ნაჩვენებია 4 პერიოდი სიხშირის ელექტრომაგნიტური ველის გავლენა ჰაბიტუაციის დარღვევაზე.

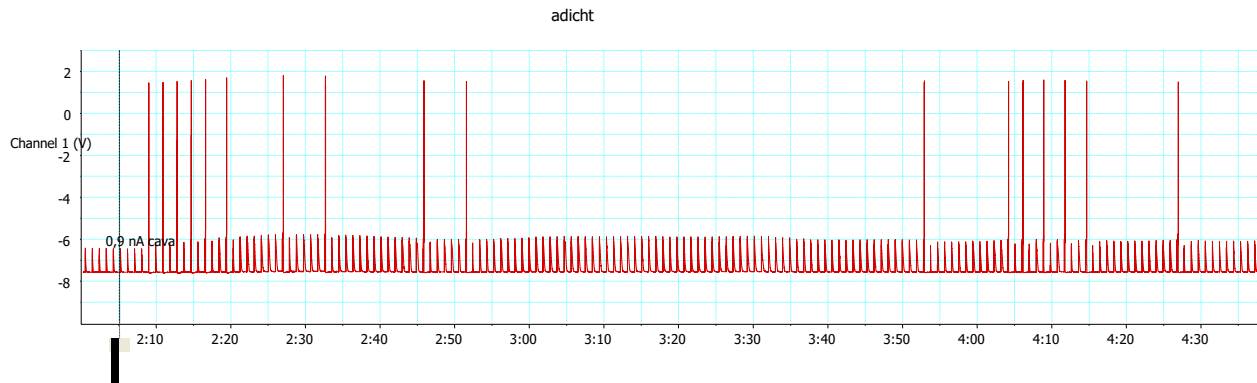


სურ. 64 ჰაბიტუაციის დაღვევა 4 პერიოდი სიხშირის ძონებები ელექტრომაგნიტური ველის ჩართვის შედეგად.

მე- 65-ე სურათზე ვხედავთ 5 პერიოდი სიხშირის მქონე ელექტრომაგნიტური ველის მიერ ჰაბიტუაციის დაღვევას:



სურ. 65 . 5 პერიოდი სიხშირის ელექტრომაგნიტური ველის გავლენა ჰაბიტუაციის დარღვევაზე.

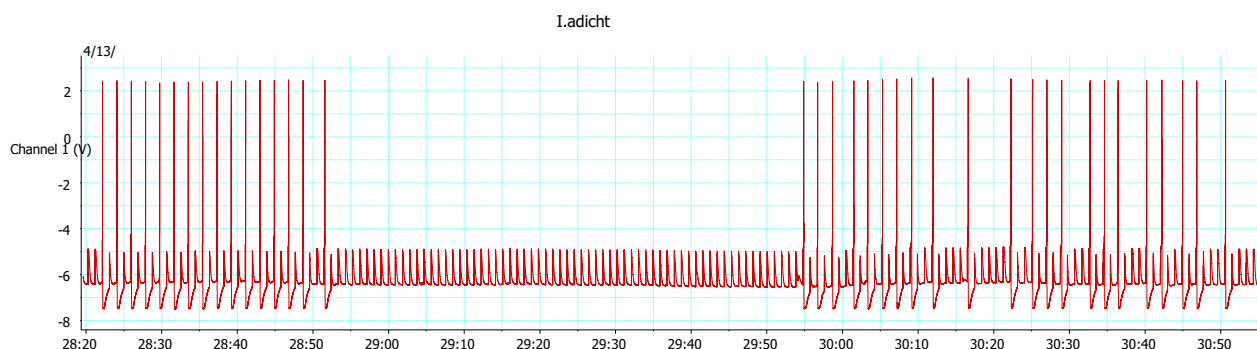


სურ. 66

სურათ 66-ზე ნაჩვენებია 6 ჰერცი სიხშირის ელექტრომაგნიტური ველის გავლენა ნეირონის მიზევის დინამიკაზე. იმისათვის რომ მიგვეღო ქარგა “1 ქმედების პოენციალი 1 სტიმულზე” საწყისი სტიმულის ამპლიტუდად შევარჩიეთ ზღურბლს ქვედა მნიშვნელობა 0,6 ნა. 10 ასეთ სტიმულზე ნეირონს რეაქციები არ აქვს-ის სურ-ის დასაწყისი. შემდეგ სტიმულის ამპლიტუდა აწეულ იქნა 0,9 ნა-მდე. ნეირონმა მათ უპასუხა ქმედების პოტენციალებით. მათი რაოდენობა შეადგენს 10. ქმედების პოტენციალების გენერირების შემდეგ ნეირონი მიეჩვია სტიმულს. ჩანაწერში შეინიშნება მხოლოდ სტიმულის მიერ გამოწვეული მცირე არტეფაქტები. პაბიტუაციის დადგომიდან 1 წუთის შემდეგ ჰელმოლუცის კოჭებში გატარებულ იქნა 6 ჰერცი სიხშირის ცვალდი დენი, რამაც ნეირონის მოთავსების ადგილზე შექმნა 10 მილიტესლა დაძაბულობის ელექტრომაგნიტური ველი. ველის ჩართვაშ გამოიწვია ნეირონის მიერ რამდენიმე ქმედების პოტენციალების აღმოცენება.

სურათ 67-ზე ნაჩვენებია 7 ჰერცი სიხშირის მქონე ელექტრომაგნიტური ველით დასხივებული ნეირონების მიზევის დინამიკა უჯრედშიგა სტიმუაციის მიმართ.

აქ ზღურბლოვანი სტიმულის ამპლიტუდა 1,5 ნა ტოლი აღმოჩნდა. ნეირონი სტიმულს მიეჩვია 29,6 წამის შემდეგ. პაბიტუაციის დადგომიდან 62 წამის შემდეგ ჩართულ იქნა 7 ჰერცი სიხშირის ელექტრომაგნიტური ველი 10 მილიტესლა დაძაბულობით. დაკაბიტუაცია ხანგრძლივად გამოიკვეთა.

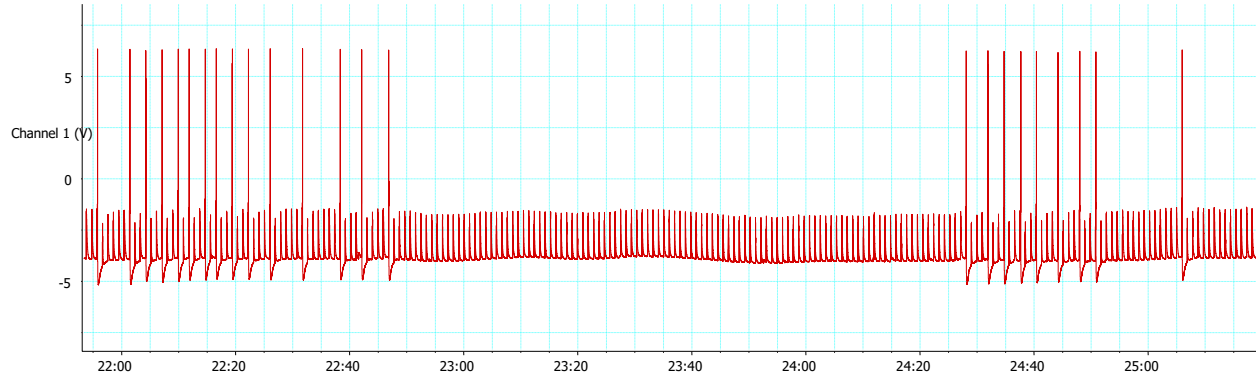


სურ. 67

7 პერცი სიხშირის ელექტრომაგნიტური კელის ზემოქმედება ნეირონის მიხევასა და მიხევის დარღვევაზე.

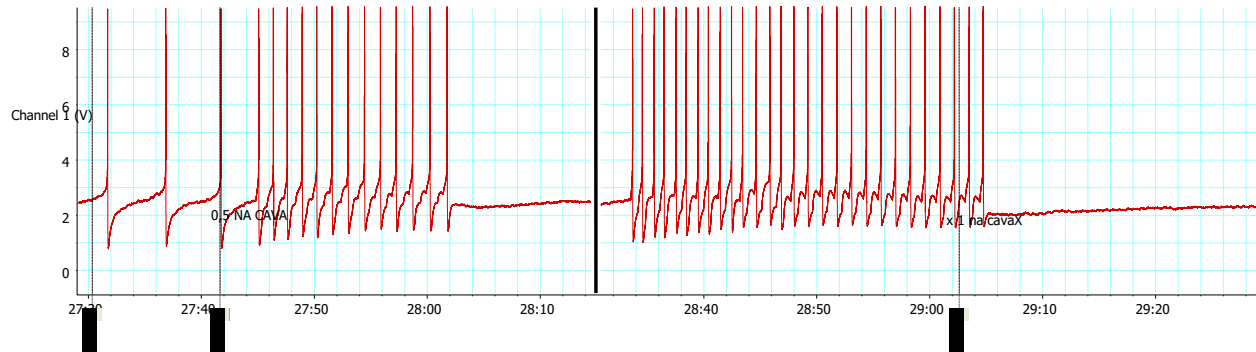
აღსანიშნავია ის გარემოება, რომ ცვლად ელექტრომაგნიტურ კელში მოთავსება ყოველთვის იწვევს მიხევის დარღვევას, თუმცა რაიმე სტატისტიკური გავსხვავება მიხევის დარღვევის დინამიკაში ან სხვა რომელიმე პარამეტრში გამოკვლეულ სიხშირეებისათვის არ იქნა გამოვლენილი. ამიტომ შემდეგ სურათზე ნაჩვენებია მხოლოდ 10 პერცი სიხშირის ელექტრომაგნიტური კელის გავლენა დაბაბიტუაციაზე,

.adict



სურ. 68

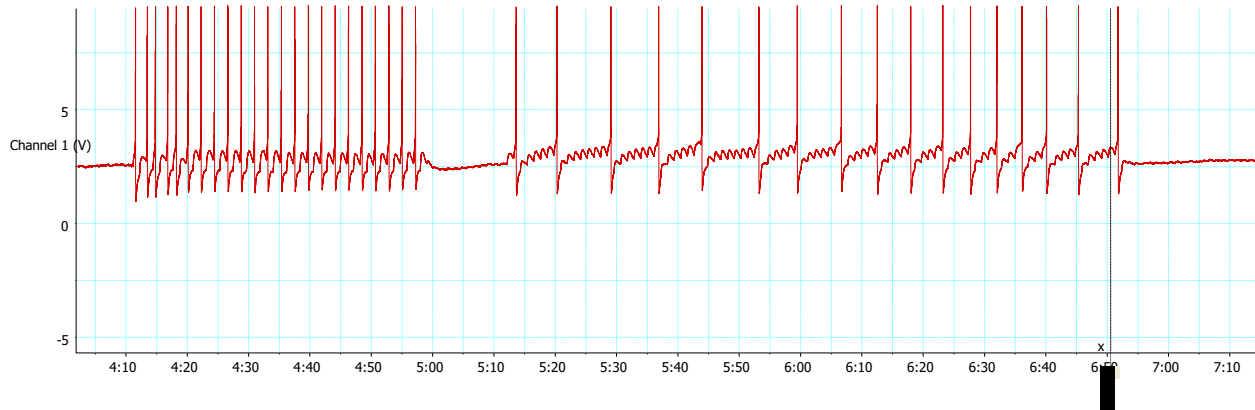
10 პერცი სიხშირის მქონე ელექტრომაგნიტური კელის ჩართვის შედეგად გამოწვეული ჰაბიტუაციის დაღვევა. კელის დაძაბულობა 10 მილი ტესლა.



სურათი 69. ნეირონის მიხევის დინამიკა და ჰაბიტუაციის დარღვევა მაგნიტური კელის მოდების პირობებში. მაგნიტური კელის სიხშირეა 11 პერცი, ამჟღვიტუდა შეადგენს 10 მილიტესლას.

სურათ 70-ზე ნაჩვენებია 12 პერცი სიხშირის მქონე მაგნიტური კელის ჩართვის გავლენა ნეირონის ჰაბიტუაციის დათრგუნვაზე. ნეირონის უჯრედსშიგა სტიმულაცია დაიწყო დროის მომენტიდან რომელსაც აბსცისათა დერძზე შეესაბამება 4:20. 5:00-ზე დამყარდა ჰაბიტუაცია- შეწყდა ქმედების პოტენციალების გენერირება სტიმულის

მიმართ. 7 წამის შემდეგ ჩართულ იქნა 12 პერცის მქონე ცვლადი მაგნიტური ველი. ველის ამპლიტუდა 10 მილიტესლა. მაგნიტური ველი ჩართული იყო 5:10-დან 6:50-მდე. მოხდა პაბიტუაციის დარღვევა. მაგნიტური ველის გამორთვისთანავე ქმედების პოტენციალების გენერირება შეწყდა და აღსდგა პაბიტუაცია.

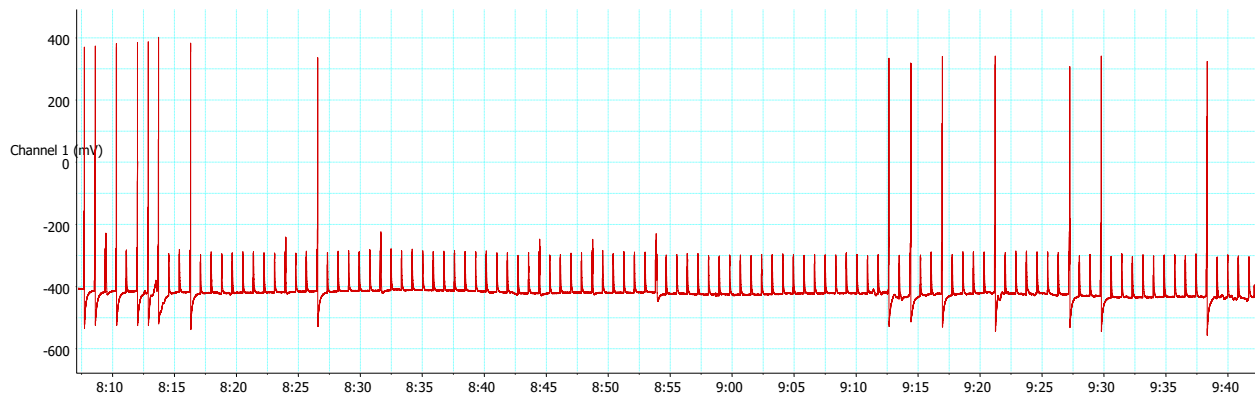


ჩართული ველის გაცვლა მაგნიტური ველის გაცვლენა ნეირონის უჯრედშიგა ხელის გაცვლის დროს.

12 პერცი სიხშირის მქონე ცვლადი მაგნიტური ველის გაცვლენა ნეირონის უჯრედშიგა ხელის გაცვლის დროს.

სურათ 71-ზე ნაჩვენებია 13 პერცი სიხშირის მქონე ცვლადი მაგნიტური ველით დასხივებული ნეირონების მიხვევის დათრგუნვის სურათი უჯრედშიგა სტიმულციის მიმართ.

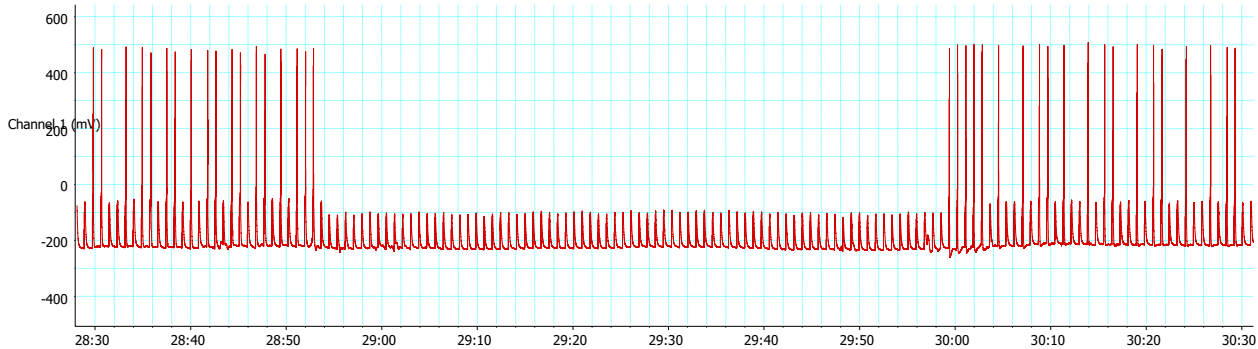
აქ ზღურბლოვანი სტიმულის ამპლიტუდა 0,7 ნა იყო. ნეირონი სტიმულს მიეჩვია 19 წამის შემდეგ. პაბიტუაციის დადგომიდან 45 წამის შემდეგ ჩართულ იქნა 13 პერცი სიხშირის ელექტრომაგნიტური ველი, რომლის დაძაბულობის ამპლიტუდა 10 მილიტესლა. დეპაბიტუაცია აშკარად გამოიკვეთა, თუმცა ნეირონი ქმედების პოტენციალებით პასუხობს არა ყველა უჯრედშიგა სტიმულს.



ჩართული ველის გაცვლა მაგნიტური ველის გაცვლის დროს.

13 პერცი სიხშირის ცვლაქმაგნიტური ველის ზემოქმედება ნეირონის მიჩვევაზე უჯრედშიგა სტიმულაციის მიმართ და ამ მიჩვევის დარღვევა 13 პარცი სიხშირის მქონე ცვლადი მაგნიტური ველის მოდებისას.

სურათ 72-ზე ილუსტრირებულია 14 პერცი სიხშირის ცვალი მაგნიტური ველის გავლენა დაბაბიტუაციაზე. მასტიმულირებული სტიმულის ამპილიტუდა იყო 1,5 ნა. ამის გამო რეაქციები დიდხანს გაგრძელდა. ოსცილოგრამაზე ვხედავთ მხოლოდ პაბიტუაციის დადგომის მომენტს 20:52-ე წამზე. მიუხედავად პაბიტუაციის დაგდგომისა სტიმულცია გაგრძელდა. პაბიტუაციის დაგდგომიდან 1 წუთის შემდეგ მოდებულ იქნა 14 პერცი სიხშირის ცვალი მაგნიტური ველი. ვეილს ჩართულობა გაგრძელდა 30 წამის განმავლობაში. მთელი ამ დროის განმავლობაში პაბიტუაცია დაითრგუნა და ნეირონი პასუხობს სტიმულს ქმედების პოტენციალებით.

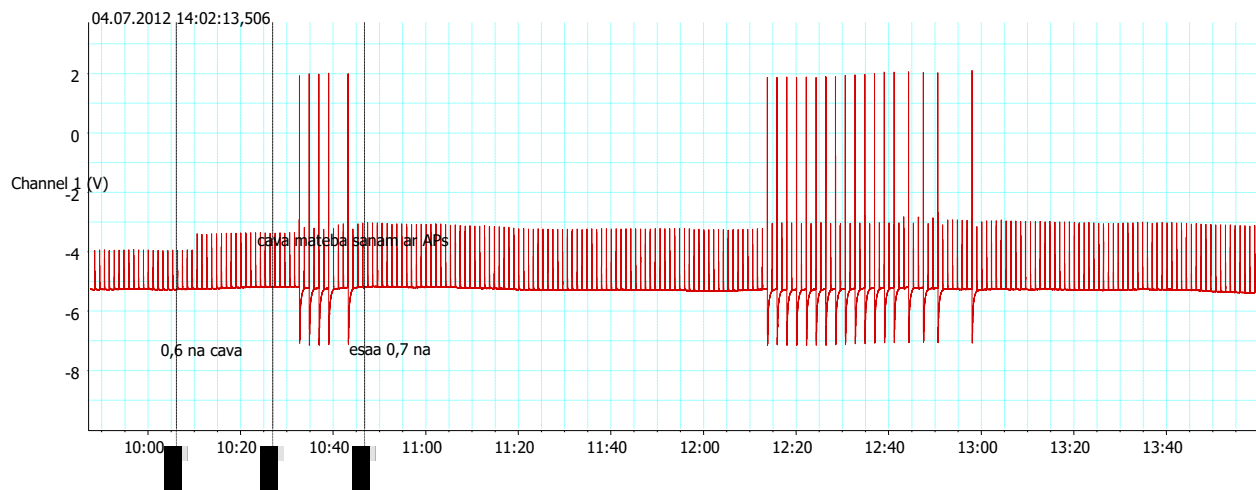


სურ. 72.

14 პერცი სიხშირის ცვლადი მაგნიტური ველის ჩართვის შედეგად გამოწვეული პაბიტუაციის დაღვევა. ველის დაძაბულობა 10 მილი ტელადა.

სურათ 73-ზე ნაჩვენებია 16 პერცი სიხშირის მაგნიტური ველის გავლენა ნეირონის უჯრედშიგა სტიმულაციაზე მიჩვევის დინამიკაზე. დენის მასტიმულირებული იმპულსების თავდაპირველი ამპლიტუდა 0,6 ნა-ს ტოლი იყო. ვხედავთ, რომ ნეირონი ამ სტიმულებს ქმედების პოტენციალებით ვერ პასუხობს. შემდეგ მასტიმულირებულ დენის იმპულსთა ამპლიტუდა აწევს იქნა 0,7 ნა-მდე. ნეირონმა მათ უპასუხა 5 ქმედების პოტენციალებით და დამყარდა პაბიტუაცია- ჩანაწერში შეინიშნება მხოლოდ მცირე მადეპოლარიზებეილი არტეფაქტები (“კბილები”). პაბიტუაციის დადგომიდან 1 წუთსა და 29 წამის შემდეგ მოდებულ იქნა 12 მილიტესლა ამპლიტუდის ცვლადი მაგნიტური ველი- სიხშირით -16 პერცი. 44 წამის განმავლობაში აღსდგა ქმედების პოტენციალების გენერირება, თუმცა შემდეგ ისევ დამყარდა პაბიტუაცია.

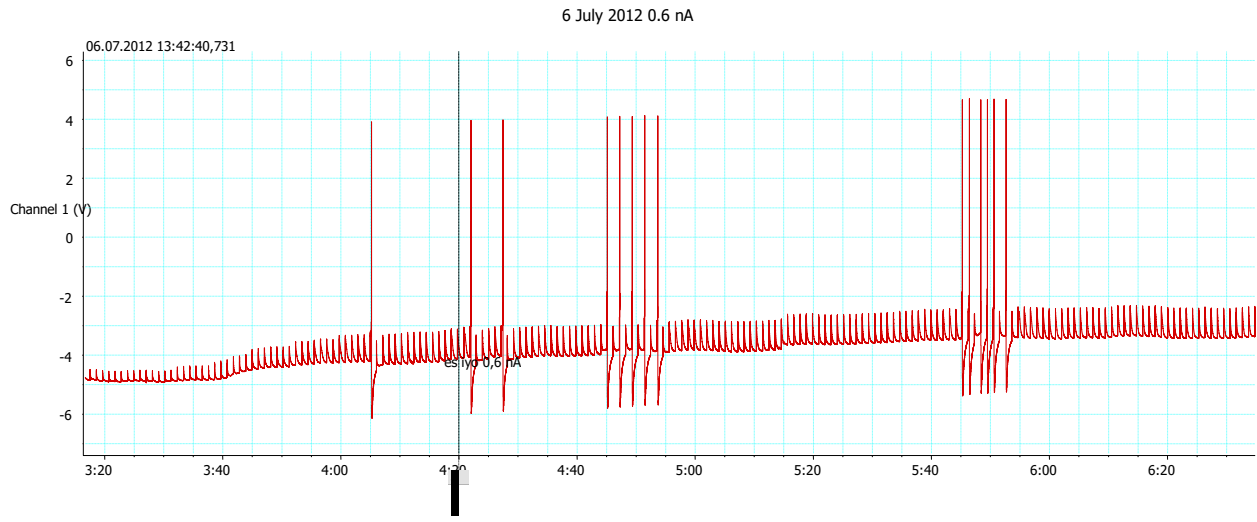
4 July 2012 0.7 nA



სურ. 73

16 პერცი სიხშირის მაგნიტური ველის გაფლენა დფაბიტუაციაზე.

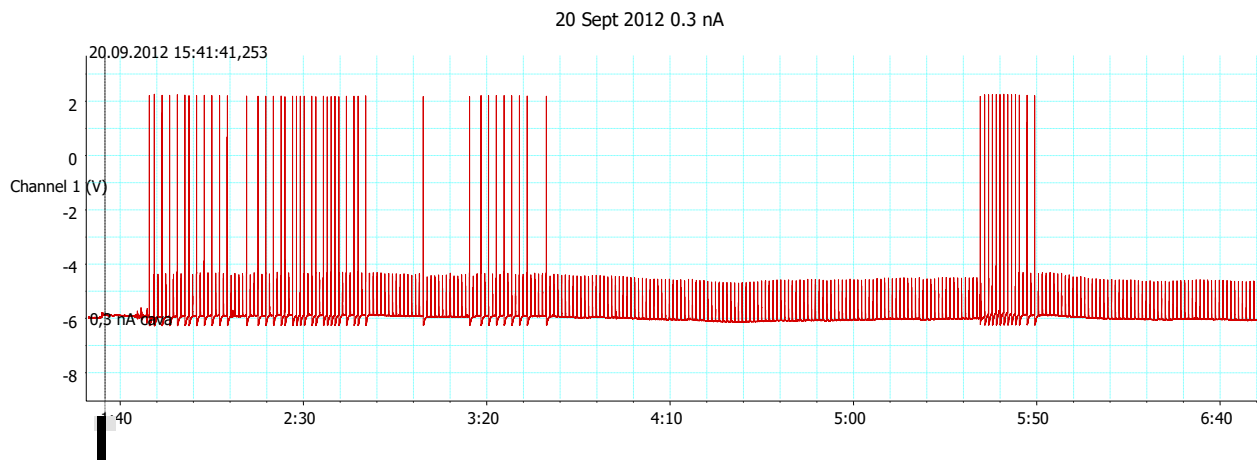
სურათზე 74 ილუსტრირებულია 17 პერცი სიხშირის მქონე მაგნიტური ველის ზეგავლენა ნეირონზე. თავდაპირველად სტიმულაცია დაწყებულ იქნა 0,1 ნა ამპლიტუდის სტიმულებით, თუმცა ქმედების პოტენციალები არ აღმოცენებულან. პირველი ქმედების პოტენციალი აღმოცენდა 0,5 ნა სტიმულზე, მაგრამ ამ ერთი ქმედების პოტენციალის გარდა მეტი აღარ გენერირებულა. ამიტომ სტიმულის ამპლიტუდა ისევ იქნა გაზრდილი 0,6 ნა-მდე- აღმოცენდა მხოლოდ 2 ქმედების პოტენციალი. ჰაბიტუაციის დასამზერად დაჭირო შეიქმნა სტიმულის ამპლიტუდის გაზრდა 0,7 ნა-მდე. ნეირონმა უპასუხა 5 ქმედების პოტენცილით და შემდეგ დამყარდა ჰაბიტუაცია. სტიმულაცია გაგრძელდა მაგრამ ქმედების პოტენცილები აღარ აღმოცენებულან. ამ ფონზე 51 წამის შემდეგ მოდებულ იქნა 12 მილიტესლა ამპლიტუდის მქონე 17 პერცი სიხშირის მაგნიტური ველი. ქმედების პოტენციალების გენერირება აღსდგა 10 წამის განმავლობაში და ნეირონმა აღმოაცენა 6 ქმედების პოტენციალი.



სურათი 74.

17 პერცის გავლენა ჰაბიტუაციაზე

მე-75 სურათზე მოცემულია 18 პერცი სიხშირის მქონე მაგნიტური ველის მიერ ჰაბიტუაციის დარღვევის სურათი, როდესაც ნეირონი მიეწვია უჯრედშიგა სტიმულებს. ნეირონი საკამოდ აღგზნებადი იყო და ქმედების პოტენციალებით რეგირება მოახდინა უკვე 0,3 ნა ამპლიტუდის მქონე სტიმულებზე. რეაქციები საქმაო ხანს გაგრძელდა-სრულ ჰაბიტუაციას დაჭირდა 1 წუთი და 51 წამი. ამის შემდეგ თითქმის 2 წუთის განმავლობაში სტიმულაცია არ შეწყვეტილა, მაგრამ რეაქციებში არც ერთი ქმედების პოტენციალი არ ჩანს. ამ ფონზე მოხდა 6 მილიტესლა ამპლიტუდის მქონე მაგნიტური ველის ჩართვა, რასაც მყისიერად მოყვა ნეირონის მიერ ქმედების პოტენციალთა გენერირება- ე.ი. ჰაბიტუაციის დარღვევა. მაგნიტური ველი ჩართული იყო 14 წამის განმავლობაში. მისი გამორთვისთანავე ნეირონმა შეწყვიტა ქმედების პოტენციალების აღმოცენება.

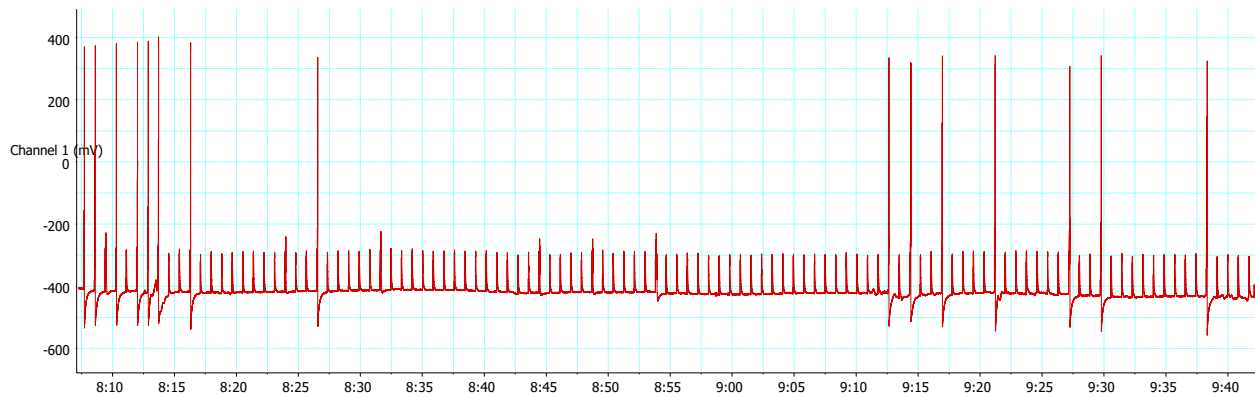


სურ. 75

18 პერცის გავლენა ჰაბიტუაციაზე

სურათ 76-ზე ნაჩვენებია 19 პერცი სიხშირის მქონე ცვლადი მაგნიტური ველით დასხივებული ნეირონების მიჩვევის დათრგუნვის სურათი უჯრედშიგა სტიმულციის მიმართ.

აქ ზღურბლოვანი სტიმულის ამპლიტუდა 0,5 ნა იყო. ნეირონი სტიმულს მიეწვია 20 წამის შემდეგ. შემდეგ ჩართულ იქნა 19 პერცი სიხშირის მაგნიტური ველი, რომლის დაძაბულობის ამპლიტუდაა 12 მილიტესლა. დეპაზიტუაცია აშკარად გამოიკვეთა.

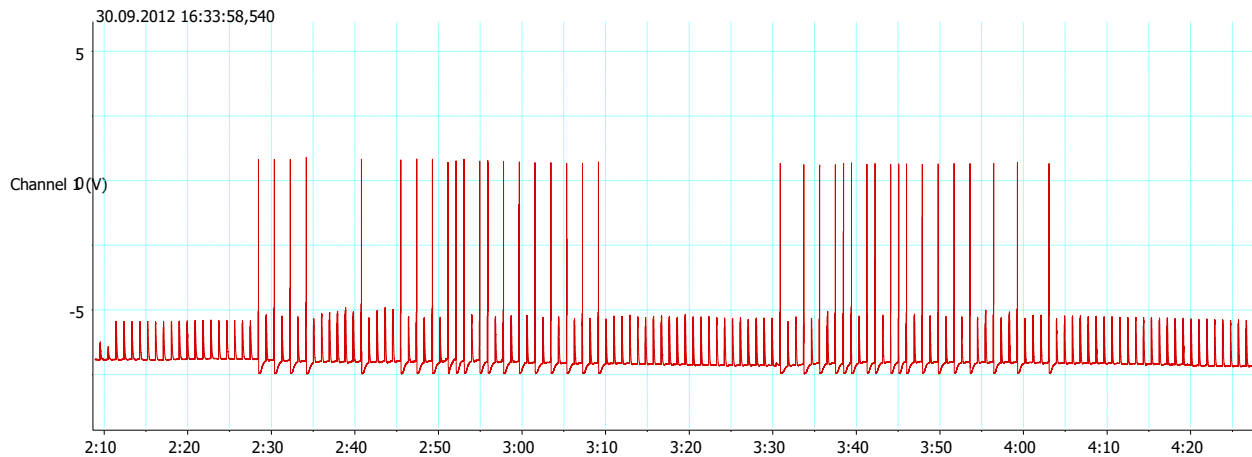


სურ. 76.

19 პერცი სიხშირის ელექტრომაგნიტური ველის ზემოქმედება ნეირონის დაძაბიტუაციაზე

უნდა აღინიშნოს რომ დაბალსიხსირული მაგნიტური ველის ზემოქმედება ნეირონზე ხასიათება დეპაზიტუაციის ეფექტით, თუმცა ცალკეულ სხვადასხვა სიხშირეების ეფექტები ერთმანეთისაგან თითქმის არ განსხვავდება. ამის მაგალითად გამოდგება 20 პერცი სიხშირის მქონე მაგნიტური ველის გავლენა ნეირონის დეპაზიტუაციაზე, რომელიც მსგავსია ყველა დანარჩენი სიხშირეებისა. თავდაპირველად ნეირონის სტიმულაცია მოხდა 0,3 ნა ამპლიტუდის მასტიმულირებელი იმპულსებით, თუმცა ორი ასეთი სტიმულის მიცემამ აშკარა გახდა რომ ეს სიდიდე შორს იყო ზღურბლოვანი მნიშვნელობისაგან, ამიტომ სტიმულის ამპლიტუდა გავზარდეთ 0,5 ნამდე. 17,2 წამის განმავლობაში სტიმულაციამ არ გამოიწვია ქმედების პოტენციოლების აღმოცენება, ამის გამო სტიმული ისევ გავზრდეთ 0,7 ნა-მდე, რაზეც ნეირონმა დაიწყო ქმედების პოტენციალების გენერირება. სტიმულაციის 43-ე წამზე დამყარდა ჰაბიტუაცია, თუმცა სტიმულაცია არ შეწყვეტილა. ამ ფონზე 20 პერცი სიხშირის (12 მილიტესლა მაქს. დაძაბულობა) მაგნიტური ველის ჩართვამ გამოიწვია ჰაბიტუაციის დარღვევა და ქმედების პოტენციალების გენერირების აღდგენა. ვეილს მოღება გრძელდებოდა 32 წამის განმავლობაში, მისი გამორთვისთანავე აღსდგა ჰაბიტუაციის მდგომარეობა –ის სურ.

30 September 2012 1.2 nA



სურ. 77

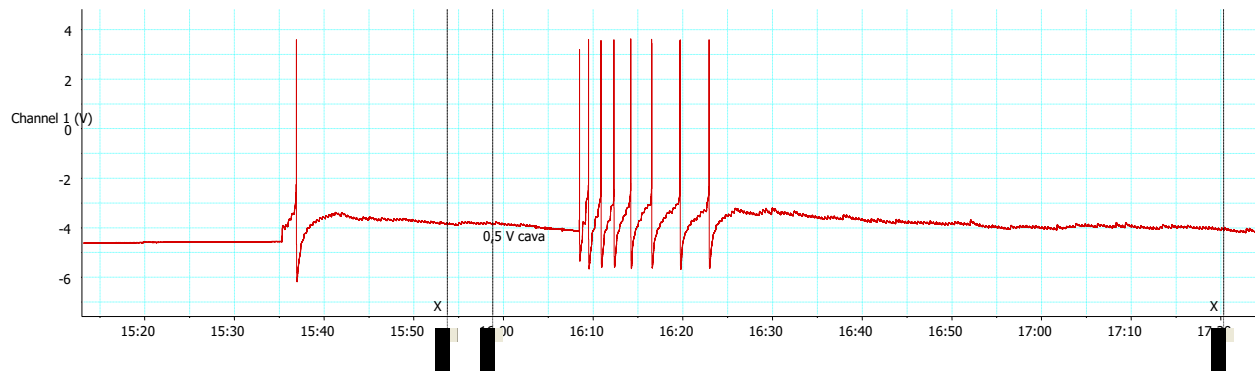
20 პერცი სიხშირის მაგნიტური კელის ეფექტი დეპაბიტუაციაზე. კელის დაძაბულობის მაქსიმალური მნიშვნელობა 12 მილიტესია.

სინაფსური სტიმულაცია.

როგორც აღვნიშნეთ, სინაფსური სტიმულაციისათვის ისევე როგორც უჯრედსშიგა სტიმულციისათვის ვიყენებდით დისკრეტულ სტიმულებს. მაგრამ უჯრედშიგა “სტიმული-რეაქცია”-საგან განსხვავებით სინაფსური სტიმულაციის პირობებში შეუძლებელია “ერთი სტიმული-ერთი ქმედების პოტენციალი”-ს ქარგის მქონე რეაქციის მიღება. საქმე ისაა, რომ სინაფსური სტიმულაციისას მასტიმულირებელი ძაბვის იმპულსები მიეწოდება ნერვულ ბოჭკოთა მთელ “შეკვრას”, რის გამოც რეაქციები რთული ფორმისაა. აღსანიშნავია რომ განსხვავება დასხივების პირობებში დეპაბიტუაციის ეფექტების მიმართ არ შეინიშნებოდა. ამის გამო საილუსტრაციოდ მოყიყნათ მხოლოდ 1 და 5 პერცი სიხშირის მქონე ელექტრომაგნიტური კელის გავლენას სინაფსური მიჩვევის დარღვევაზე.

სურათ 78-ზე ეხედავთ, რომ პირველ სტიმულზე ნეირონმა უპასუხა მცირდი დეპოლარიზაციით რასაც მოყვა ერთი ქმედების პოტენციალის აღმოცენება. პაბიტუაცია გამოისახა გრადუალური რეპოლარიზაციით და ქმედების პოტენციალების არ არსებობაში. ამ ფონზე 1 პერცი სიხშირის ელექტრომაგნიტური კელის ჩართვა იწვევს ნეირონის მკვეთრ აღგზნებას და ქმედების პოტენციალთა გენერირებას, თუმცა 8 ქმედების პოტენციალის აღმოცენების შემდეგ პაბიტუაცია ისევ აღსდგა.

3 December 2011.adicht



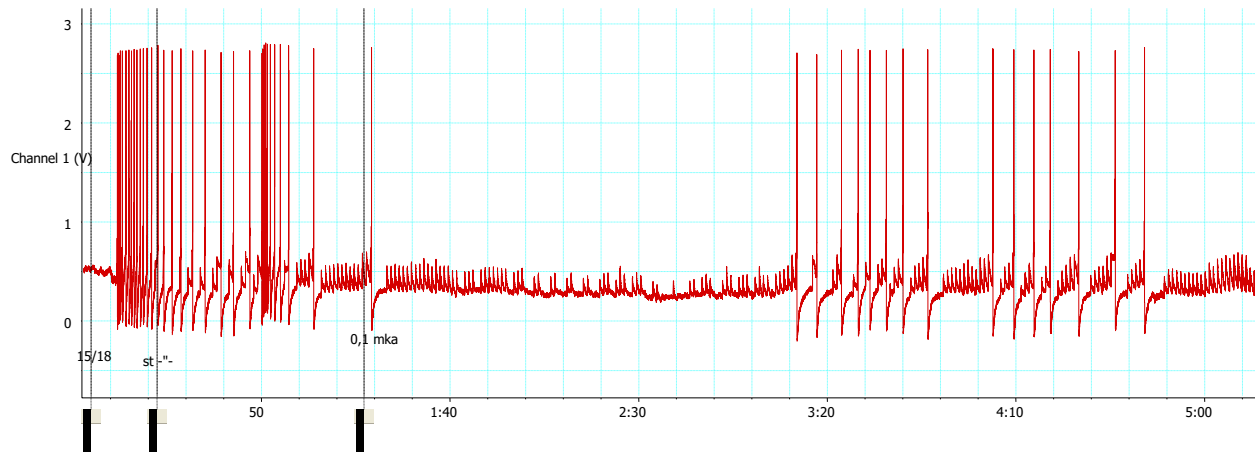
ხერ. 78

1 პერცი სიხშირის მქონე ელექტრომაგნიტური ველის გაფლენა სინაფსურ დეპარტაციაზე. ნეირონის გასაღიზიანებლად გამოყენებულ იქნა 0,5 ვოლტი ამპლიდუდის მქონე ძაბვის იმპულსები. ძაბვა მიეწოდებოდა მარცხენა პალიალური ნერვის განშტოებებს შემწვევი ელექტროდეპით. განსაზღვრული დროის შემდეგ ქმედების პოტენციალთა აღმოცენება წყდება და სტიმულაციის გაგრძელებას თან ახლავს მხოლოდ აღმგზნები პოსტ სინაფსური პოტერნციალები, რომელთა აღმოცენების სიხშირე კლებულობს, რაც მიუთითებს პაპიტუაციის გაღრმავებაზე.

79-ე სურათზე ნაჩვენებია 5 პერცი სიხშირის ელექტრომაგნიტური ველის გაფლენა სინაფსურ დეპარტაციაზე. ნეირონის გასაღიზიანებლად გამოყენებულ იქნა 0,5 ვოლტი ამპლიდუდის მქონე ძაბვის იმპულსები. ძაბვა მიეწოდებოდა მარცხენა პალიალური ნერვის განშტოებებს შემწვევი ელექტროდეპით. განსაზღვრული დროის შემდეგ ქმედების პოტენციალთა აღმოცენება წყდება და სტიმულაციის გაგრძელებას თან ახლავს მხოლოდ აღმგზნები პოსტ სინაფსური პოტერნციალები, რომელთა აღმოცენების სიხშირე კლებულობს, რაც მიუთითებს პაპიტუაციის გაღრმავებაზე.

ამ მომენტში 5 პერცი სიხშირის (დაძაბულობა 10 ტესლა) ელექტრომაგნიტური ველის ჩართვა იწვევს ჯერ აღმგზნები პოსტ სინაფსური პოტერნციალების გააქტიურებას და ამ ფონზე ქმედების პოტენციალების აღმოცენებას, თუმცა ქმედების პოტენციალები მაღლებები ქრება და რჩება მხოლოდ აღმგზნები პოსტ სინაფსური პოტერნციალები.

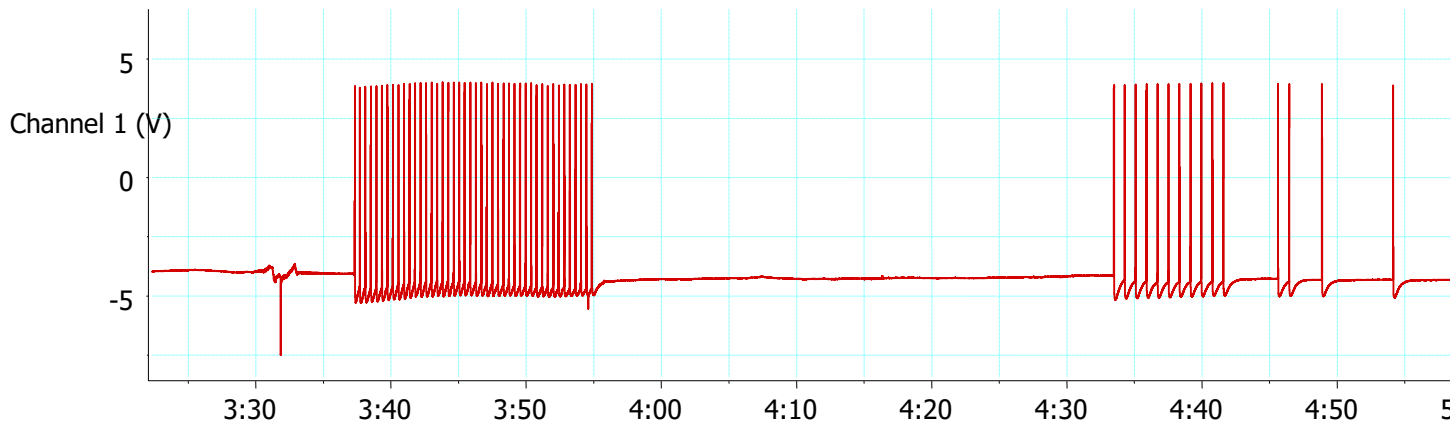
19 December 2011.adicht



სურ. 79.

5 პერცი სიხშირის ელექტრომაგნიტური ველის გავლენა სინაფსური ჰაბიტუაციის დინამიკაზე

სურათ 80-ზე ვხედავთ, რომ მარცხენა პალიალურ ნერვზე 0,3 V ამპლიტუდის იმპულსების მოდებამ გამოიწვია ნეირონის სინაფსური რეაქციები ქმედების პოტენციალების რიტმულად გენერირების სახით თუმცა მიჩვევა დამყარდა უეცრად 19 წამის შემდეგ. სტიმულაცის გრძელდებოდა თუმცა ჩანაწერში არტეფატები არ ჩანს რადგან სტიმულაცია არაა უჯრედსშიგა. მიჩვევიდან 38 წამის შემდეგ ჩართულ იქნა 10 მილიტესლა დაძაბულობის 6 პერცი სიხშირის ელექტრომაგნიტური ველი. ნეირონის რეაქციები ქმედების პოტენციალების სახით აღსდგა 9 წამის განმავლობაში ისევ რიტმულად, ოდონდ ნაკლები სიხშირით ვიდრე საწყის მდგომარეობაში, შემდეგ 8 წამის განმავლობაში კიდევ აღმოცენდა 3 ქმედების პოტენციალი და მიჩვევა ისევ დამყარდა.

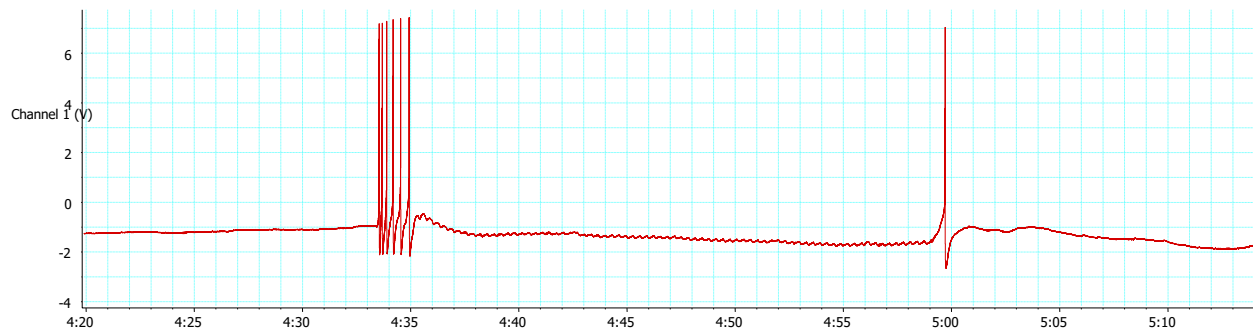


სურ. 80

6 პერცი სიხშირის მქონე ელექტრომაგნიტური ველის გავლენა სინაფსურ ჰაბიტუაციის დარღვევასა და აღდგენაზე

81-ე სურათზე ნაჩვენებია 8 პერცი სიხშირის ელექტრომაგნიტური ველის გავლენა სინაფსურ დეპაბიტუაციაზე. ნეირონის გასაღიზიანებლად გამოყენებულ იქნა 0,5 ვოლტი ამპლიტუდის მქონე ძაბვის იმპულსებს. ძაბვა მიეწოდებოდა მარცხენა პალიალური ნერვის განშტოებებს შემწოვი ელექტროდეგბით. ნეირონის სინაფსურ გაღიზიანებაზე რეაქცია გამოიხატა 26 მილივოლტი ამპლიტუდის მქონე 3 წამი სანგრძლივობის დეპოლარიზაციით რაზეც 6 ქმედების პოტენციალის აღმოცენდა. რის შემდეგ დამყარდა მიჩვევა. ჩანაწერში მოჩანს მხოლოდ მცირე ამპლიტუდის აღმგზნები პოსტსინაფსური პოტენციალები. ჰაბიტუაციის დადგომიდან 26 წამის შემდეგ ნეირონი დაექვემდებარა 8 პერცი სიხშირის მქონე ელექტრომაგნიტური ველის ზემოქმედებას. ველის

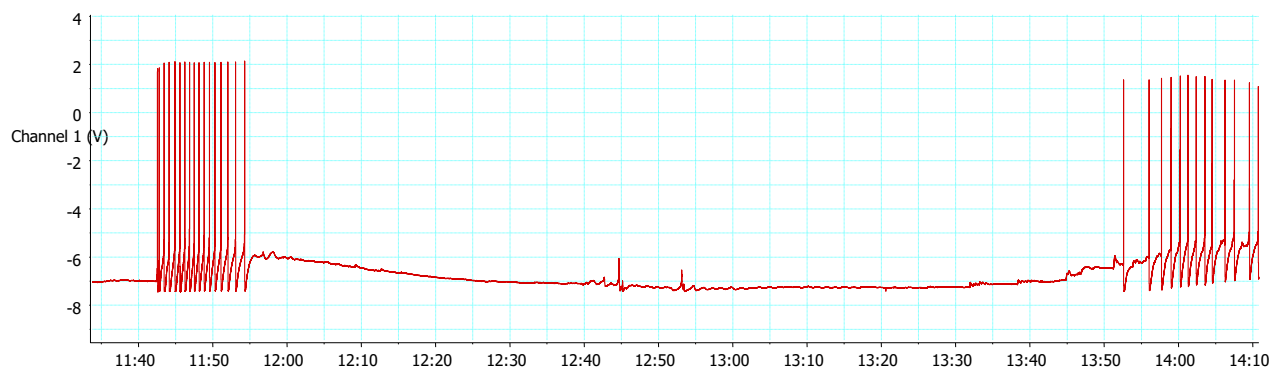
დაძაბულობა 10 მილიტესლაა. გამოიკვეთა 19 მილივოლტის დეპოლარიზაცია მასზე 1 ქმედების პოტენციალით.



სურ. 81.

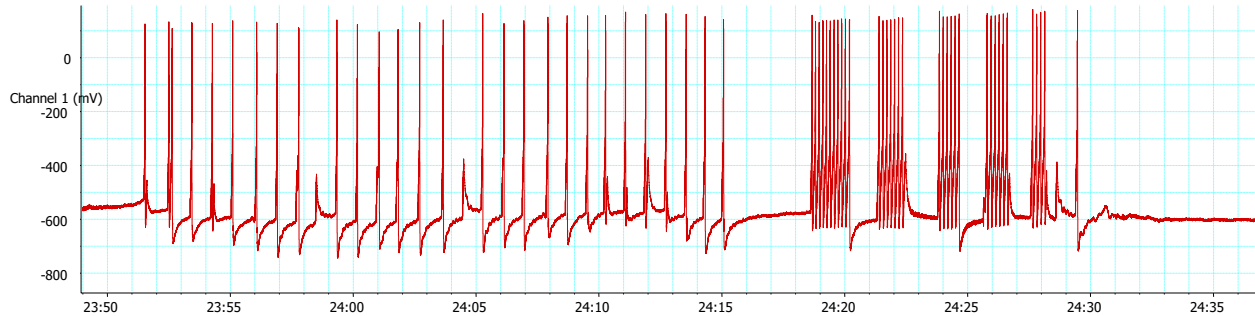
8 პერცი სიხშირის ელექტრომაგნიტური ველის (10 მილი ტესლა) გავლენა ნეირონის პაბიტუაციის დინამიკაზე.

სურათ 82-ზე ილუსტრირებულია 10 პერცი სიხშირის მქომე ელექტრომაგნიტური ველის გავლენა ნეირონის რეაქციებზე და მიჩვევა- დეპაბიტუაციაზე. ნეირონის სინფასური სტიმულაცია ხდებოდა 0,4 ვოლტი ამპლიტუდის ძაბვის იმულსებით. რეაქცია ქმედების პოტენციალების გენერირებით გაგრძელდა 13 წამის განმავლობაში, რის შემდეგაც გამოიკვეთა პაბიტუაცია ხნაგრძლივი 15 მილივოლტის ამპიტუდის მქონე პიპერპოლარიზაციით. მიჩვევიდან 2 წუთის შემდეგ ჩართულ იქნა 10 პერცისიხშირის 10 მილიტესლა დაძაბულობის ელექტრომაგნიტური ველი. გამოიკვეთა 9,4 მილივოლტის დეპოლარიზაცია და აღსდგა ქმედების პოტენციალები, ოდონდ ნაკლები სიხშირით.



სურათი 82. 10 პერცი სიხშირის ელექტრომაგნიტურ ველში ნეირონის მოთავსება იწვევს ნეირონის დეპოლარიზაციისა და არღვევს დამყარებულ პაბიტუაციას.

სურათ 83-ზე ვხედავთ, რომ მარცხენა პალიალურ ნერვზე 0,3 V ამპლიტუდის იმპულსების მოდებამ გამოიწვია ნეირონის სინაფსური რეაქციები ქმედების პოტენციალების რიტმულად გენერირების სახით თუმცა მიჩვევა დამყარდა 24 წამის შემდეგ. სტიმულაცის გრძელდებოდა თუმცა ჩანაწერში არტეფატები არ ჩანს რადგან სტიმულაცია არაა უჯრედსშიგა. ამ მომენტში მოხდა 14 ჰერცი სიხშირის მქონე მაგნიტური ველის პერიოდული ჩართვა პელმპოლცის კოჭქებს შუა არეში. მაგნიტური ველის მოდების თითეულ მომენტში აღინიშნება ნეირონის მიერ ქმედების პოტენციალების ალმოცენება ჯგუფების სახით. საინტერესოა ის გარემოებას, რომ როდესაც მაგნიტური ველი გამორთულია ნირონი არ გენერირებს ქმედების პოტენციალებს. ამრიგად აშკარაა, რომ მაგნიტური ველი თრგუნავს პაბიტუაციას მოდების დროის განმავლობაში.



სურ. 83

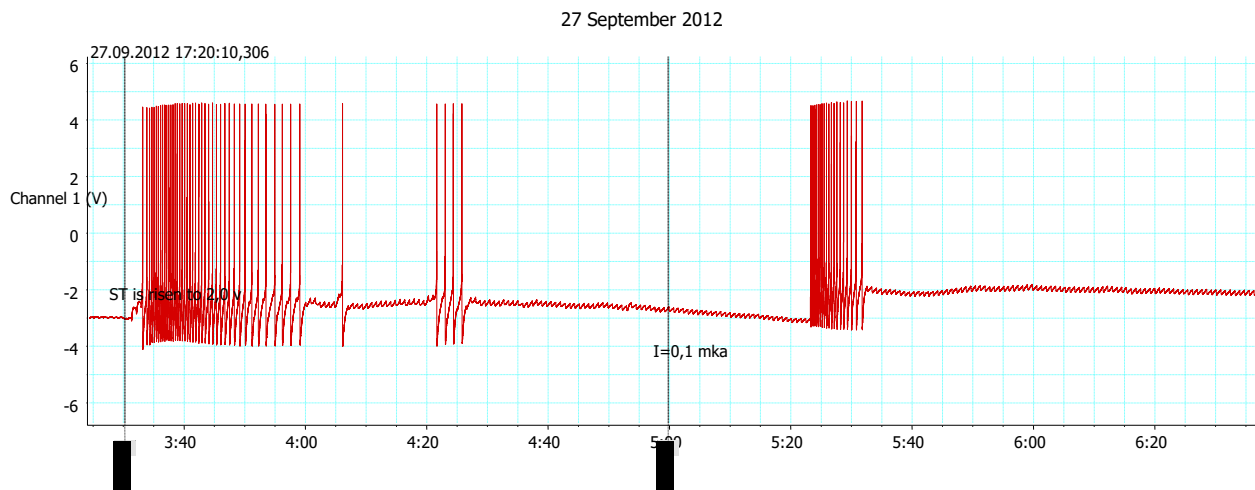
23:52 მომენტიდან დაიწყო სინაფსური სტიმულაცია. 24:15-ზე დამყარდა პაბიტუაცია. 24:18-დან 24:30 მდე 6-ჯერ იქნა მოდებული მაგნიტური ველი, რომლის სიხშირე 14 ჰერცი, ხოლო ამპლიტუდა შეადგენს 10 მილიტესლას. მაგნიტური ველის თითეული მოდება იწვევს პაბიტუაციის დათრგუნებას და ნეირონის მიერ ქმედების პოტენციალთ აგენერირებას.

სურათ 84-ზე ილუსტრირებულია 16 ჰერცი სიხშირის მქონე მაგნიტური ველის გავლენა ნეირონის რეაქციებზე და მიჩვევა- დეპაბიტუაციაზე სინაფსური სტიმულაციის მიმართ. 1:17- 1:24 წამების განმავლობაში ნეირონი მიეჩვია სინაფსურ სტიმულაციას. პაბიტუაციის დადგომიდან 11 წამის შემდეგ მოდებულ იქნა 16 ჰერცი სიხშირის მაგნიტური ველი. თავდაპირველად ნეირონმა უპასუხა მხოლოდ ერთი ქმედების პოტენციალით, თუმცა 6 წამის შემდეგ იგი “ამუშავდა” და არარიტმულად დაიწყო ქმედების პოტენციალების გენერირება.



სურ. 84. 16 პერცი სიხშირის ცვლადი მაგნიტური ველის გავლენა დეპაზიტუაციაზე.

სურათ 85-ზე ვხედავთ, რომ მარცხენა პალიალურ ნერვზე 2 V ამპლიტუდის იმპულსების მოდებამ გამოიწვია ნეირონის სინაფსური რეაქციები ქმედების პოტენციალების გენერირების სახით. თავდაპირველად რეაქცია ძლიერია მაგრამ შინიშნება რეაქციის თანდათანობითი მიღევა და ჰაბიტუაციის დამყარება. ჩანაწერში ვხედავთ მხოლოდ აღმგზნებ პოსტსინაფსურ პოტენციალებს რომლებიც “კბილანების” სახით დაიმზირება ჩანაწერში. ჰაბიტუაციის დადგომიდან 1 წუთის შემდეგ მოხდა მოხდა 18 პერცი სიხშირის მქონე მაგნიტური ველის ჩართვა ჰელმოლცის კოჭქიში. მაგნიტური ველის მოდების განმავლობაში აღინიშნება ნეირონის მიერ ქმედების პოტენციალების აღმოცენება რომელთა სიხშირე მიღევადია. ამრიგად აშკარაა, რომ მაგნიტური ველი თრგუნავს ჰაბიტუაციას მოდების დროის განმავლობაში.



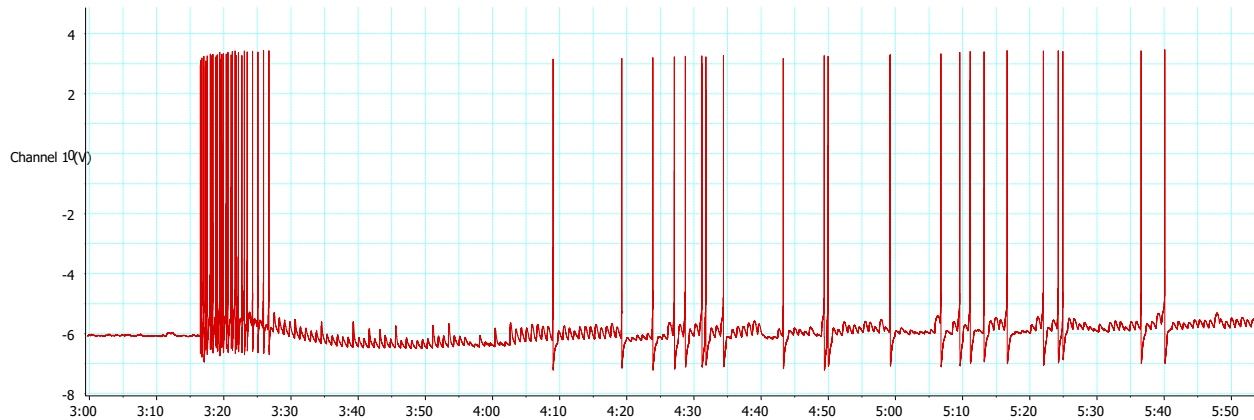
სურათი 85.

18 პერცი ხობირის მაგნიტური ველის გავლენა სინაფსურ დეპაზიტუაციაზე.

სურ. 86-ზე გხედავთ 20 პერცი სიხშირის მაგნიტური ველის გავლენას სინაფსური ჰაბიტუაციის დარღვევაზე. სტიმულის ამპლიტუდა არის 1 კ. ნეირონი პასუხობს ქმედების პოტენციალების სერიით და ყალიბდება ჰაბიტუაცია. რეაქციაში შეინიშნება მხოლოდ სხვადასხვა ამპლიტუდის მქონე აღმგზნები პოსტსინაფსური პოტენციალები. ჰაბიტუაციის დადგომიდან 40 წამის შემდეგ ჩაირთო 19 პერცი სიხშირისცვლადი მაგნიტური ველი 15 მილიტესლა ამპლიტუდით. მაგნიტური ვეილს ჩართვას მოყვა ნეირონის მიერ ქმედების პოტენციალების გენერირება არარეგულარული სიხშირით.

დეპაბიტუაცია

3 september 2012



სურ. 86.

20 პერცი სიხშირის მაგნიტური ველის გავლენა სინაფსურ ჰაბიტუაციის დარღვევაზე

შედეგი

1-20 პერცი სიხშირის მქონე ელექტრომაგნიტური ველის ეფექტები ნეირონზე გამოიხატება ჰაბიტუაციის დარღვევაში. ეფექტები ერთმანეთის მსგავსია და მათ შორის რაიმე მნიშვნელოვანი გასხვავება არ შეიმჩნევა. ჰაბიტუაციის დარღვევა შეინიშნება როგორ უჯრედშიგა ასევე სინაფსური სტიმულაციის მიმართ.

ხანგრძლივი განმეორებითი ექსპონიციის ნეირონზე ზემოქმედება

მე-12 კვარტლის ამოცანათა მიზანი იყო შეგვესწავლა ხანგრძლივი განმეორებითი ექსპონიციის ნეირონზე ზემოქმედების კვლევა აკუმულირების ეფექტების გამოვლენისათვის. ამ მიზნით ექსპერიმენტები შემდეგნაირად იქნა ორგანიზებილი: საკვლევი ცხოველები თავსდებოდნენ TE Cell-ში და ხდებოდა მათი ემვ დასხივება ყოველდღიურად 3-3 საათის განმავლობაში. ცხოველთა განლაგება და

ადგილმდებარეობა განიცდიდა ვარირებას. სათანადოდ ხდებოდა მათი აღრიცხვა. ი. სურ. 87.



სურ. 87 ცხოველების განლაგება TEM CELL-ში.

შთანთქმის კუთრი თანრიგის (SAR)-ის გამოთვლა ხდებოდა ცალკეული ცხოველისათვის. ამ მიზნით შემუშავებულ იქნა ცხოველის მოდელი. მოდელი

გულიხმობს როგორც გარსის ასევე მისი კუნთოვანი ნაწილის და ნერვული სიტემის

შესაბამისი ელექტრული პარამეტრების განთავსებას სათანადო აღგილებზე. ამის

შემდეგ ხდებოდა FDTD მეთოდის საშუალებით SAR -ის გამოთვლა. ტემპერატურის

ნაზრდის გამოთვლა არ ხდებოდა იმ მარტივი მიზეზის გამო, რომ დასხივების

დამთავრების შემდეგ ცხოველი იდგებდა გარემო ტემპერატურას (მისი ცივ

სისხლიანობის გამო). დასხივებისათვის გამოიყენებოდა გენერატორის მაქსიმალური

სიმძლავრე 10 გატ.

დახივების პერიოდში დასხივების სეანსის შემდეგ ხებოდა ცხოველების ქცევაზე დაკვირვება. შესასწავლ პარამეტრებიდან გამოყოფილ იქნა მათი რეაქციების დროები ტაქტილურ შეხებაზე, მათი რეაქციები საკვების მიღებაზე და შეწყვილებაზე. იმის გამო, რომ აღნიშნული ცხოველები არიან ე.წ. დამის ცხოველები, ისინი თავსდებოდნენ ბნელ კამერაში. დაკვირვება ხდებოდა ინფარითული CCD კამერის საშუალებით, ამასთანავე ხდებოდა მათი ქცევის გადაღება ამავე კამერით მონაცემების შემდგომი დამუშავების მიზნით.

შედეგები:

დაკვირვებამ გვაჩვენა, რომ სანგრძლივი დახივების შემდგა საკვლევ ცხოველებს შეუსუსტდათ თავდაცვის რეფლექსი. დახივებული ცხოველების მოძრაობა და გადაადგილება უფრო სწრაფია, რაც მათ ადგ ზებადობის გაზრდაზე მიუთითებს. თავდაცვის რეფლექსის გაზომვა შემდეგნაირად ხდებოდა: ვაკვირდებოდით ცხოველის მიერ საცეცის საშუალებით დაბრკოლების შეხებას და გზომავდით დროის ინტერვალს რომელიც საჭიროა, რათა ამ შეხების შემდეგ მოხდეს დაბრკოლებიდან საცეცის მოცილება და შეკუმშვა. მიიღებოდა გაზომილ რიცხვთა ორი ნაკადი.

გამოყენებულ იქნა მათემატიკური მოდელი, რომლის სახელწოდებაა “რიცხვითი მწყრივები წრფივი ტრენდით”. თავდაცვის რეფლექსის მათემატიკური მოდელიად აღებულ იქნა

$$Y(t)=a+bt+\varepsilon \quad (1)$$

აქ $Y(t)$ არის დროის ინტერვალი, რომელიც შეესაბამება თავდაცვის რეფლექსის გამოვილინებიას საცეცის შეხებიდან მისი მოცილების დრომდე, t – არის შეხებათა რიცხვი, a და b არიან მუდმივი პარამეტრები, ხოლო $\varepsilon(t)$ წარმოადგენს კომპონენტს ნულოვაბინი მათემატიკური ლოდინით. ექსპერიმენტები ჩატარდა 52 ცხოველზე, შესაბამისად დროები გაიზომა 52-ვე ცხოველისათვის. ფორმულა (1)-დან გამომდინარეობს, რომ i^{th} სერიისავის ჩაიწეროს, რომ

$$Y_i(t) = a_i^* + b_i^*t + \varepsilon_i(t), \quad i = 1, 2, \dots, 32$$

სადაც a_i^* და b_i^* წარმოადგენენ სტატისტიკურ მოლოდინებს უცნობი a და b – კოეფიციენტებისათვის.

პირველად შერჩეული მოდელის ადექვატურიბა უნდა შემოწმდეს სტატისტიკურად მოდით შემოვიდოთ აღნიშვნები $X(t) = a + bt$ წრფივი ტრენდისათვის. შესაბამისად დამზერილ i^{th} მონაცემებისათვის გვაქნება.

$$X_i^*(t) = a_i^* + b_i^*t, \quad i = 1, 2, \dots, 32$$

განვიხილოთ სხვაობა $\varepsilon(t) = Y(t) - X(t)$ რათა შემოწმდეს მოდელის ადექვატურობა. ამასთანავე წარმოვადგინოთ რომ:

$$H_0: E\varepsilon(t) = 0 \quad (\text{მთავარი პიპოთება})$$

$$H_1: E\varepsilon(t) \neq 0 \quad (\text{ალტერნატული პიპოთება}).$$

აქ $E\varepsilon(t)$ არიოს მათემატიკური მოლოდინი t – თვის.

ჩზვთვალოთ, რომ სხვაობა გოლია $\varepsilon_i^*(t) = Y_i(t) - X_i^*(t)$, $t = 1, 2, \dots, m_i$ და არითემტიკული საშუალო მინიმუმი სხვაობით $\bar{\varepsilon}_i^* = \frac{1}{m_i} \sum_{t=1}^{m_i} \varepsilon_i^*(t)$ თითეული იური გაზომვისათვის.

ამრიგად მივიღებთ სატატისტიკებს $\overline{\varepsilon_2^*}, \dots, \overline{\varepsilon_{52}^*}$.

განვიხილოთ სტატისტიკა $T = \frac{\overline{\varepsilon}^*}{S} \sqrt{52}$ ასროგორც კრიტერიუმი ეწევ t -სტატისტიკა.

გამოვიყენოთ ნორმალური განაწილების ცხრილი, რადგანაც გაზომვათა რიცხვი შეადგენს 52. შესაბამისი გაზმოვები გვიჩვენებენ, რომ t -ის რიცხვითი მნიშვნელობა დაახლოებით უდრის 0,100 ხოლო P value დაახლოებით ტოლია 0,856.

აშკარაა, რომ that P value არის საკმაოდ დიდი. მაშ შეგვიძლია ვთქვათმ რომ არ გაგვაჩნია საფუძველი რათა უარგვოთ ჰიპოთეზა H_0 . ეს თავის მხრივ ნიშნავს, რომ ზემოტ მოცემული მათემატიკური მოდელის არება სწორია.

ესხლა მოვახდინოთ სტატისტიკური ჰიპოთეზის შემოწმება, რათა დავამტკიცოთ, რომ გვაქვს მზარდი ტრენდი.

გამოვითვალოთ b_i^* უცნობი b კოეფიციენტისათვის (2)-ის გამოყენებით:

შედეგად მიიღება სტატისტიკები $b_1^*, b_2^*, \dots, b_{52}^*$. უნა შემოწმდეს ჰიპოთეზები

$H_0: b = 0$ (ძირითადი ჰიპოთეზა)

$H_1: b > 0$ (ალტერნატიული ჰიპოთეზა)

უნდა გამოვითვალოთ სტატისტიკის რიცხვითი მნიშვნელობა

გამოთვლებმა გვიჩვენეს, რომ t სტატისტიკისა – ს რიცხვითი მნიშვნელობა დაახლოებით 2,77 ტოლია ხოლო P value დაახლოებით ტოლია 0,003.

აშკარაა, H_0 რომ უნდა უარგვოთ და მივიღოთ H_1 ჰიპოთეზა. ამრიგად სტატისტიკურმა ანალიზმა დადასტურა, რომ რომ ხანგრძლივი დახივების შემდეგ საკვლევ ცხოველებს შეუსუსტდათ თავდაცვის რეფლექსი.

ამ დაკვირვებების გარდა ექსპერიმენტები ტარდებოდა საკონტროლო და სახივებულ ცხოველების იზოლორებულ ნერვულ სისტემებსა და იდენტიფიცირებულ ნეირონებზე.

კლიმატოფიზიოლოგია

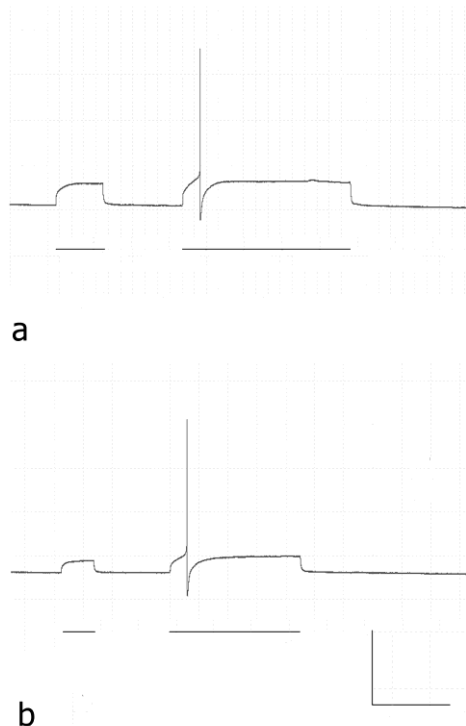
დასხივების სერიის დამთავრების შემდეგ ადგილი ჰქონდა აღნიშნული ცხოველებიდან ნერვული განგლიობის ამოკეთას და იდენტიფიცირებული ნეირონების შესწავლას. მიზანი იყო შედარებულ ყოფილიყო ნეირონის ფუნქციონირებები დასხივებისა და

საკონტროლო პირობებში. შესადარებელ პარამეტრებად ადებულ იქნა ნეირონის აღგზნებადობა- ქმედების პოტენციალის გენერაციის ზღურბლი და პაბიტუაციისათვის საჭირო დრო, რაც ნეირონის მიერ იფორმაციის შენახვისათვის საჭირო დროს წარმოადგენს.

ნეირონის სტიმულაციისათვის გამოიყენებოდა უჯრედშიგა დენი, რომლის გასატარებლად ვიყენებდით ამერიკული წარმოების ხესაწყოს Pikoamersourcer K251A .

ნეირონი როგორც სხვა ბიოლოგიური ობიექტი გარიაბელურია. სტიმულის ზღურბლი თავისუფლად ცვლადს წარმოადგენს. მისი მათემატიკური მოლოდინი უცნობია. ამის გამო ჩვენ გამოვითვალეთ 95%-იანი სანდობის ინტერვალი ზღურბლებისათვის. ეს არის ის ინტერვალი რომელშიც 95% ალბათობით ჩავარდება ზღურბლის მნიშვნელობა. ცხადია გამოთვლები ტარდებოდა როგორც დასხივებულ ისევე საკონტროლო ნეირონებზე. ცხადია გამოთვლები ეფუძნებოდა ექსპერიმენტის მონაცემებს. მიღებულ იქნა რომ ეს ინტერვალები ტოლია 0,21ნა-0,38 ნა საკონტროლო ნეირონებისათვის, ხოლო დასხივებულ ნეირონბისათვის ამ ინტერვალმა მიიღო მნიშვნელობა 0,11-0,19 ნა. აშკარაა რომ ეს ინტერვალები არ გადაფარავენ ერთმანეთს. ეს ნიშნავს იმას, რომ ზღურბლის საშუალო მნიშვნელობა დასხივებული ნეირონებისათვის ნაკლებია ვიდრე საკონტროლო ნეირონებისათვის.

სურათ 88-ზე ნაჩვენებია ეს მოვლენა.



სურ. 88

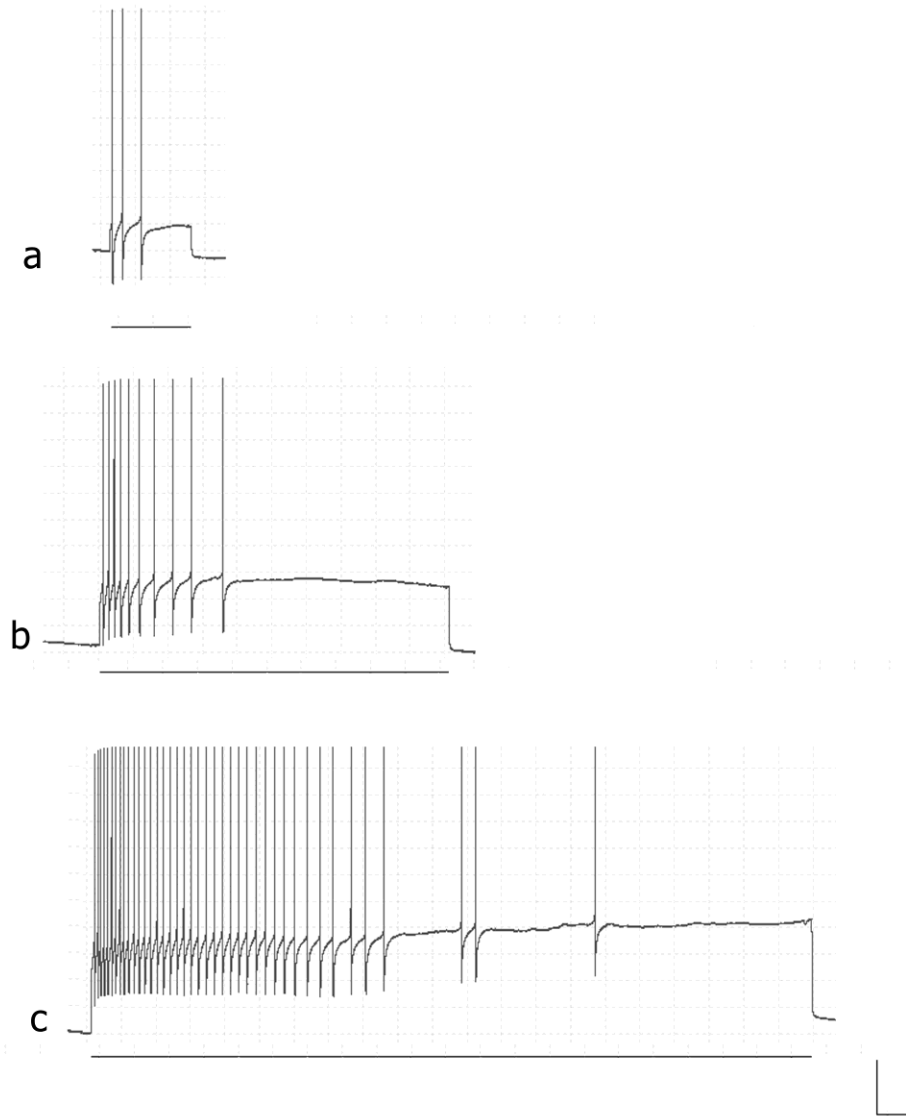
ა გვიჩვენებს საკონტროლო ნეირონის ჩანაწერს. პირველი სტიმული 0,2 ნა ტოლია და იგი ზღურბლსქვედაა-არ იწვევს ქმედების პოტენციალის აღმოცენებას. მეორე სტიმილის ამპლიტუდა 0,3 ნა ტოლია და ვარდება იგი 95% ალბათობიან ინტერვალში

0,21ნა-0,38 ნა. ამ სტიმულმა გამოიწვია ქმედების პოტენციალის აღმოცენება და იგი წარმოადგენს ზღურბლოვან სტიმულს.

b- ზე ვხედავთ დასხივებული ნეირონის ორაქციებს სტიმულზე. პირველი სტიმული ზღურბლს ქვედაა და მისი ამპლიტუდა 0,05 ნა ტოლია. მეორე სტიმულის ამპლიტუდა 0,15 ნა-ს უდრის და იგი ვარდება იგი 95% ალბათობიან ინტერვალში 0,11ნა-0,19 ნა. ამ სტიმულმა გამოიწვია ქმედების პოტენციალის აღმოცენება და იგი წარმოადგენს ზღურბლოვან სტიმულს. სტიმულაციის ხანგრძლოვობა ნაჩვენებია ოსცილოარმოს ქვეშ უწყვეტი ხაზებით. კალიბრება 25 მგ 1 წმ. ამ შედეგის $p < 0.001$.

ცხადია, რომ ჰაბიტუაციასა და ინფორმაციის შენახვაზე შეგვიძლია ვიმსჯელოთ როდესაც ნეირონი სტიმულს უპასუზებს რამოდენიმე ქმედების პოტენციალით.

სურათ 89-ზე ნაჩვენებია არადასხივებული ნეირონის ორაქციები ზღურბლსზედა სხვადასხვა ამპლიტუდის სტიმულზებზე. ვხედავთ რომ რაც მეტია სტიუმულის ამპლიტუდა მით ხანგრძლივია ორაქცია და მით მეტ ქმედების პოტენციალებს გენერირებს ნეირონი, შესამაბისად იზრდება ჰაბიტუაციისათვის სჭირო დრო.

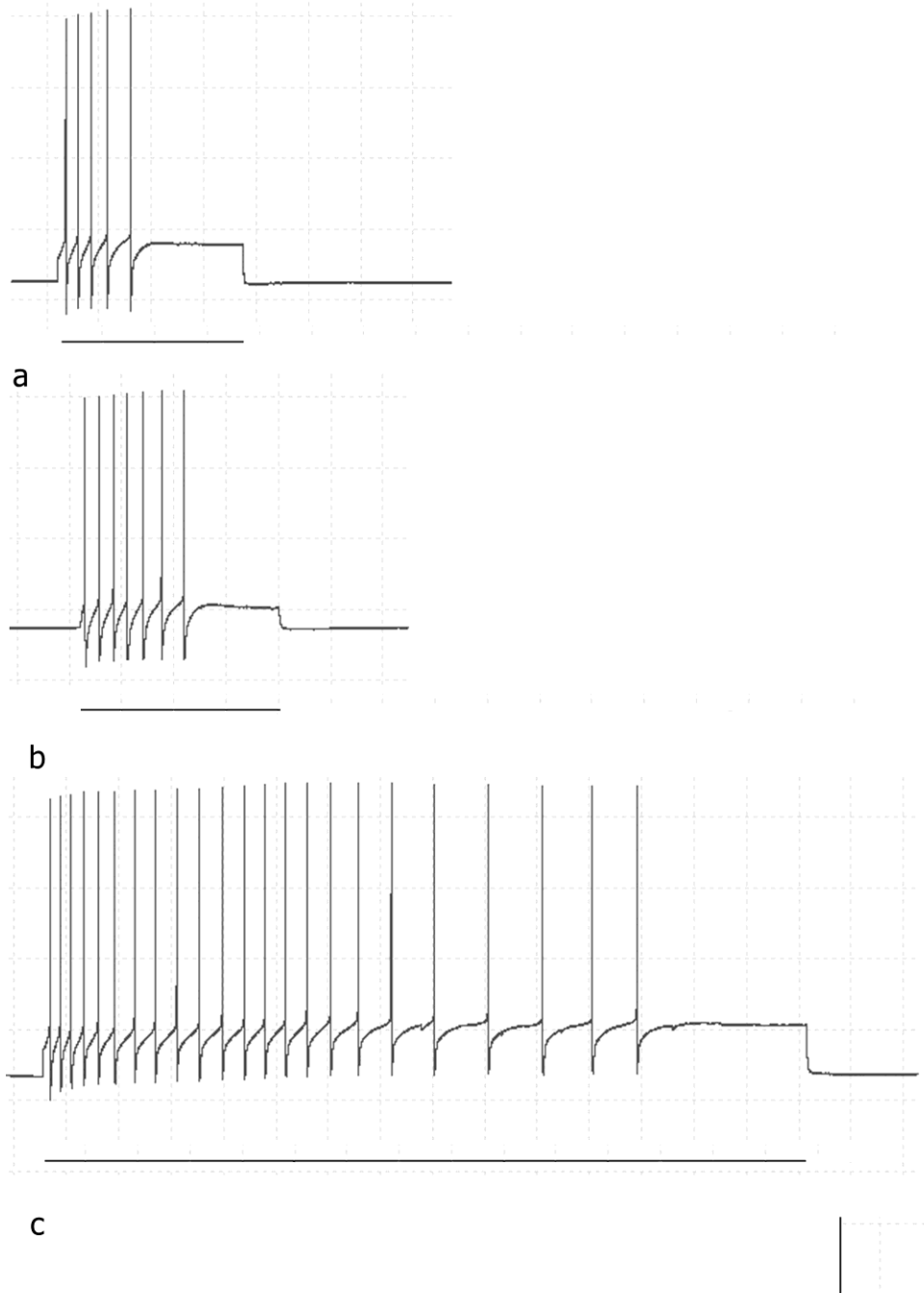


სურ. 89.

ა სტიმულის ამპლიტუდა 0,5 ნა ტოლია. ბ- 1ნა, ც 2 ნა.

ნეირონის რეაქციები ნებისმიერი სტიმულის, და კერძოდ უჯრედშიგა სტიმულაციის მიართ არ არის დეტერმინისტული. სტიმული მინიმალური მნიშვნელობა, რომელსაც შეუძლია გამოიწვიოს ჰაბიტუაციის ეფექტი აგრეთვე წარმოადგენს თავისუალ ცვლადს. ექსპერიმენტულ მონაცემებზე დაყრდნობით გამოთვლებმა გვიჩვენეს ამ ცვლადის საშუალო მნიშვნელობა 95%-იანი ალბათობით ვარდება ინტერვალში 0,423ნა-0,56 ნა საკონტროლო ნეირონებისათვის. დასხივებული ნეირონებისათვის 95% ინტერვალი მოიცავდა 0,19ნა-0,35 ნა. ვხედავთ, რომ ამ შემთხვევაშიც არ გვაქვს ინტერვალების გადაფარვა. სათანადო სტატისტიკურმა ანალიზმა გვივნა, რომ დასივებულ ნეურონს მიწნენვისთვის სჭირდება გაცილებით ნაკლები სტიმული ვიდრე

საკონტროლო ნეირონს - $p < 0.003$. ეს მოვლენა იდუსტრიული ბურათზე



90.

სურ.90

a საკონტროლო ნეირონი სტიმულირედება სტიმულით 0,5 ნა. ეს მნიშვნელობა გარდება 95% სანდოობის ინტერვალში რომელიც ტოლია 0,42-0,56 ნა.

b- დახივებული ნეირონის რეაქციები სტიმულზე რომლის ამპლიტუდა 0,2 ნა ტოლია (ნაკლებია ვიდრე 0,5 ნა). დასხივებული ნეირონისათვის 95% სანდოობის ინტერვალი ტოლია 0,190ნა 0,35 ნა.

c – იგივე ნეირონის სტიმულაცია 0,5 ნა რომელიც საკონტროლოსთვის იყო საჭირო. რეაქციების დროის გაზრდა აშკარაა.

ამრიგად, როდესაც დასხივებული ნეირონი სტიმულირდება იგივე სტიმულით რაც დაუსხივებელი (საკონტროლო) მას გაცილებით მეტი დრო ჭირდება ჰაბიტუაციისათვის ვიდრე საკონტროლო ნეურონს.

დასკვნები:

GSM- 1800 ში გამოყენებული რადიოსისშირის ელექტრომაგნიტური ველების ზემოქმედება ცალკეულ ნეირონზე იწვევენ:

- ნეირონის აღგზნებადობის დონის გაზრდას,
- სტიმულის მიმართ ნეირონის რეაქციების გაძლიერებას,
- ჰაბიტუაციისათვის საჭირო დროის გახანგრძლივებას,
- ნეირონის მიერ ინფორმაციის გადამუშავებისადა შენახვისათვის საჭირო დროის გაზრდას. აღნიშნული შედეგები ვლინდება როგორც უწყვეტი ელექტრომაგნიტური ველებისათვის, ასევე მოდულირებულისათვის. მოდულირებული ველების ზემოქმედება ოდნავ აღემატება ეფექტით უწყვეტ ველებს. ზემოქმედება არ არის დამოკიდებული უწყვეტი ველის მოდულაციის სიხშირეზე.
- მოდულაციისათვის გამოყენებული უაღრესად დაბალი ველები 1-20 ჰერცი იწვევენ ნეირონის ჰაბიტუაციის დარღვევას ველის ზემოქმედების განმავლობაში. რაიმე განსხვავება 1-20 ჰერცის სიხშირის უაღრესად დაბალი ველების ეფექტებს შორის არ შეინიშნება.

პუბლიკაციები:

პროექტის ფარგლებში განხორციელებული სამუშაოები აისახა ორ სამეცნიერო სტატიაში, რომლებიც გამოქვეყნდა იმაქტ ფაქტორის მქონე საერთაშორისო ჟურნალში (აშშ). შედეგები აგრეთვე მოხსენდა 4 საერთაშორისო სამეცნიერო კონფერენციას და აისახა მათ მასალებში. ამ კონფერენციებიდან 3 ჩატარდა საზღვარგარეთ ხოლო 1 საქართველოში.

სტატიები:

1. <http://informahealthcare.com/toc/ebm/0/0>

Effect of high SARs produced by cell phone like radiofrequency fields on mollusk single neuron

B. Partsvania, T. Sulaberidze, L. Shoshiashvili

Electromagnetic Biology and Medicine ნაბეჭდი გამოვა დეკემბერში

2. Acute Effect of Exposure of Mollusk Single Neuron to 900-MHz Mobile Phone Radiation

B. Partsvania, T. Sulaberidze, L. Shoshiashvili & Z. Modebadze

Electromagnetic Biology and Medicine 2011, V30 #3, pp170-179

საერთაშორისო კონფერენციები:

1. Influence of radiofrequency EMF short term exposure on neuron habituation to intracellular stimulation

Besarion Partsvania, Levan Shoshiashvilia Tamz Sulaberidze, Zurab Modebadze
6th international workshop on biological effect of electromagnetic fields, Turqyi, Bodrum,
2010. ქლექტონული მისამართია

<http://www.istanbul.edu.tr/6internatwshopbioeffemf/cd/index.html>

2. Investigation into influence of high SAR on neuron excitability.

Besarion Partsvania, Tamaz Sulaberidze, Levan Shoshiashvili

ICNIRP 7th International NIR Workshop 2012, UK, Edinburg,
www.icnirp.de/NIR2012/NIR2012.htm

3. Should Peak spatial SARs be considered in guidelines for EMS exposure limits?

Besarion Partsvania, Tamaz Sulaberidze, Levan Shoshiashvili 7th international workshop on biological effect of electromagnetic fields, <http://www.um.edu.mt/events/emf2012>.

4. Effect of exposure to 1800 MHz radiofrequency radiation on mollusk single neuron

Partsvania B.B., Shoshiashvili L.S.

საერთაშორისო კონფერენცია “ნეირობიოლოგიის აქტუალური საკითხები”
თბილისი, 9-11 დეკემბერი 2011წ.